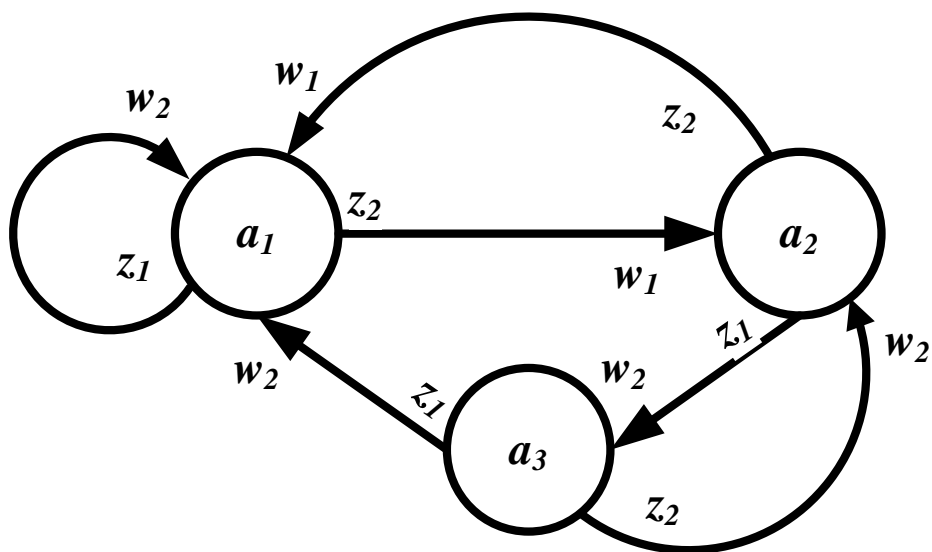


**А.А. Ожиганов**

# **ТЕОРИЯ АВТОМАТОВ**

**Учебное пособие**



**Санкт-Петербург**

**2013**

**МИНИСТЕРСТВО ОБРАЗОВАНИЯ И НАУКИ РОССИЙСКОЙ ФЕДЕРАЦИИ**

**САНКТ-ПЕТЕРБУРГСКИЙ НАЦИОНАЛЬНЫЙ  
ИССЛЕДОВАТЕЛЬСКИЙ УНИВЕРСИТЕТ  
ИНФОРМАЦИОННЫХ ТЕХНОЛОГИЙ, МЕХАНИКИ И ОПТИКИ**

**А.А. Ожиганов**  
**ТЕОРИЯ АВТОМАТОВ**

**Учебное пособие**



**Санкт-Петербург**

**2013**

Ожиганов А.А. Теория автоматов. Учебное пособие. – СПб: НИУ ИТМО, 2013. – 84 с.

Целью данного учебного пособия является ознакомление студентов с методами синтеза цифровых автоматов. Приводятся сведения об абстрактных автоматах Мили и Мура. Рассматриваются табличный и графовый способы представления автоматов, вводится понятие реакции автомата на входное слово и определение эквивалентных автоматов. Представлены методы взаимного эквивалентного преобразования автоматов. Приводятся общие сведения о микропрограммном управлении, понятия микрокоманды, микрооперации, микропрограммы, способы представления микропрограмм в виде граф-схем алгоритмов (ГСА), формул переходов, матричных и логических схем алгоритмов. Приводятся методы разметки ГСА и правила построения по ним автоматов Мили и Мура. Рассматриваются методы канонического синтеза структурных автоматов. Приводятся примеры синтеза памяти структурного автомата на базе D –, T –, RS – и JK триггеров.

Пособие предназначено для студентов, специализирующихся в области информационных технологий и может быть использовано при подготовке бакалавров и магистров по направлениям 230100 «Информатика и вычислительная техника», 231000 «Программная инженерия» и инженеров по специальности 230101 «Вычислительные машины, комплексы, системы и сети».

Рекомендовано к печати советом факультета Компьютерных технологий и управления 19 февраля 2013 г., протокол № 2.

В 2009 году Университет стал победителем многоэтапного конкурса, в результате которого определены 12 ведущих университетов России, которым присвоена категория «Национальный исследовательский университет». Министерством образования и науки Российской Федерации была утверждена программа его развития на 2009–2018 годы. В 2011 году Университет получил наименование «Санкт-Петербургский национальный исследовательский университет информационных технологий, механики и оптики»



© Санкт-Петербургский национальный исследовательский университет информационных технологий, механики и оптики, 2013

©А.А. Ожиганов, 2013

## Содержание

	Стр.
1. Абстрактные автоматы.....	5
1.1. Определение абстрактного автомата.....	5
1.2. Автоматы Мили и Мура.....	6
1.3. Способы задания автоматов.....	6
1.3.1. Табличный способ задания автомата Мили.....	6
1.3.2. Графический способ задания автомата Мили.....	7
1.3.3. Табличный способ задания автомата Мура.....	7
1.3.4. Графический способ задания автомата Мура.....	8
1.4. Реакция автоматов на входное слово.....	8
1.5. Взаимная транспозиция автоматов Мили и Мура.....	9
1.5.1. Транспозиция автомата Мура в автомат Мили.....	9
1.5.2. Переход от автомата Мили к автомату Мура.....	10
1.6. Минимизация полностью определенных абстрактных автоматов.....	12
2. Структурный автомат.....	15
2.1. Переход от абстрактного автомата к структурному автомату.....	16
2.2. Канонический метод структурного синтеза.....	17
2.2.1. Синтез автоматов на $D$ -, $T$ -, $RS$ -, $JK$ - триггерах.....	20
2.3. Графический метод структурного синтеза.....	25
3. Операторные схемы алгоритмов. Микропрограмма.....	27
3.1. Граф-схема алгоритма (ГСА).....	28
3.2. Выполнение ГСА на определенной последовательности наборов.....	30
3.3. Система формул перехода.....	30
3.4. Матричная схема алгоритмов.....	33
3.5. Учет распределения сдвигов.....	34
3.6. Объединение граф-схем алгоритмов.....	35
3.7. Взаимосвязь алгоритмов.....	42
4. Синтез микропрограммного автомата (МПА) по ГСА.....	43
4.1. Синтез графа МПА.....	44
4.2. Таблицы переходов МПА.....	46
4.3. Модель структурного автомата при построении его в виде таблицы переходов.....	48
4.4. Синтез автоматов с жесткой логикой.....	49
4.4.1. Замечание о тактировании (синхронизации) автомата.....	49
4.4.2. Гонки в автомате.....	50
4.4.3. Методы устранения гонок.....	51
4.4.4. Преддешифратор обратной связи.....	51
4.4.5. Доопределение сигналов функции возбуждения.....	53

4.4.6. Узел в ГСА.....	54
4.4.7. Построение функциональной схемы МПА по обратной структурной таблице с узлами.....	60
4.4.8. Кодирование состояний.....	62
5. Матричная реализация МПА.....	67
5.1. Способы кодирования потенциальных двоичных сигналов...	67
5.2. Матричная реализация комбинационных схем.....	68
5.3. Тривиальная матричная реализация МПА.....	70
5.4. Кодирование логических условий.....	71
5.5. Кодирование микроопераций.....	74
6. Программируемые логические матрицы (ПЛМ).....	77
6.1. Расширение ПЛМ по выходам.....	78
6.2. Расширение ПЛМ по термам.....	79
6.3. Совместное расширение ПЛМ по выходам и по термам.....	79
6.4. Синтез МПА на ПЛМ.....	80
Литература.....	82

# 1. АБСТРАКТНЫЕ АВТОМАТЫ

## 1.1. Определение абстрактного автомата

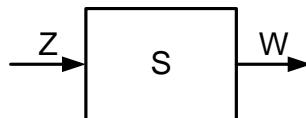
Абстрактный автомат (АА) является математической моделью дискретного устройства и описывается шестикомпонентным набором  $S=(A,Z,W,\delta, \lambda, a_1)$ , где

1.  $A = \{a_1, \dots, a_m, \dots, a_M\}$  - множество состояний или алфавит состояний АА.
2.  $Z = \{z_1, \dots, z_f, \dots, z_F\}$  - множество входных сигналов или входной алфавит АА.
3.  $W = \{w_1, \dots, w_g, \dots, w_G\}$  - множество выходных сигналов или выходной алфавит АА.
4.  $\delta$  - функция переходов АА, которая некоторым парам состояние – входной сигнал  $(a_m, z_f)$  ставит в соответствие состояние АА  $a_s$ , т.е.  $a_s = \delta(a_m, z_f)$ ,  $a_s \in A$ .
5.  $\lambda$  - функция выходов АА, которая некоторым парам состояние – входной сигнал  $(a_m, z_f)$  ставит в соответствие выходной сигнал АА  $w_g$ , т.е.  $w_g = \lambda(a_m, z_f)$ ,  $w_g \in W$ .
6.  $a_1$  - начальное состояние АА.

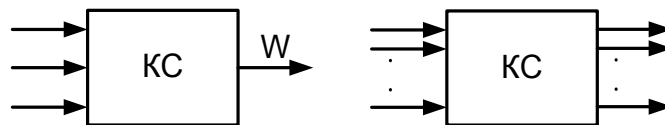
Под алфавитом понимается непустое множество попарно различных символов. Буквы - это элементы алфавита. Слово - конечная, упорядоченная последовательность букв.

*Примечание:* бывают и пятикомпонентные наборы. Начальное состояние введено для удобства.

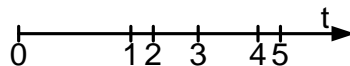
АА имеет один вход и один выход



в противоположность комбинационным схемам (КС), которые могут иметь несколько входов и один или несколько выходов



АА работает в дискретные моменты времени, причем промежутки между интервалами времени могут быть различными.

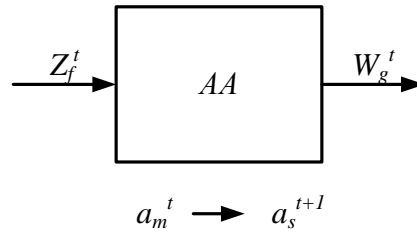


$t=0, 1, 2, 3, \dots$ . В момент времени  $t=0$  автомат всегда находится в состоянии  $a_1$ .

Основным отличием АА от КС является то, что выходные сигналы АА зависят от того, что поступало на его вход раньше.

В каждый момент времени АА, будучи в состоянии  $a_m^t$ , способен воспринимать одну из букв входного алфавита  $z_f^t$ . В соответствии с

функцией переходов  $\delta$ , АА перейдет в состояние  $a_l^{t+1}$  с выдачей выходного сигнала, который вырабатывается в соответствии с функцией выходов  $\lambda$ .



Под работой АА мы будем понимать не более, чем преобразование входных слов в выходные слова.

На уровне АА нас не интересует содержимое прямоугольника, который можно назвать «черным ящиком». Такой подход сродни системному подходу, когда рассматривается поведение системы. При структурном подходе рассматривается устройство на уровне структур.

## 1.2. Автоматы Мили и Мура

Ниже приведены законы функционирования для автоматов Мили и Мура.

Автомат Мили	Автомат Мура
$a(t+1) = \delta(a(t), z(t))$	$a(t+1) = \delta(a(t), z(t))$
$w(t) = \lambda(a(t), z(t))$	$w(t) = \lambda(a(t))$

Таким образом, в автоматах Мура выходной сигнал определяется только состоянием автомата в какой-то момент времени и не зависит от входного сигнала в этот же момент времени.

## 1.3. Способы задания автоматов

### 1.3.1. Табличный способ задания автомата Мили

Автомат Мили может быть задан таблицей переходов и таблицей выходов.

В таблице переходов АА Мили на пересечении столбца  $a_m$  и строки  $z_f$  записывается состояние  $a_s$ , которое есть функция  $\delta$  от  $a_m$  и  $z_f$ .

	$a_m$	
$z_f$	$a_s$	$= \delta(a_m, z_f)$

В таблице выходов АА Мили на пересечении столбца  $a_m$  и строки  $z_f$  записывается выходной сигнал, который есть функция  $\lambda$  от  $a_m$  и  $z_f$ .

	$a_m$	
$z_f$	$w_g$	$= \lambda(a_m, z_f)$

**Пример:** Рассмотрим задание автомата Мили табличным способом (автомат имеет два входных сигнала, два выходных сигнала и три состояния).

Таблица переходов автомата Мили

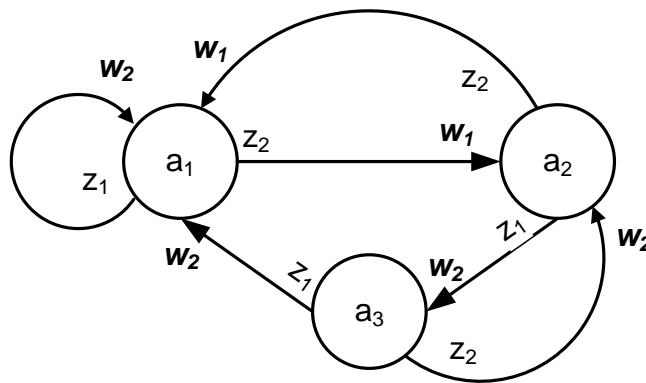
$\delta$	$a_1$	$a_2$	$a_3$
$z_1$	$a_1$	$a_3$	$a_1$
$z_2$	$a_2$	$a_1$	$a_2$

Таблица выходов автомата Мили

$\lambda$	$a_1$	$a_2$	$a_3$
$z_1$	$w_2$	$w_2$	$w_2$
$z_2$	$w_1$	$w_1$	$w_2$

### 1.3.2. Графический способ задания автомата Мили

Под графом понимается множество вершин, соединенных линиями, причем расстояние между вершинами нас не интересует. Если линии со стрелками, то граф называется направленным (ориентированным), если без стрелок - неориентированным.



На рисунке приведен граф автомата Мили на 3 состояния, имеющий 2 входных сигнала и 2 выходных сигнала (см. предыдущий пример).

### 1.3.3. Табличный способ задания автомата Мура

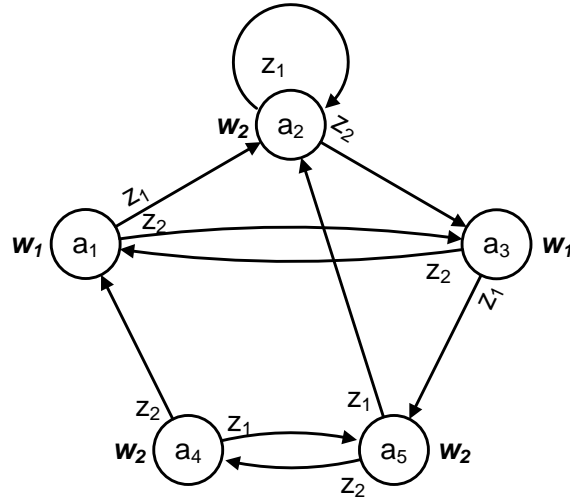
В автомате Мура выходной сигнал зависит только от состояния автомата и не зависит от входного сигнала. Поэтому достаточно для задания автомата Мура в таблице переходов добавить одну строку. Получается отмеченная таблица переходов автомата Мура.

$\lambda$	$w_1$	$w_2$	$w_1$	$w_2$	$w_2$
$\delta$	$a_1$	$a_2$	$a_3$	$a_4$	$a_5$
$z_1$	$a_2$	$a_2$	$a_5$	$a_5$	$a_2$
$z_2$	$a_3$	$a_3$	$a_1$	$a_1$	$a_4$



### 1.3.4. Графический способ задания автомата Мура

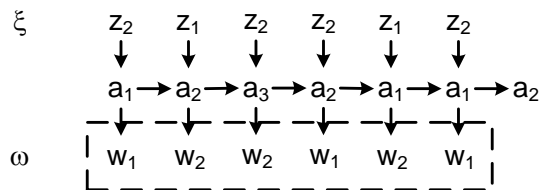
На рисунке приведен граф автомата Мура на 5 состояний, имеющий 2 входных сигнала и 2 выходных сигнала.



### 1.4. Реакция автоматов на входное слово

#### Автомат Мили

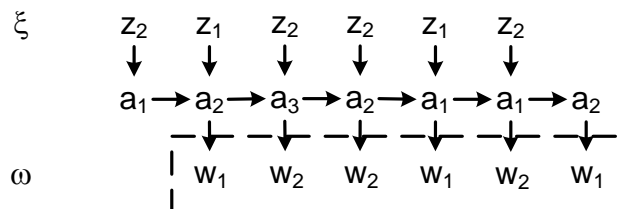
Допустим, входное слово  $\xi$  поступает на вход автомата буква за буквой.



Выходное слово  $\omega$  называется реакцией автомата Мили на входное слово  $\xi$  в состоянии  $a_1$  (строится по таблице переходов и выходов).

Реакцию автомата на входное слово  $\xi$  можно заменить обходом графа.

#### Автомат Мура



Выходное слово  $\omega$  называется реакцией автомата Мура на входное слово  $\xi$  в состоянии  $a_1$ .

В рассматриваемом примере для автоматов Мили и Мура реакции автоматов на одинаковое входное слово совпадают, но они сдвинуты на один такт.

Автоматы Мили и Мура дающие одинаковые реакции на одинаковые

входные слова называются эквивалентными.

Данное замечание приводит к задаче построения эквивалентных автоматов, дающих одинаковые реакции на одинаковые входные слова.

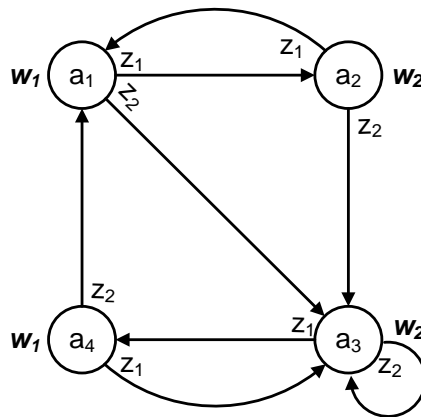
## 1.5. Взаимная транспозиция автоматов Мили и Мура

### 1.5.1. Переход от автомата Мура к автомату Мили

Шестикомпонентным набором с индексом  $A$  будем обозначать автомат Мура, а с индексом  $B$  - автомат Мили.

И так пусть задан автомат Мура

$$S_A = (A_A, Z_A, W_A, \delta_A, \lambda_A, a_{1A}).$$



Требуется перейти к автомату Мили

$$S_B = (A_B, Z_B, W_B, \delta_B, \lambda_B, a_{1B}),$$

у которого  $Z_A = Z_B$ ,  $W_A = W_B$ , т.е. входные и выходные алфавиты совпадают.

Рассмотрим пример, в котором

$$Z_A = \{z_1, z_2\} = Z_B, W_A = \{w_1, w_2\} = W_B, a_{1A} = a_{1B},$$

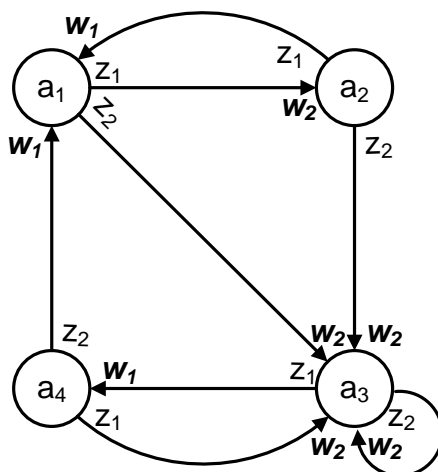
алфавит состояний автомата Мура содержит четыре элемента.

При переходе от автомата Мура к автомату Мили алфавиты состояний также совпадают, т.е.  $A_A = A_B$ .

Для определения соответствия между функциями переходов выходов автоматов Мура и Мили воспользуемся следующей вспомогательной таблицей

Мура $\delta_A(a_m, z_f) = a_s$ $\lambda_A(a_m) = w_g$		Мили $\delta_B(a_m, z_f) = a_s$ $\lambda_B(a_m, z_f) = w_g$
--	--	---





При переходе от автомата Мура к автомату Мили функции переходов также совпадают, а для определения функции выходов выходные сигналы с вершин опускается на входные дуги.

Проделав такие преобразования мы должны доказать, что получили автомат Мили, эквивалентный автомату Мура, т.е. что реакции автоматов на одинаковые входные воздействия совпадают.

Доказательство проводится по индукции, начиная со случая (смотри таблицу) и, далее, увеличивая слова на 1 получим доказательство.

При таком переходе (Мура к Мили) число состояний совпадает.

### 1.5.2. Переход от автомата Мили к автомату Мура

Пусть задан автомат Мили

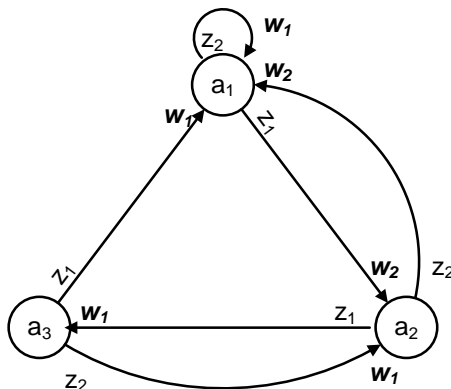
$$S_B = (A_B, Z_B, W_B, \delta_B, \lambda_B, a_{1B}).$$

Требуется перейти к автомату Мура

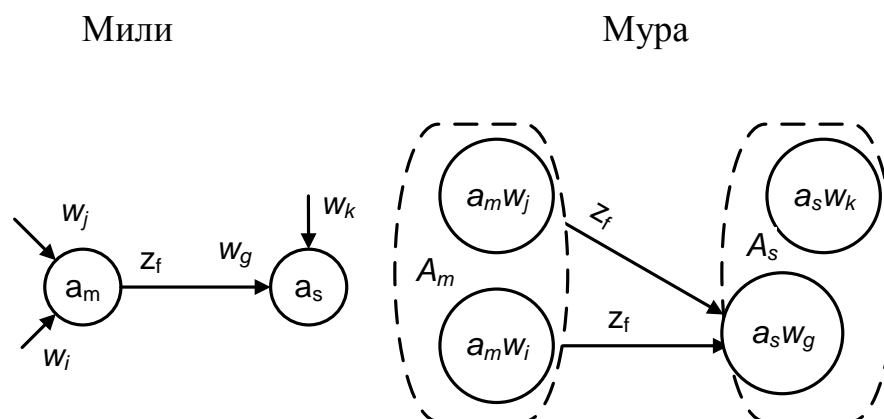
$$S_A = (A_A, Z_A, W_A, \delta_A, \lambda_A, a_{1A}),$$

у которого  $Z_B = Z_A$ ;  $W_B = W_A$ , т.е. входные и выходные алфавиты совпадают.

Рассмотрим пример, в котором  $Z_B = \{z_1, z_2\} = Z_A$ ,  $W_B = \{w_1, w_2\} = W_A$ , алфавит состояний автомата Мили содержит три элемента.



Для определения алфавита состояний, функций переходов и выходов автомата Мура воспользуемся следующей вспомогательной таблицей.

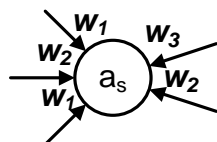


В данном случае  $A_B \neq A_A$ . При таком переходе (Миля к Мура) каждому состоянию автомата Миля  $a_s$  ставится в соответствие множество всевозможных пар

$$a_s \rightarrow A_s = \{(a_s, w_g) \mid a_s = \delta(a_m, z_f), w_g = \lambda(a_m, z_f)\}$$

таких, что  $a_s$  есть функция  $\delta$  от состояния и входного сигнала,  $w_g$  функция  $\lambda$  от состояния и входного сигнала.

Пример:



$$A_s = \{(a_s, w_1), (a_s, w_2), (a_s, w_3)\}.$$

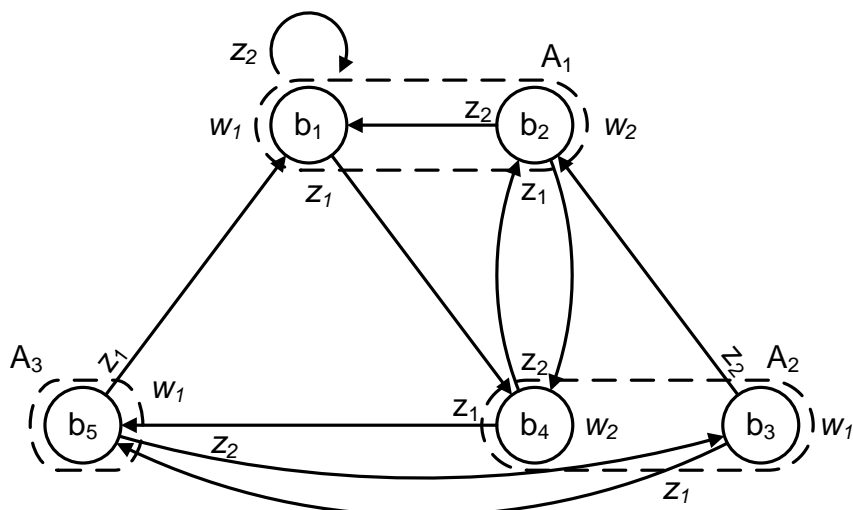
Для состояния

$$a_1 : A_1 = \begin{cases} (a_1, w_1) = b_1 \\ (a_1, w_2) = b_2 \end{cases}, a_2 : A_2 = \begin{cases} (a_2, w_1) = b_3 \\ (a_2, w_2) = b_4 \end{cases}, a_3 : A_3 = \{(a_3, w_1)\} = b_5.$$

В качестве начального состояния результирующего автомата может быть выбрано любое состояние Мура, порожденное начальным состоянием автомата Миля, т.е. состояния  $b_1$  или  $b_2$ .

При определении функции переходов результирующего автомата Мура из всех состояний, порожденных одним состоянием автомата Миля, должны быть переходы под воздействием одинаковых входных сигналов.

Поскольку в автомате Мура выходной сигнал зависит только от состояния автомата, то в примере рядом с состояниями проставим соответствующие выходные сигналы (см. рисунок ниже).



И так если осуществить следующие преобразования, то получим.

Миля	Мура	Миля
$S_1 \rightarrow$	$S_2 \rightarrow$	$S_3$
3 состояния	5 состояний	5 состояний

Можно утверждать, что если  $S_1$  эквивалентно  $S_2$ , а  $S_2$  эквивалентно  $S_3$ , то  $S_1$  эквивалентно  $S_3$  (т.е. эквивалентность обладает свойством транзитивности).

Таким образом возникает задача минимизации автоматов, под которой понимается задача нахождения в классе всех эквивалентных автоматов автомата того же типа (Миля или Мура) с минимальным числом состояний.

### 1.6. Минимизация полностью определенных абстрактных автоматов

Эквивалентные автоматы могут иметь различное число состояний. В связи с этим возникает задача нахождения минимального (с минимальным числом состояний) автомата в классе эквивалентных между собой автоматов.

Рассмотрим алгоритм минимизации абстрактного автомата, предложенный Ауфенкампом и Хоном. Основная идея алгоритма состоит в разбиении всех состояний исходного абстрактного автомата на попарно не пересекаемые классы эквивалентных состояний. После разбиения происходит замена каждого класса эквивалентности одним состоянием. Получившийся в результате минимальный абстрактный автомат имеет столько же состояний, на сколько классов эквивалентности разбивается состояние исходного абстрактного автомата.

Два состояния  $a_m$  и  $a_s$  называются эквивалентными, (обозначаются  $a_m \equiv a_s$ ), если  $w(a_m, \xi) = w(a_s, \xi)$  для всевозможных входных слов  $\xi$ , т.е.

реакции автомата в этих состояниях на всевозможные входные слова совпадают. Если  $a_m$  и  $a_s$  не эквивалентны, то они различимы.

Более слабой эквивалентностью является  $k$  - эквивалентность.

Состояния  $a_m$  и  $a_s$   $k$ - эквивалентны ( $a_m \stackrel{k}{\equiv} a_s$ ), если выходные функции состояний  $a_m$  и  $a_s$  равны для всевозможных входных слов  $\xi_k$  длины  $k$ . Если состояния не  $k$  - эквивалентны, то ни  $k$  - различимы.

Понятие эквивалентности и  $k$  - эквивалентности используется для разбиения множества на попарно различимые непересекающиеся классы эквивалентности.

Обозначение:

1. Эквивалентность— $\Pi$ ;
2.  $k$  - эквивалентность -  $\Pi_k$ .

Разбиение состояний автомата на классы эквивалентности позволяет определить избыточные элементы в множестве состояний  $A$ .

Пусть состояния  $a_m$  и  $a_s$  эквивалентны. Это значит, что с точки зрения реакции автоматов на всевозможные входные слова не важно, в каком состоянии находится автомат  $a_m$  или  $a_s$ . Поэтому одно из этих состояний может быть удалено из алфавита состояний, например  $a_s$ .

Если каждый класс эквивалентности содержит только одно состояние, то множество  $A$  не сократимо.

Если один или несколько классов содержат более одного элемента, то все элементы в классах эквивалентности, кроме одного, могут быть исключены из  $A$ .

В результате получается автомат с минимальным числом состояний.

*Алгоритм минимизации числа состояний автомата  $S=(A, Z, W, \delta, \lambda, a_1)$  состоит из следующих шагов:*

1. Находятся последовательные разбиения  $\Pi_1, \Pi_2, \dots, \Pi_k, \Pi_{k+1}$  множества  $A$  на классы одно-, двух-, ... ,  $k+1$  - эквивалентных между собой состояний. Разбиение на классы производится до тех пор, пока на каком-то  $k+1$  шаге не окажется, что  $\Pi_{k+1} = \Pi_k$ . Можно показать, что тогда разбиение  $\Pi_k = \Pi$ , то есть что  $k$  - эквивалентные состояния являются эквивалентными, и число шагов  $k$ , при котором  $\Pi_k = \Pi$ , не превышает  $M-1$ , где  $M$  - число состояний в множестве  $A=\{a_1, a_2, \dots, a_m\}$ .
2. В каждом классе эквивалентности разбиения  $\Pi$  выбираются по одному элементу, которые образуют множество  $A'$  состояний минимального автомата  $S' = (A', Z, W, \delta', \lambda', a_1')$ , эквивалентного исходному автомату  $S$ .
3. Функции переходов и выходов автомата  $S'$ , определяются на множестве  $A' * Z$ , то есть  $\delta': A' * Z \rightarrow A', \lambda' : A' * Z \rightarrow W$ . Для этого в таблицах переходов и выходов вычеркиваются столбцы, соответствующие не вошедшим в множество  $A'$  состояниям, а в

оставшихся столбцах таблицы переходов все состояния заменяются на эквивалентные из множества  $A'$ .

4. В качестве  $a_1'$ , выбирается одно из состояний, эквивалентных  $a_1$

**Пример.** Задан автомат Мура имеющий три входных сигнала  $Z = \{z_1, z_2, z_3\}$ , два выходных сигнала  $W = \{w_1, w_2\}$  и семь состояний автомата  $A = \{a_1, a_2, \dots, a_6, a_7\}$ . Используя алгоритм минимизировать автомат.

$\lambda$	$w_1$	$w_1$	$w_2$	$w_2$	$w_1$	$w_2$	$w_1$
$\delta$	$a_1$	$a_2$	$a_3$	$a_4$	$a_5$	$a_6$	$a_7$
$z_1$	$a_2$	$a_1$	$a_3$	$a_4$	$a_7$	$a_1$	$a_5$
$z_2$	$a_4$	$a_3$	$a_4$	$a_1$	$a_3$	$a_2$	$a_4$
$z_3$	$a_6$	$a_5$	$a_2$	$a_7$	$a_2$	$a_6$	$a_6$

Находятся классы одноэквивалентных состояний (это делается по таблице выходов)

$$B_1 = \{a_1, a_2, a_5, a_7\}.$$

$$B_2 = \{a_3, a_4, a_6\}.$$

$$\Pi_1 = \{B_1, B_2\}.$$

Определяются классы  $k$  - эквивалентных состояний. Строим таблицу  $\Pi_1(\Pi_k)$ , заменяя состояния в таблице переходов соответствующими классами эквивалентности.

Проводится проверка. Если  $\Pi_k = \Pi_{k+1}$ , то перейти к пункту 4. Если не совпали, то вернуться к пункту 2 и находить соответствующие классы эквивалентности пока проверка не будет выполнена.

	$B_1$				$B_2$		
	$a_1$	$a_2$	$a_5$	$a_7$	$a_3$	$a_4$	$a_6$
$z_1$	$B_1$	$B_1$	$B_1$	$B_1$	$B_2$	$B_2$	$B_2$
$z_2$	$B_2$	$B_2$	$B_2$	$B_2$	$B_2$	$B_1$	$B_1$
$z_3$	$B_2$	$B_1$	$B_1$	$B_2$	$B_1$	$B_1$	$B_2$

$$C_1 = \{a_1, a_7\};$$

$$C_2 = \{a_2, a_5\};$$

$$C_3 = \{a_3\};$$

$$C_4 = \{a_4\};$$

$$C_5 = \{a_6\};$$

$$\Pi_2 = \{C_1, C_2, C_3, C_4, C_5\}; \quad \Pi_1 \neq \Pi_2;$$

	$C_1$		$C_2$		$C_3$	$C_4$	$C_5$
	$a_1$	$a_7$	$a_2$	$a_5$	$a_3$	$a_4$	$a_6$
$z_1$	$C_2$	$C_2$	$C_1$	$C_1$	$C_3$	$C_4$	$C_1$
$z_2$	$C_4$	$C_4$	$C_3$	$C_3$	$C_4$	$C_4$	$C_2$
$z_3$	$C_5$	$C_5$	$C_2$	$C_2$	$C_2$	$C_1$	$C_5$

$$D_1 = \{ a_1, a_7 \};$$

$$D_2 = \{ a_2, a_5 \};$$

$$D_3 = \{ a_3 \};$$

$$D_4 = \{ a_4 \};$$

$$D_5 = \{ a_6 \};$$

$$P_3 = \{ D_1, D_2, D_3, D_4, D_5 \};$$

$$P_2 = P_3;$$

$$a_1 \equiv a_7;$$

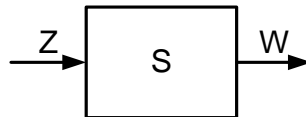
$$a_2 \equiv a_5.$$

Автомат после минимизации:

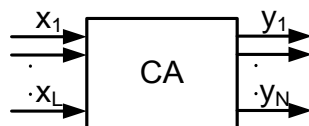
$л$	$w_1$	$w_1$	$w_2$	$w_2$	$w_2$
$\partial$	$a_1$	$a_2$	$a_3$	$a_4$	$a_6$
$z_1$	$a_2$	$a_1$	$a_3$	$a_4$	$a_1$
$z_2$	$a_4$	$a_3$	$a_4$	$a_1$	$a_2$
$z_3$	$a_6$	$a_2$	$a_2$	$a_1$	$a_6$

## 1. СТРУКТУРНЫЙ АВТОМАТ

В отличие от абстрактного автомата,



в структурном автомате (СА) имеется множество входных и выходных каналов или полюсов.



Множество сигналов, поступающих на каждый из входов СА, образуют структурный входной алфавит. Множество сигналов, вырабатываемых на каждом из выходов СА, образуют структурный



## 2.1. Переход от абстрактного автомата к структурному автомату

При переходе от АА к СА необходимо закодировать входные сигналы, выходные сигналы и состояния автомата.

Каждому входному сигналу АА  $z_f$  ставится в соответствие двоичный вектор

$$z_f \rightarrow (e_{f1}, \dots, e_{fb}, \dots, e_{fL}), e_{fj} \in \{0, 1\}, L = \lceil \log_2 F \rceil,$$

где  $F$  - число входных сигналов АА.  $\lceil b \rceil$ -запись означает ближайшее целое число большее  $b$  или равное ему, если  $b$  целое.

Каждому выходному сигналу АА  $w_g$  ставится в соответствие двоичный вектор

$$w_g \rightarrow (e_{g1}, \dots, e_{gn}, \dots, e_{gN}), e_{gn} \in \{0, 1\}, N = \lceil \log_2 G \rceil,$$

где  $G$  - число выходных сигналов АА.

Каждому состоянию АА  $a_m$  ставится в соответствие двоичный вектор

$$a_m \rightarrow (e_{m1}, \dots, e_{mR}, \dots, e_{mR}), a_m \in \{0, 1\}, R = \lceil \log_2 M \rceil,$$

где  $M$  - число состояний АА.

**Пример:** рассмотрим абстрактный автомат Мили, заданный таблично, на три состояния, три входных сигнала и пять выходных сигналов. Необходимо перейти от АА к СА.

$T_1(\delta)$	$a_1$	$a_2$	$a_3$
$z_1$	$a_2$	-	$a_1$
$z_2$	$a_3$	$a_1$	-
$z_3$	$a_2$	$a_3$	$a_3$

$T_2(\lambda)$	$a_1$	$a_2$	$a_3$
$z_1$	$w_1$	-	$w_2$
$z_2$	$w_4$	$w_5$	-
$z_3$	$w_2$	$w_1$	$w_3$

Закодируем входные сигналы.

$T_3$	$x_1$	$x_2$
$z_1$	0	0
$z_2$	0	1
$z_3$	1	0

Для нашего структурного автомата будет достаточно двух входных сигналов при условии кодирования двоичным кодом.

Закодируем выходные сигналы.

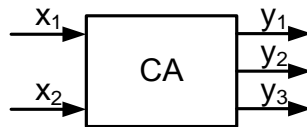
$T_4$	$y_1$	$y_2$	$y_3$
$w_1$	0	0	1
$w_2$	0	1	0
$w_3$	0	1	1
$w_4$	1	0	0
$w_5$	1	0	1

Для нашего структурного автомата будет достаточно трех выходных сигналов при условии кодирования двоичным кодом.

Закодируем состояния автомата.

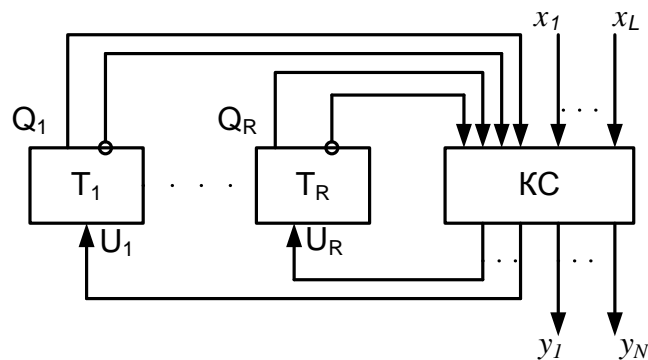
$T_5$	$Q_1$	$Q_2$
$a_1$	0	0
$a_2$	0	1
$a_3$	1	1

Для нашего примера СА будет выглядеть так



## 2.2. Канонический метод структурного синтеза

При каноническом (стандартном) методе структурного синтеза автомат представляют в виде двух частей: памяти ( $\Pi$ ) и комбинационной схемы ( $KC$ ).  $KC$  состоит из логических элементов, а память из автоматов памяти. Элементарными автоматами памяти являются триггерные схемы.



На вход КС поступают входные сигналы  $x_1, \dots, x_l, \dots, x_L$  и сигналы обратной связи с элементов памяти автомата  $Q_1, \dots, Q_r, \dots, Q_R$ . На основании закона функционирования автомата в заданном базисе строится КС, которая вырабатывает выходные сигналы функций возбуждения  $U_1, \dots, U_r, \dots, U_R$  элементов памяти.

**Теорема о структурной полноте.** Любая система элементарных автоматов, содержащая автомат Мура (обладающий полнотой переходов и полнотой выходов) и какую-либо функционально полную систему логических элементов, является структурно полной.

Полнота переходов автомата Мура означает, что для любой пары состояний  $(b_i, b_j)$  найдется входной сигнал, который переведет автомат из состояния  $b_i$  в состояние  $b_j$ . Другими словами, это означает, что в каждом из столбцов отмеченной таблицы переходов АА Мура должны быть перечислены все состояния. Полнота выходов автомата Мура означает, что каждому состоянию автомата соответствует свой отличный от других выходной сигнал.

Если автомат Мура обладает полнотой выходов, то можно отказаться от алфавита выходных сигналов и для обозначения последних использовать алфавит состояний.

При наличии структурно полной системы задача синтеза любого автомата сводится к задаче синтеза его комбинационной части.

Таким образом, задача синтеза автомата сводится к нахождению функций

$$U_r = U_r(Q_1, \dots, Q_R, x_1, \dots, x_L), r = 1, \dots, R;$$

$$y_n = y_n(Q_1, \dots, Q_R, x_1, \dots, x_L), n = 1, \dots, N.$$

То есть применительно к нашему примеру

$$U_1 = U_1(Q_1, Q_2, x_1, x_2);$$

$$U_2 = U_2(Q_1, Q_2, x_1, x_2);$$

$$y_1 = y_1(Q_1, Q_2, x_1, x_2);$$

$$y_2 = y_2(Q_1, Q_2, x_1, x_2);$$

$$y_3 = y_3(Q_1, Q_2, x_1, x_2).$$

Будем считать, что имеем функционально-полную систему логических элементов (универсальный базис) И, ИЛИ, НЕ и автомат Мура, обладающий полнотой переходов и полнотой выходов.

$T_6$	$b_1$	$b_2$
$q_1$	$b_1$	$b_2$
$q_2$	$b_2$	$b_1$

Необходимо перейти к СА. Для этого кодируем входные и состояния автомата

$\Gamma_7$	$U$
$q_1$	$0$
$q_2$	$1$

$\Gamma_8$	$Q$
$b_1$	$0$
$b_2$	$1$

Так как автомат Мура обладает полнотой переходов и полнотой выходов, то для обозначения выходных сигналов будем использовать алфавит состояний автомата.

На основании таблиц 6, 7 и 8 строим таблицу 9, которая является структурной таблицей, описывающей функционирование автомата памяти:

$\Gamma_9$	$U$	$Q$	$0$	$1$
	$0$		$0$	$1$
	$1$		$1$	$0$

По таблицам 1 и 2 с учетом таблиц 3, 4 и 5 строим таблицу переходов 10 и таблицу выходов 11 структурного автомата. В этих таблицах входные, выходные переменные и состояния автомата заменены их кодами. Это будут таблицы, описывающие функционирование структурного автомата.

$$\Gamma_{10} \quad Q_1 Q_2 = \delta(Q_1, Q_2, x_1, x_2)$$

$$\Gamma_{11} \quad y_1 y_2 y_3 = \lambda(Q_1, Q_2, x_1, x_2)$$

$Q_1 Q_2$	$00$	$01$	$11$
$x_1 x_2$			
$00$	$01$	$-$	$00$
$01$	$11$	$00$	$-$
$10$	$01$	$11$	$11$

$Q_1 Q_2$	$00$	$01$	$11$
$x_1 x_2$			
$00$	$001$	$-$	$010$
$01$	$100$	$101$	$-$
$10$	$010$	$001$	$011$
	$y_1 y_2 y_3$	$y_1 y_2 y_3$	$y_1 y_2 y_3$

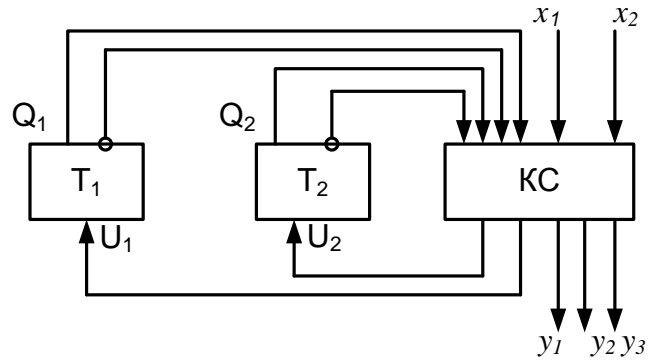
По таблице 11 строим дизъюнктивные нормальные формы для  $y_1$ ,  $y_2$  и  $y_3$ .

$$y_1 = \bar{Q}_1 \bar{Q}_2 \bar{x}_1 x_2 \vee \bar{Q}_1 Q_2 \bar{x}_1 x_2 = 1 \vee 5;$$

$$y_2 = \bar{Q}_1 \bar{Q}_2 x_1 \bar{x}_2 \vee Q_1 Q_2 \bar{x}_1 \bar{x}_2 \vee Q_1 Q_2 x_1 \bar{x}_2 = 2 \vee 12 \vee 14;$$

$$y_3 = \bar{Q}_1 \bar{Q}_2 \bar{x}_1 \bar{x}_2 \vee \bar{Q}_1 Q_2 \bar{x}_1 x_2 \vee \bar{Q}_1 Q_2 x_1 \bar{x}_2 \vee Q_1 Q_2 x_1 \bar{x}_2 = 0 \vee 2 \vee 6 \vee 14.$$

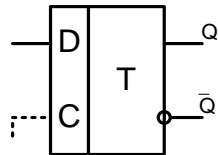
В общем виде структурная схема автомата для нашего примера будет выглядеть следующим образом.



### 2.2.1. Синтез автоматов на $D$ -, $T$ -, $RS$ -, $JK$ - триггерах

Напомним, что любой триггер - это автомат Мура, обладающий полнотой переходов и полнотой выходов.

$D$ - триггер (задержка).



$C$  - синхронизирующий вход  $D$  - триггера. Сигнал на выходе  $Q$  этого триггера повторяет сигнал на его входе  $D$ .

Закон функционирования  $D$ -триггера отражен в таблице ниже.

$D$	$Q$	$0$	$1$
$0$		$0$	$0$
$1$		$1$	$1$

По табл. 10 с учетом закона функционирования  $D$ -триггера строится таблица сигналов функций возбуждения

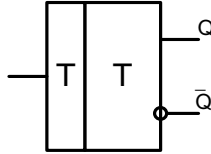
$D_1 D_2 = \mu(Q_1, Q_2, x_1, x_2)$				
$x_1 x_2$	$Q_1 Q_2$	$00$	$01$	$11$
$00$		$01$	-	$00$
$01$		$11$	$00$	-
$10$		$01$	$11$	$11$
		$D_1 D_2$	$D_1 D_2$	$D_1 D_2$

При синтезе автомата на  $D$  - триггерах таблица сигналов функций возбуждения совпадает с таблицей переходов СА (табл. 10), из которой сразу можно получить выражения в виде дизъюнктивных нормальных форм для сигналов функций возбуждения  $D_1$  и  $D_2$ , т.е.

$$D_1 = \bar{Q}_1\bar{Q}_2\bar{x}_1x_2 \vee \bar{Q}_1Q_2x_1\bar{x}_2 \vee Q_1Q_2x_1\bar{x}_2 = 1 \vee 6 \vee 14.$$

$$D_2 = \bar{Q}_1\bar{Q}_2\bar{x}_1\bar{x}_2 \vee \bar{Q}_1\bar{Q}_2\bar{x}_1x_2 \vee \bar{Q}_1\bar{Q}_2x_1\bar{x}_2 \vee \bar{Q}_1Q_2x_1\bar{x}_2 \vee Q_1Q_2x_1\bar{x}_2 = 0 \vee 1 \vee 2 \vee 6 \vee 14.$$

$T$ -триггер (триггер со счетным входом - переключатель).



Закон функционирования  $T$ -триггера отражен в таблице ниже ( $Q^{t+1} = Q^t \oplus T$ ).

	$Q$	$0$	$1$
$T$			
$0$		$0$	$1$
$1$		$1$	$0$

Если входной сигнал триггера равен 0, то состояние триггера не меняется.

По табл. 10 с учетом закона функционирования  $T$  – триггера строится таблица сигналов функций возбуждения

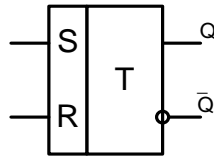
$T_1T_2 = \mu(Q_1, Q_2, x_1, x_2)$				
	$Q_1Q_2$	$0\ 0$	$0\ 1$	$1\ 1$
$x_1x_2$				
$00$		$0\ 1$	-	$11$
$01$		$1\ 1$	$0\ 1$	-
$10$		$0\ 1$	$1\ 0$	$00$
		$T_1\ T_2$	$T_1\ T_2$	$T_1\ T_2$

По этой таблице можно получить выражения в виде дизъюнктивных нормальных форм для сигналов функций возбуждения  $T_1$  и  $T_2$ , т.е.

$$T_1 = \bar{Q}_1\bar{Q}_2\bar{x}_1x_2 \vee \bar{Q}_1Q_2x_1\bar{x}_2 \vee Q_1Q_2\bar{x}_1\bar{x}_2 = 1 \vee 6 \vee 12.$$

$$T_2 = \bar{Q}_1\bar{Q}_2\bar{x}_1\bar{x}_2 \vee \bar{Q}_1\bar{Q}_2\bar{x}_1x_2 \vee \bar{Q}_1\bar{Q}_2x_1\bar{x}_2 \vee \bar{Q}_1Q_2\bar{x}_1x_2 \vee Q_1Q_2\bar{x}_1\bar{x}_2 = 0 \vee 1 \vee 2 \vee 5 \vee 12.$$

$RS$  – триггер (установить – сбросить).



Закон функционирования  $RS$  – триггера отражен в таблице ниже

$RS$	$Q$	$0$	$1$
$00$		$0$	$1$
$01$		$1$	$1$
$10$		$0$	$0$
$11$		-	-

Для удобства дальнейшего изложения воспользуемся системой подставок  $RS$  - триггера.

	$R$	$S$
"0" → "0"	-	0
"0" → "1"	0	1
"1" → "0"	1	0
"1" → "1"	0	-

По табл. 10 с учетом системы подставок  $RS$  - триггера строится таблица сигналов функций возбуждения  $R_1, S_1, R_2, S_2$

$R_1S_1R_2S_2 = \mu(Q_1, Q_2, x_1, x_2)$						
$Q_1Q_2$	$00$		$01$		$11$	
$x_1x_2$						
$00$	-0	01	-	-	10	10
$01$	01	01	-0	10	-	-
$10$	-0	01	01	0-	0-	0-
	$R_1S_1$	$R_2S_2$	$R_1S_1$	$R_2S_2$	$R_1S_1$	$R_2S_2$

По этой таблице можно получить выражения в виде дизъюнктивных нормальных форм для сигналов функций возбуждения  $R_1, S_1, R_2, S_2$ , т.е.

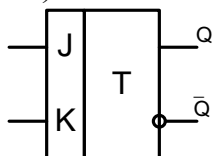
$$R_1 = Q_1 Q_2 \bar{x}_1 \bar{x}_2 = 12.$$

$$S_1 = \bar{Q}_1 \bar{Q}_2 \bar{x}_1 x_2 \vee \bar{Q}_1 Q_2 x_1 \bar{x}_2 = 1 \vee 6.$$

$$R_2 = \bar{Q}_1 Q_2 \bar{x}_1 x_2 \vee Q_1 Q_2 \bar{x}_1 \bar{x}_2 = 5 \vee 12.$$

$$S_2 = \bar{Q}_1 \bar{Q}_2 \bar{x}_1 \bar{x}_2 \vee \bar{Q}_1 \bar{Q}_2 \bar{x}_1 x_2 \vee \bar{Q}_1 \bar{Q}_2 x_1 \bar{x}_2 = 0 \vee 1 \vee 2.$$

$JK$  – триггер (прыгать-держать).



Закон функционирования  $JK$  – триггера отражен в таблице ниже

$JK$	$Q$	$0$	$1$
$00$		$0$	$1$
$01$		$0$	$0$
$10$		$1$	$1$
$11$		$1$	$0$

Для удобства дальнейшего изложения воспользуемся системой подставок  $JK$  - триггера.

	$J$	$K$
"0" → "0"	$0$	-
"0" → "1"	$1$	-
"1" → "0"	-	$1$
"1" → "1"	-	$0$

По табл. 10 с учетом системы подставок  $JK$  - триггера строится таблица сигналов функций возбуждения  $J_1, K_1, J_2, K_2$

$J_1 K_1 J_2 K_2 = \mu(Q_1, Q_2, x_1, x_2)$						
$Q_1 Q_2$	$00$		$01$		$11$	
$x_1 x_2$						
$00$	$0-$	$1-$	-	-	$-1$	$-1$
$01$	$1-$	$1-$	$0-$	$-1$	-	-
$10$	$0-$	$1-$	$1-$	$-0$	$-0$	$-0$
	$J_1 K_1$	$J_2 K_2$	$J_1 K_1$	$J_2 K_2$	$J_1 K_1$	$J_2 K_2$



По этой таблице можно получить выражения в виде дизъюнктивных нормальных форм для сигналов функций возбуждения  $J_1, K_1, J_2, K_2$ , т.е.

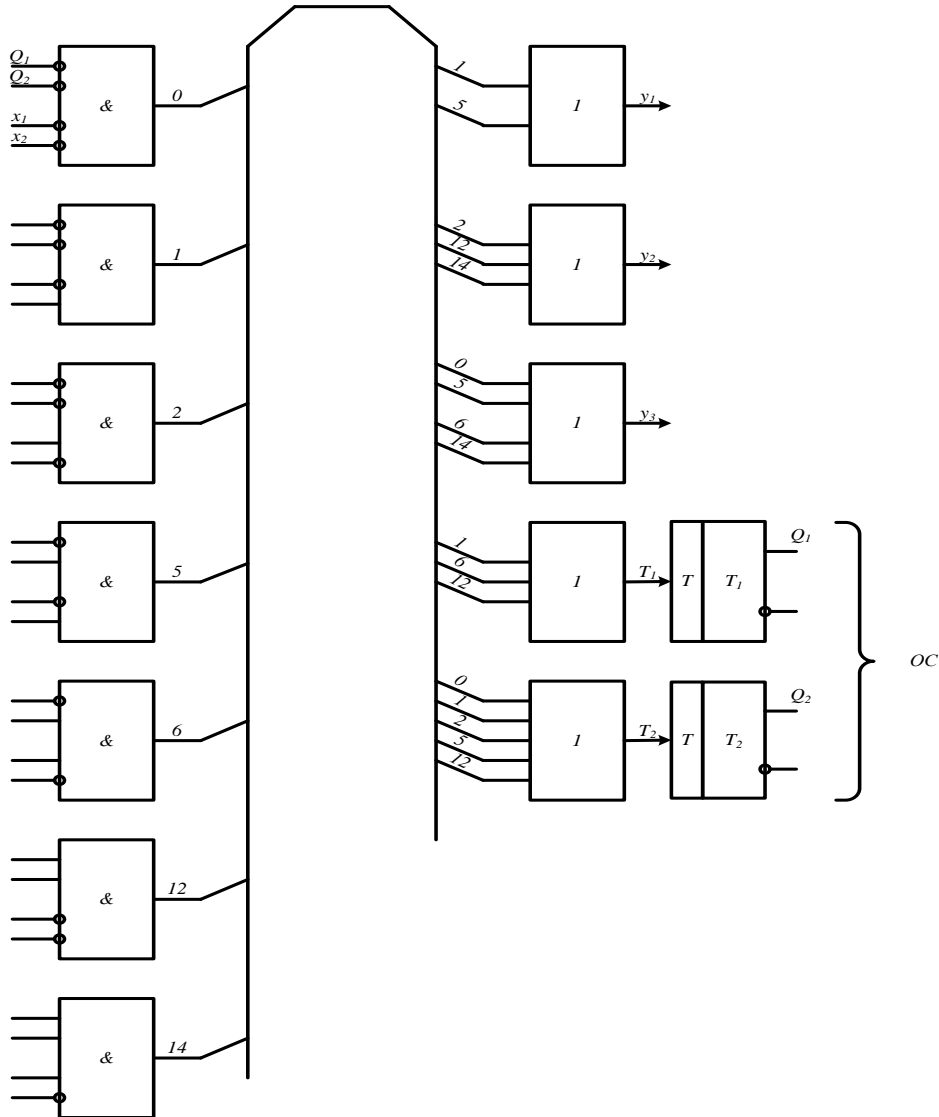
$$J_1 = \bar{Q}_1\bar{Q}_2\bar{x}_1x_2 \vee \bar{Q}_1Q_2x_1\bar{x}_2 = 1 \vee 6.$$

$$K_1 = Q_1Q_2\bar{x}_1\bar{x}_2 = 12.$$

$$J_2 = \bar{Q}_1\bar{Q}_2\bar{x}_1\bar{x}_2 \vee \bar{Q}_1\bar{Q}_2\bar{x}_1x_2 \vee \bar{Q}_1Q_2x_1\bar{x}_2 = 0 \vee 1 \vee 2.$$

$$K_2 = \bar{Q}_1Q_2\bar{x}_1x_2 \vee Q_1Q_2\bar{x}_1\bar{x}_2 = 5 \vee 12.$$

Для примера построим функциональную схему автомата на  $T$ -триггерах.



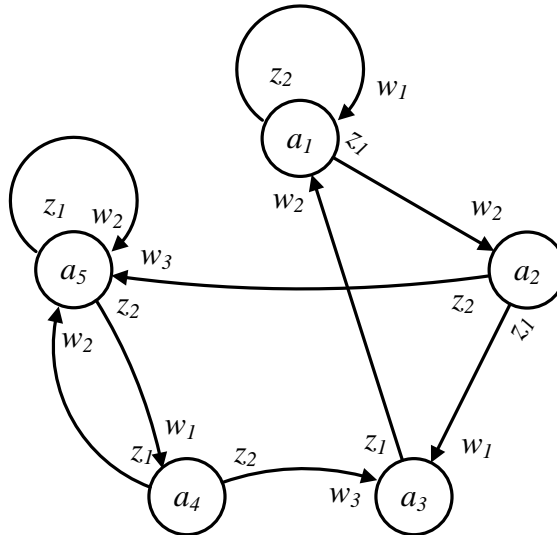
Для минимизации схем ИЛИ, реализующих выходные функции  $y_1, y_2, \dots, y_N$  используется следующий алгоритм:

1. Каждому  $w_g$  ставится в соответствие целое число  $N_g$ , равное числу появлений  $w_g$  в таблице выходов.
2. При кодировании  $w_g$  упорядочиваем их по мере убывания  $N_g$ .
3. Выходной сигнал, имеющий самое большое  $N_g$ , кодируется кодом из всех 0.

4. Последующие выходные сигналы кодируются кодами с одной единицей, затем с двумя и т.д.

### 2.3. Графический метод структурного синтеза

Рассмотрим синтез автомата на  $D$ -триггерах, который задан графом.



Как и в случае задания автомата табличным способом, при переходе АА к СА необходимо закодировать входные сигналы, выходные сигналы и состояния автомата.

Входные сигналы	
	$x$
$z_1$	$0$
$z_2$	$1$

Закодируем выходные сигналы в соответствии с алгоритмом, рассмотренным выше.

$w_g$	$N_g$
$w_1$	$3$
$w_2$	$4$
$w_3$	$2$

Выходные сигналы		
	$y_1$	$y_2$
$w_2$	$0$	$0$
$w_1$	$0$	$1$
$w_3$	$1$	$0$

При кодировании состояний автомата для минимизации числа конъюнкций в выражениях для  $D_1, \dots, D_R$  используется следующий алгоритм.

1. Каждому состоянию  $a_i$  ставится в соответствие целое число  $M_i$ , равное числу переходов в это состояние.
2. При кодировании  $a_i$  упорядочиваем их по убыванию  $M_i$ .
3. Состояние, имеющее самое большое  $M_i$ , кодируется всеми нулями.
4. Для кодирования следующих состояний используются коды с одной единицей, затем с двумя и т.д.

Закодируем состояние автомата в соответствии с рассмотренным алгоритмом.

$a_i$	$M_i$
$a_1$	2
$a_2$	1
$a_3$	2
$a_4$	1
$a_5$	3

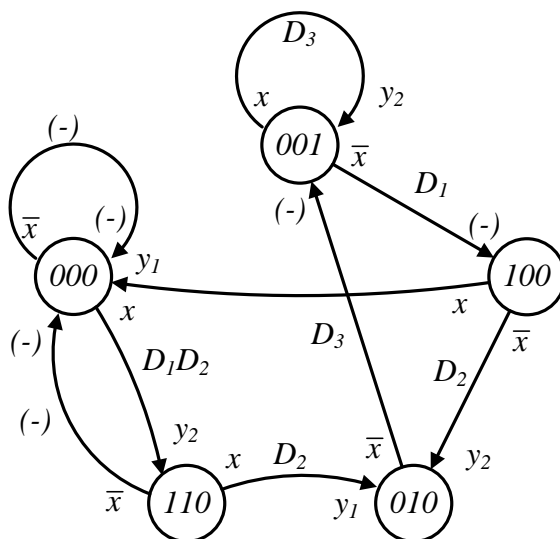
	$Q_1$	$Q_2$	$Q_3$
$a_5$	0	0	0
$a_1$	0	0	1
$a_3$	0	1	0
$a_2$	1	0	0
$a_4$	1	1	0

При переходе от АА, заданному в виде графа, к СА, условимся:

1. Вместо входных сигналов (в примере 0,1) записывать на дугах графа конъюнкции (в примере  $x, \bar{x}$ ).
2. Вместо выходных сигналов (в примере 00, 01, 10) будем записывать на дугах графа автомата символы тех компонент, которые в этих сигналах принимают значение 1 (в примере  $y_1, y_2$ ).

В соответствии с кодированием входных сигналов, выходных сигналов и состояний автомата построим граф СА.

Далее припишем дугам графа символы тех компонент функций возбуждения, которые принимают значения 1 на соответствующих переходах.



Затем, прямо по графу, построим дизъюнктивные нормальные формы для  $y_1, y_2$  и  $D_1, D_2, D_3$ .

$$y_1 = Q_1 \bar{Q}_2 \bar{Q}_3 x \vee Q_1 Q_2 \bar{Q}_3 x = 9 \vee 13;$$

$$y_2 = \bar{Q}_1 \bar{Q}_2 Q_3 x \vee Q_1 \bar{Q}_2 \bar{Q}_3 \bar{x} \vee \bar{Q}_1 \bar{Q}_2 \bar{Q}_3 x = 3 \vee 8 \vee 1;$$

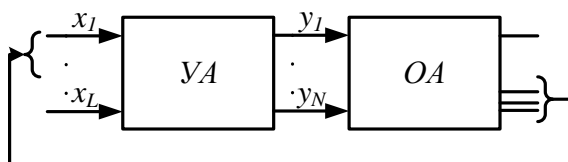
$$D_1 = \bar{Q}_1 \bar{Q}_2 Q_3 \bar{x} \vee \bar{Q}_1 \bar{Q}_2 \bar{Q}_3 x = 3 \vee 1;$$

$$D_2 = Q_1 \bar{Q}_2 \bar{Q}_3 \bar{x} \vee Q_1 Q_2 \bar{Q}_3 x \vee \bar{Q}_1 \bar{Q}_2 \bar{Q}_3 x = 8 \vee 13 \vee 1;$$

$$D_3 = \bar{Q}_1 Q_2 \bar{Q}_3 \bar{x} \vee \bar{Q}_1 \bar{Q}_2 Q_3 x = 4 \vee 3.$$

### 3. Операторные схемы алгоритмов. Микропрограмма

Элементарный неделимый акт обработки информации в операционном автомате (ОА) называется микрооперацией (МО).



УА - управляющий автомат,

ОА - операционный автомат.

Множество МО, которые могут выполняться в ОА, обозначим через  $Y = \{y_1, \dots, y_n\}$ . Эти операции выполняются в ОА под действием сигналов, которые приходят из УА. Для того, чтобы в ОА выполнялась МО  $y_n$ , по каналу, соответствующему  $y_n$  должен прийти сигнал равный 1, т.е.  $y_n = 1$ .

Множество МО, которые могут выполняться в ОА одновременно, будем называть микрокомандой (МК). Будем считать, что у нас этих микрокоманд  $Y_1, \dots, Y_T$ . Например, пусть  $Y_i = \{y_1, y_3, y_8\}$ , т.е.  $y_1 = y_3 = y_8 = 1$ .

Для изменения порядка выполнения микрокоманд используются логические условия, причем множество логических условий  $X = \{x_1, \dots, x_L\}$ .

Каждая микрокоманда  $Y_i$  может содержать множество булевых функций  $\alpha_{i1}, \dots, \alpha_{iT}$  от переменных  $x_1, \dots, x_L$ . При этом, если после выполнения команды  $Y_j \alpha_{ij} = 1$ , то следующей командой будет выполняться команда  $Y_j$ . Выражение  $\alpha_{ij}$  называется функцией перехода от микрокоманды  $Y_i$  к микрокоманде  $Y_j$ .

*Свойства функции перехода.*

1. Ортогональность:  $\alpha_{ij} \times \alpha_{it} = 0, j \neq t$ .

Две команды не могут выполняться одновременно.

2. Полнота:  $\bigcap_{j=1}^T \alpha_{ij} = 1$ .

Хотя бы одна микрокоманда должна выполняться обязательно.

Совокупность микрокоманд и функций перехода образует микропрограмму.

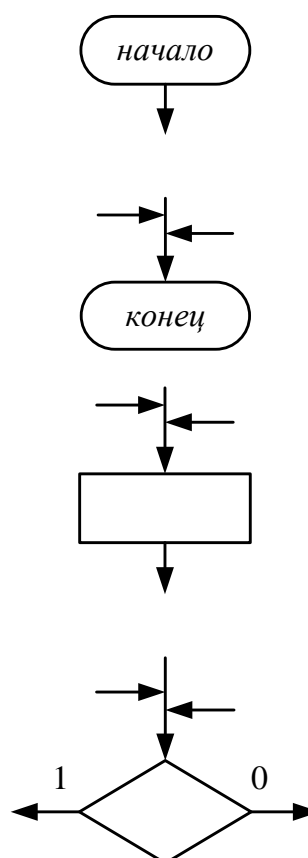
Таким образом, для описания микропрограммы необходимо задать последовательность микрокоманд и функций перехода, определяющих порядок выполнения МК.

Для описания микропрограмм будем использовать язык граф-схем алгоритмов.

### 3.1. Граф-схемы алгоритмов

Граф-схема алгоритмов (ГСА) – это ориентированный связанный граф, содержащий вершины 4-х типов:

1. Одну начальную вершину с одним выходом и без входа
2. Одну конечную вершину
3. Конечное множество операторных вершин
4. Конечное множество условных вершин

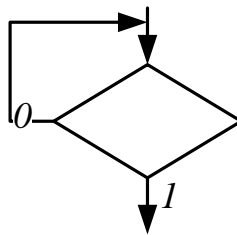


Конечная, операторная и условная вершины имеют по одному входу, начальная вершина входов не имеет. Начальная и операторные вершины имеют по одному выходу, а условные вершины по два выхода, помеченные как 0 и 1. Конечная вершина выходов не имеет.

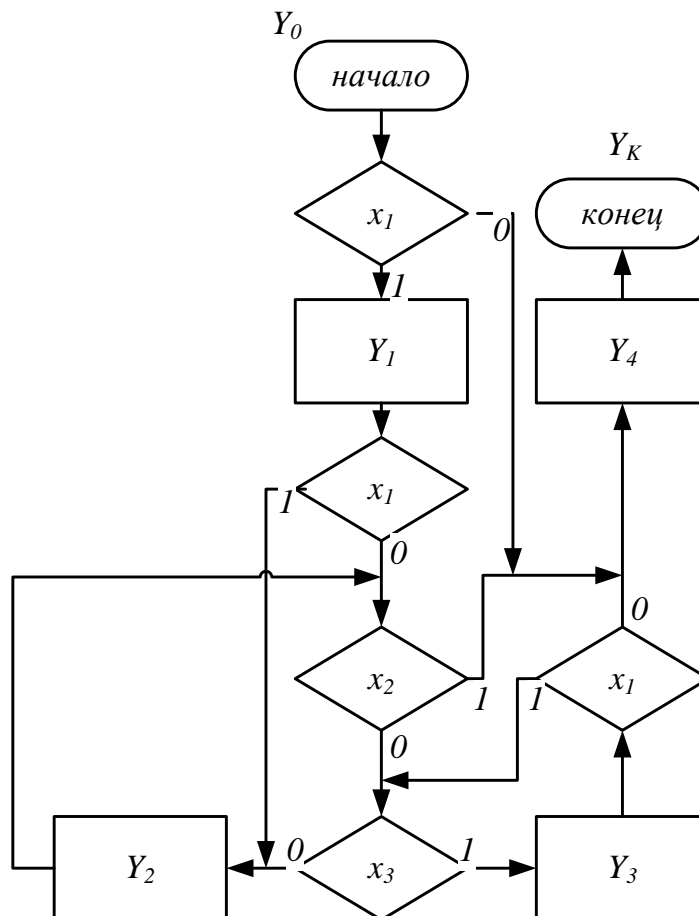
#### ***Правила составления ГСА.***

1. Входы и выходы вершин соединяются друг с другом с помощью дуг, направленных всегда от выходов ко входу.
2. Каждый выход соединяется точно с одним входом.
3. Каждый вход соединяется, по крайней мере, с одним выходом.
4. Через каждую вершину проходит как минимум один путь из начальной вершины в конечную.

5. В каждой операторной вершине записывается микрокоманда  $Y_i$ , т.е. подмножество множества микроопераций:  $Y = \{y_1, \dots, y_n\}$ . Допускается  $Y_i = \emptyset$ .
6. В каждой условной вершине записывается логическое условие - один из элементов множества  $X = \{x_1, \dots, x_L\}$ .
7. Разрешается запись одинаковых микроопераций и одинаковых логических условий в различных операторных и условных вершинах соответственно.
8. Один из выходов условной вершины может быть соединен с ее входом. Такая вершина носит название ждущей вершины.



Пример ГСА



### 3.2. Выполнение ГСА на определенной последовательности наборов

Иногда возникает задача определения эквивалентности ГСА, описывающих одну и ту же микропрограмму. Пусть задана некоторая последовательность переменных  $x_1, x_2, x_3$  (наборы могут и совпадать) из ГСА, приведенной выше.

	$x_1$	$x_2$	$x_3$
$w$	1	1	1
$w$	0	0	0
$w$	0	0	1
	1	1	1
	1	1	0
	0	1	0
	1	1	1

Необходимо определить значение ГСА на заданной последовательности наборов. Это значение определяется с помощью «блуждания» по ГСА.

Определим этот процесс следующим образом.

Выбирается начальный оператор  $Y_0$  и первый набор  $w$ . С учетом этого набора производится "блуждание по ГСА". Получаем значения  $Y_0 Y_1$ . Затем набор меняется на следующий и т.д.  $Y_0 Y_1 Y_2 Y_3 Y_2 Y_4 Y_k$ .

То, что мы получили, называется значением ГСА на заданной последовательности наборов.

Процедура "блуждания" заканчивается, когда:

1. исчерпаны все наборы;
2. дошли до оператора  $Y_k$ .

Если, дойдя до  $Y_k$ , мы не исчерпали наборов, то надо начинать с оператора  $Y_0$  сначала.

ГСА<sub>1</sub> и ГСА<sub>2</sub> эквивалентны или равносильны, если их значения совпадают на всевозможных последовательностях наборов: ГСА<sub>1</sub> ≡ ГСА<sub>2</sub>.

### 3.3. Система формул перехода

Когда задают путь в ГСА, то перечисляют или последовательность вершин, или последовательность дуг. Напомним, что  $\alpha_{ij}$  - функция перехода от оператора  $Y_i$  к  $Y_j$ . Тогда зададим этот переход с помощью последовательности вершин

$$Y_i x_{i1}^{e_{i1}} \dots x_{iR}^{e_{iR}} Y_j, \text{ где } e_{ir} \in \{0, 1\}. \quad (*)$$

Условимся  $e_{ir}^0 = \bar{e}_{ir}$ ;  $e_{ir}^1 = e_{ir}$ . На примере, переход из  $Y_1$  в  $Y_4$  будет выглядеть следующим образом:  $Y_1 \bar{x}_1 x_2 Y_4$ . Каждому пути вида (\*) поставим в

соответствие конъюнкцию 
$$\alpha_{ij} = \bigcap_{r=1}^R x_{ir}^{e_{ir}}.$$

Например, для рассматриваемой ГСА  $\alpha_{14} = \bar{x}_1 x_2$ .

Если путей перехода несколько, то берется дизъюнкция соответствующих конъюнкций, например,  $\alpha_{12} = \bar{x}_1 \bar{x}_2 \bar{x}_3 \vee x_1$ .

Тот факт, что из оператора  $Y_1$  имеются пути переходов в  $Y_2$ ,  $Y_3$  и  $Y_4$ , записывается следующим образом:

$$Y_1 \rightarrow x_1 Y_2 \vee \bar{x}_1 x_2 Y_4 \vee \bar{x}_1 \bar{x}_2 x_3 Y_3 \vee \bar{x}_1 \bar{x}_2 \bar{x}_3 Y_2.$$

Выражение вида 
$$Y_i \rightarrow \bigcup_{t=1}^{T+1} \alpha_{it} Y_t$$
 носит название формулы перехода от оператора  $Y_i$  или из оператора  $Y_i$ .

Здесь  $\alpha_{ij}$  функция перехода от оператора  $Y_i$  к  $Y_j$  – булева функция двоичных переменных  $x_1, \dots, x_L$ ;  $\alpha_{ij} Y_j$  называется отмеченной функцией.

Она может принимать следующие значения 
$$\alpha_{ij} Y_j = \begin{cases} Y_j, \text{ если } \alpha_{ij} = 1 \\ 0, \text{ если } \alpha_{ij} = 0 \end{cases}.$$

Над булевыми функциями, входящими в отмеченные функции можно производить все преобразования булевой алгебры, а также пользоваться следующими соотношениями:

1.  $\alpha \beta Y_j \vee \alpha \gamma Y_t = \alpha (\beta Y_j \vee \gamma Y_t)$ .
2.  $\alpha Y_j \vee \beta Y_j = (\alpha \vee \beta) Y_j$ .
3. Если  $\alpha \equiv \beta$ , то  $\alpha Y_j = \beta Y_j$ .

Здесь  $\alpha$ ,  $\beta$  и  $\gamma$  – булевы функции переменных  $x_1, \dots, x_L$ . Множество формул перехода для всех  $i=1, \dots, T$  образуют систему формул перехода (СФП). Для ГСА, которая приведена выше, эта система имеет вид:

$$Y_0 \rightarrow x_1 Y_1 \vee \bar{x}_1 Y_4.$$

$$Y_1 \rightarrow x_1 Y_2 \vee \bar{x}_1 \bar{x}_2 \bar{x}_3 Y_2 \vee \bar{x}_1 \bar{x}_2 x_3 Y_3 \vee \bar{x}_1 x_2 Y_4.$$

$$Y_2 \rightarrow \bar{x}_2 \bar{x}_3 Y_2 \vee \bar{x}_2 x_3 Y_3 \vee x_2 Y_4.$$

$$Y_3 \rightarrow x_1 x_3 Y_3 \vee x_1 \bar{x}_3 Y_2 \vee \bar{x}_1 Y_4.$$

$$Y_4 \rightarrow Y_k.$$

Представление формулы перехода в виде  $Y_i \rightarrow x_l A_l \vee \bar{x}_l B$ , где  $x_l \in \{x_1, \dots, x_L\}$ , а  $A$  и  $B$  – подформулы перехода не зависящие от  $x_l$ , носит название разложения формулы перехода по переменной  $x_l$ . Приведем пример разложения формулы перехода для оператора  $Y_1$  по переменной  $x_1$ :



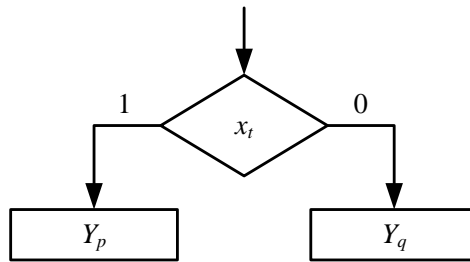
$$\begin{aligned}
 Y_1 &\rightarrow x_1 Y_2 \vee \bar{x}_1 \bar{x}_2 \bar{x}_3 Y_2 \vee \bar{x}_1 \bar{x}_2 x_3 Y_3 \vee \bar{x}_1 x_2 Y_4 = \\
 &= x_1 Y_2 \vee \bar{x}_1 (\bar{x}_2 \bar{x}_3 Y_2 \vee \bar{x}_2 x_3 Y_3 \vee x_2 Y_4) = \\
 &= x_1 Y_2 \vee \bar{x}_1 (\bar{x}_2 (\bar{x}_3 Y_2 \vee x_3 Y_3) \vee x_2 Y_4),
 \end{aligned}$$

т.е. произвели разложение по  $[x_1, x_2, x_3]$ .

Разложение нужно производить до тех пор, пока внутри самых внутренних скобок не окажется выражение вида:

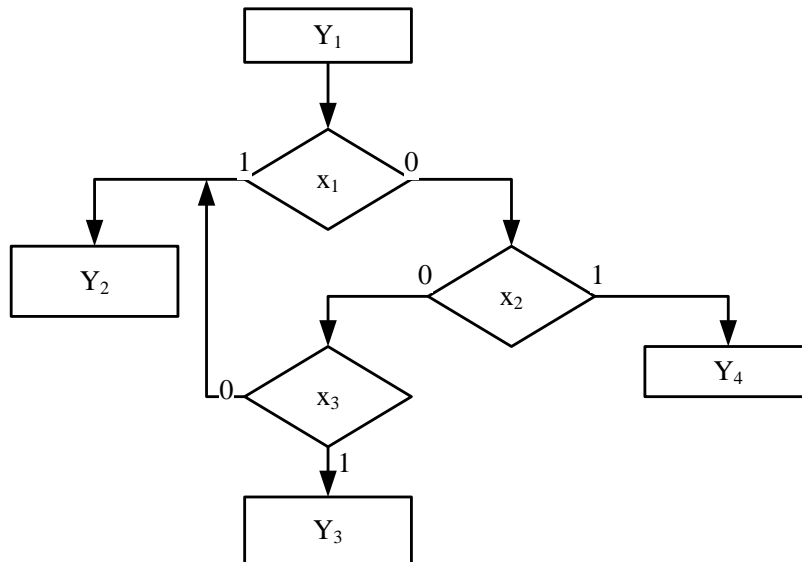
$$(x_t Y_p \vee \bar{x}_t Y_q), \quad (**)$$

которому однозначно соответствует следующий фрагмент ГСА



Полученная в результате формула перехода называется скобочной формулой перехода, а система таких формул - системой скобочных формул перехода (ССкФП).

По скобочному виду для оператора  $Y_1$  строим фрагмент ГСА:



Мы получили подграф для случая разложения оператора  $Y_1$  в последовательности переменных  $x_1, x_2, x_3$ .

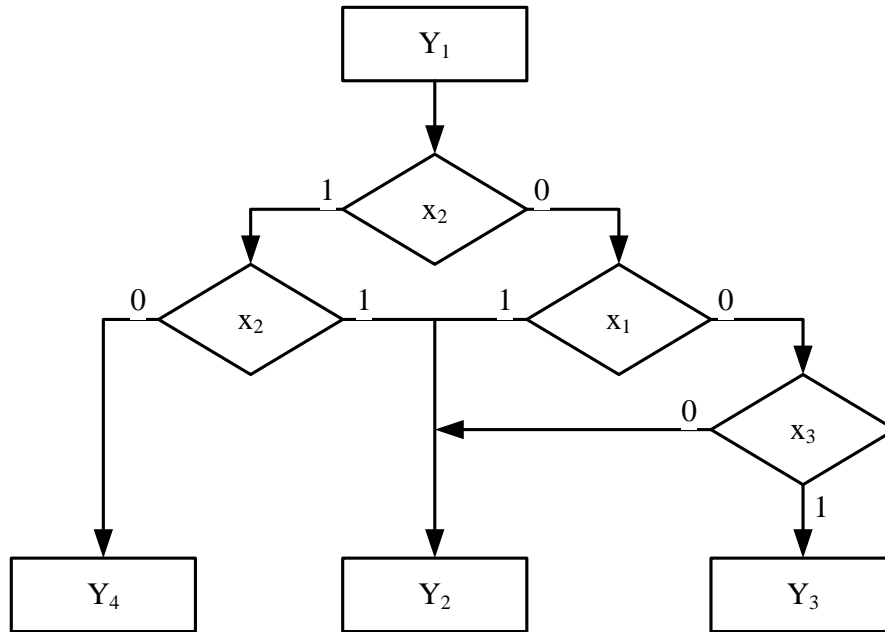
Если какие-то члены формулы перехода не зависят от  $x_l$ , то при разложении по  $x_l$  необходимо сначала умножить их на выражение  $(x_l \vee \bar{x}_l)$ . Таким образом, любая формула перехода может быть разложена по любой входящей в нее переменной. Если разложить ту же формулу перехода в

другой последовательности переменных  $x$ , то получим новую скобочную форму для формулы перехода  $Y_1$ .

Сделаем разложение формулы перехода для оператора  $Y_1$  в последовательности  $x_2, x_1, x_3$ , принимая во внимание, что  $(x_2 \vee \bar{x}_2) = 1$

$$\begin{aligned} Y_1 &\rightarrow x_1 x_2 Y_2 \vee x_1 \bar{x}_2 Y_2 \vee \bar{x}_1 \bar{x}_2 \bar{x}_3 Y_2 \vee \bar{x}_1 \bar{x}_2 x_3 Y_3 \vee \bar{x}_1 x_2 Y_4 = \\ &= x_2 (x_1 Y_2 \vee \bar{x}_1 Y_4) \vee \bar{x}_2 (x_1 Y_2 \vee \bar{x}_1 \bar{x}_3 Y_2 \vee \bar{x}_1 x_3 Y_3) = \quad . \\ &= x_2 (x_1 Y_2 \vee \bar{x}_1 Y_4) \vee \bar{x}_2 (x_1 Y_2 \vee \bar{x}_1 (\bar{x}_3 Y_2 \vee x_3 Y_3)) \end{aligned}$$

По полученному скобочному виду для оператора  $Y_1$  строим фрагмент ГСА:



Нетрудно видеть, что фрагменты ГСА, соответствующие различным разложениям формулы перехода  $Y_1$  приводят к различным подграфам. Более того, оказывается, что минимальность ГСА зависит от «удачного» разложения всей системы формул перехода, поскольку желательно при этом разложении максимизировать число подобных членов.

### 3.4. Матричные схемы алгоритмов

Пусть ГСА  $\Gamma$  имеет начальную вершину  $Y_0$ , конечную -  $Y_k$  и  $T$  операторных вершин с записанными в них различными операторами  $Y_1, \dots, Y_T$ .

Матричная схема алгоритмов (МСА)  $M$ , соответствующая ГСА  $\Gamma$ , есть квадратная матрица, строки которой отмечены символами  $Y_0, Y_1, \dots, Y_T$ , а столбцы – символами  $Y_1, \dots, Y_T, Y_k$ .

В этой матрице на пересечении строки  $Y_i$  и столбца  $Y_j$  стоит функция перехода  $\alpha_{ij}$  из оператора  $Y_i$  к оператору  $Y_j$ , т.е.

	$Y_j$	
$Y_i$	$\alpha_{ij}$	

Пример МСА, соответствующей ГСА, приведенной выше.

	$Y_1$	$Y_2$	$Y_3$	$Y_4$	$Y_k$
$Y_0$	$x_1$			$\bar{x}_1$	
$Y_1$		$x_1$ $\bar{x}_1\bar{x}_2\bar{x}_3$	$\bar{x}_1\bar{x}_2x_3$	$\bar{x}_1x_2$	
$Y_2$		$\bar{x}_2\bar{x}_3$	$\bar{x}_2x_3$	$x_2$	
$Y_3$		$x_1\bar{x}_3$	$x_2x_3$	$\bar{x}_1$	
$Y_4$					1

### 3.5. Учет распределения сдвигов

Пусть задана матричная схема алгоритма (МСА)

	$Y_1$	$Y_2$	$Y_3$	$Y_4$	$Y_5$	$Y_6$	$Y_k$
$Y_0$	$\bar{x}_2x_1$			$\frac{x_2\bar{x}_1}{x_2x_1}$	$x_2x_1$		
$Y_1$			$x_2x_1$				$\bar{x}_2$ $x_2\bar{x}_1$
$Y_2$	$\bar{x}_2x_1$				$\frac{x_2}{x_2x_1}$		
$Y_3$				$\bar{x}_1$	$x_1$		
$Y_4$						$x_2x_1x_3$	$\bar{x}_2$ $x_2\bar{x}_1$ $x_2x_1\bar{x}_3$
$Y_5$		$x_1$					$\bar{x}_1$
$Y_6$							1

Если каждому оператору  $Y_i$  поставлено в соответствие множество  $B_i$  ( $Y_i \rightarrow B_i$ ) двоичных переменных, которые могут изменяться в процессе выполнения оператора  $Y_i$ , то говорят, что задано распределение сдвигов.

Если каждая их двоичных переменных (логических условий) может изменяться любым оператором  $Y_i$ , то такое РС называется универсальным. Если  $B_i=0$  для любого оператора  $Y_i$ , то такое распределение сдвигов называется пустым.

Пусть для рассматриваемой МСА задано следующее распределение сдвигов:

$$\begin{aligned} Y_0 \rightarrow B_0 &= \{x_1, x_2, x_3\} & ; & Y_4 \rightarrow B_4 = \{x_2\}; \\ Y_1 \rightarrow B_1 &= \{x_2, x_3\}; & Y_5 \rightarrow B_5 &= \{x_1, x_2, x_3\}; \\ Y_2 \rightarrow B_2 &= \{x_2\}; & Y_6 \rightarrow B_6 &= \{x_2\}; \\ Y_3 \rightarrow B_3 &= \{x_1, x_2, x_3\}; & Y_k \rightarrow B_7 &= \{x_1, x_2, x_3\}. \end{aligned}$$

Из анализа столбца  $Y_1$  видно, что в неравных нулю функциях перехода переменная  $x_1$  всегда встречается без инверсии. Это значит, что  $Y_1$  может выполняться только при  $x_1 = 1$ . Обращаясь к РС, видим, что  $x_1 \notin B_1$ , т.е.  $x_1$  не изменяется во время выполнения  $Y_1$ . Поэтому после выполнения  $Y_1 x_1$  остается равным 1. И тогда в строке  $Y_1$  переменную  $x_1$  можно заменить на 1, а  $\bar{x}_1$  на 0. Аналогичной замены  $x_2$  на 0 сделать нельзя, т.к.  $x_2 \in B_1$  и может изменяться в процессе выполнения  $Y_1$ .

Продолжаем аналогичным образом анализ всех столбцов. В результате оказывается, что все функции перехода  $\alpha_{i6} = 0$ , то есть оператор  $Y_6$  никогда не выполняется. Следовательно, строку и столбец  $Y_6$  из МСА можно удалить.

МСА после минимизации с учетом РС.

	$Y_1$	$Y_2$	$Y_3$	$Y_4$	$Y_5$	$Y_k$
$Y_0$	$\bar{x}_2 x_1$			$\frac{x_2 \bar{x}_1}{x_2 x_1}$	$x_2 x_1$	
$Y_1$			$x_2$			$\bar{x}_2$
$Y_2$	$\bar{x}_2$				$x_2$	
$Y_3$				$\bar{x}_1$	$x_1$	
$Y_4$						$1$
$Y_5$		$x_1$				$\bar{x}_1$

### 3.6. Объединение граф-схем алгоритмов

При описании алгоритма работы сложной системы часто представляется целесообразным построение нескольких ГСА, каждая из

которых описывает часть общего поведения системы (частные ГСА). Например, при проектировании центрального устройства ЭВМ проще построить граф-схемы выполнения отдельных операций. Очевидно, что в этих ГСА некоторые операторные и условные вершины будут одинаковыми, и если для каждой ГСА синтезировать отдельный автомат управления, то результат синтеза может быть далеко не оптимальным.

В связи с этим возникает задача объединения частных ГСА в единую граф-схему, решение которой позволит минимизировать суммарное число операторных и условных вершин.

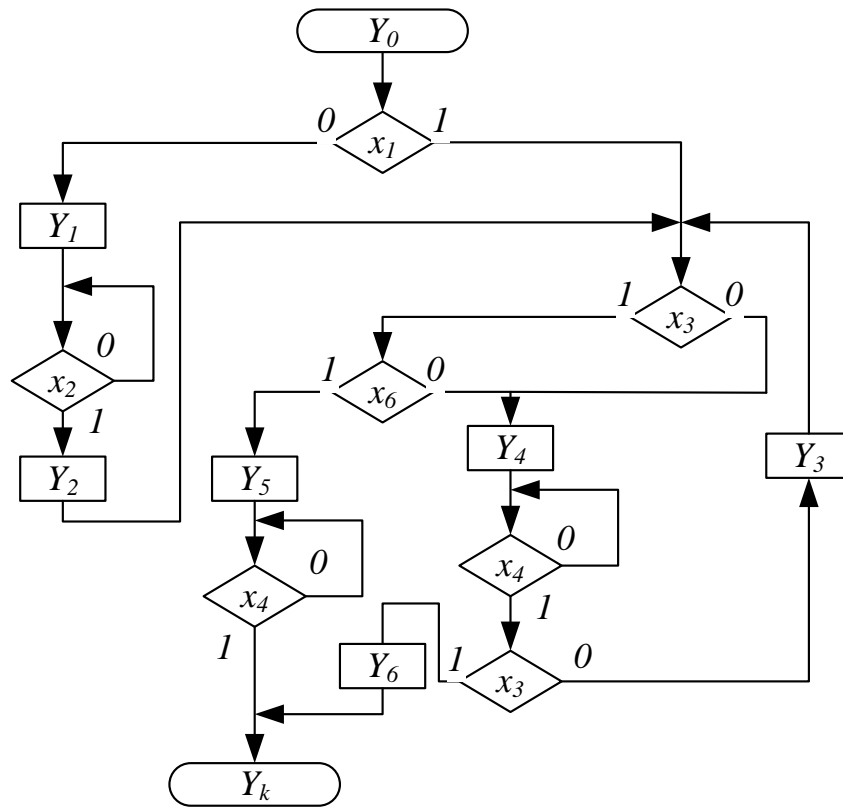
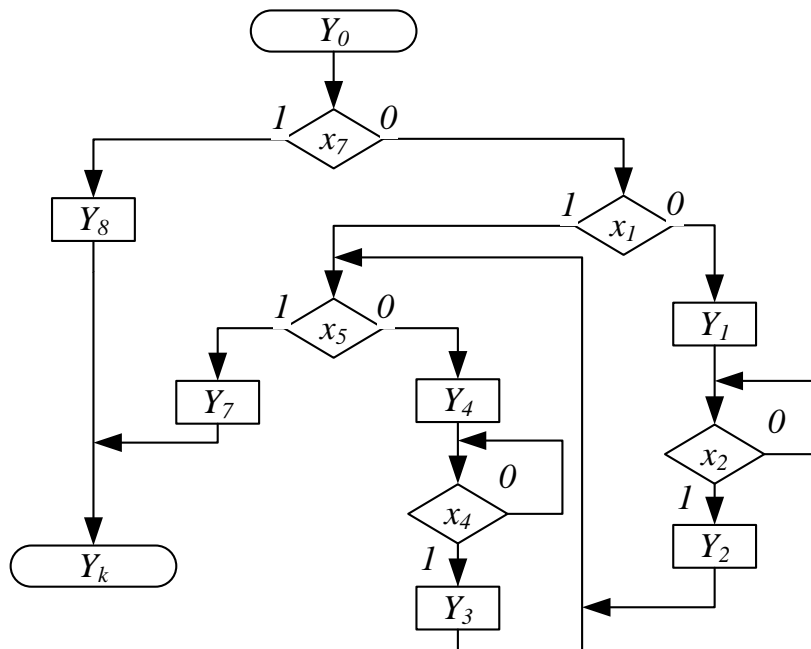
Пусть имеются ГСА  $\Gamma_1, \dots, \Gamma_q, \dots, \Gamma_Q$ , в каждой из которых операторы не повторяются, но среди различных граф-схем могут встречаться одинаковые операторы. Требуется построить объединенную ГСА, которая равносильна каждой из ГСА  $\Gamma_q$  при тех условиях, когда должна выполняться эта ГСА.

Обычно решение задачи объединения разбивается на ряд этапов:

1. Для каждой ГСА  $\Gamma_q$  строится соответствующая ей МСА  $M_q$  ( $q = 1, \dots, Q$ ).
2. Каждая МСА  $M_q$  кодируется вектором  $((e_{q1}, \dots, e_{qn}, \dots, e_{qN})$ , где  $e_{qn} \in \{0, 1\}, N = \lceil \log_2 Q \rceil$ ; а  $\lceil \cdot \rceil$  - как и ранее, означает наименьшее целое число, больше чем  $a$  или равное ему, если  $a$  - целое.
3. Каждой МСА  $M_q$  ставится в соответствие конъюнкция  $P_1^{e_{q1}} \dots P_n^{e_{qn}} \dots P_N^{e_{qN}}$ , где  $(e_{q1}, \dots, e_{qn}, \dots, e_{qN})$  код МСА  $M_q$  ( $P_n^0 = \bar{P}_n$ ,  $P_n^1 = P_n$ ).
4. Строится объединенная МСА  $M$ , строки и столбцы которой отмечены всеми операторами, входящими в объединение множеств операторов МСА  $M_1, \dots, M_Q$ . Элементы  $\alpha_{ij}$  МСА  $M$  равны  $\bigcup_{q=1}^Q (\alpha_{ij})_q P_q$ , где  $(\alpha_{ij})_q$  - элемент МСА  $M_q$ , стоящий на пересечении строки  $Y_i$  и столбца  $Y_j$ .
5. Поскольку  $P_q$  ( $q = 1, \dots, Q$ ) равна единице все время пока МСА  $M$  "работает" как МСА  $M_q$ , ни один оператор не меняет значения переменных  $P_1, \dots, P_N$  (относительно этих переменных имеем пустое распределение сдвигов), в связи с чем МСА  $M$  в некоторых случаях можно упростить. В результате получается минимизированная с учетом распределения сдвигов МСА  $M^*$ .

Рассмотрим объединение граф-схем алгоритмов на *примере*.

Пусть заданы три ГСА  $\Gamma_1$ , ГСА  $\Gamma_2$  и ГСА  $\Gamma_3$ , которые необходимо объединить.

ГСА  $\Gamma_1$ ГСА  $\Gamma_2$ 



$M_3$	$Y_1$	$Y_2$	$Y_3$	$Y_4$	$Y_7$	$Y_k$
$Y_0$	$\bar{x}_1$			$x_1\bar{x}_5$	$x_1x_5$	
$Y_1$		$x_2$				
$Y_2$				$\bar{x}_5$	$x_5$	
$Y_3$				$\bar{x}_5$	$x_5$	
$Y_4$			$x_4$			
$Y_7$						1

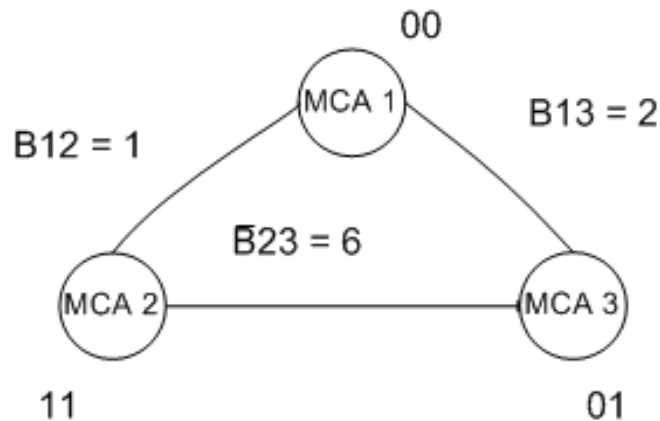
При кодировании частных МСА  $M_q$  определим коэффициент схожести между матрицами  $M_\lambda$  и  $M_q$ ,  $(\lambda, q) \in \{1, 2, \dots, Q\}$ , как  $B_{\lambda,q} = \sum \alpha_{ij}$ .

Здесь  $\alpha_{ij}$  - формула перехода от оператора  $Y_i$  к  $Y_j$  в матрицах  $M_\lambda$  и  $M_q$ .  
Для примера

$$B_{12} = 1;$$

$$B_{13} = 1 + 1 = 2;$$

$$B_{23} = 1 + 1 + 1 + 1 + 1 + 1 = 6.$$



Соседними кодами закодируем те МСА, которые имеют наибольшую связность, т.е.  $MCA_1 - 00$ ,  $MCA_2 - 11$ ,  $MCA_3 - 01$ .

Каждой МСА -  $M_1, M_2, M_3$  поставим в соответствие конъюнкцию, т.е.

$$MCA_1 \rightarrow \bar{P}_1\bar{P}_2; MCA_2 \rightarrow P_1P_2; MCA_3 \rightarrow \bar{P}_1P_2.$$

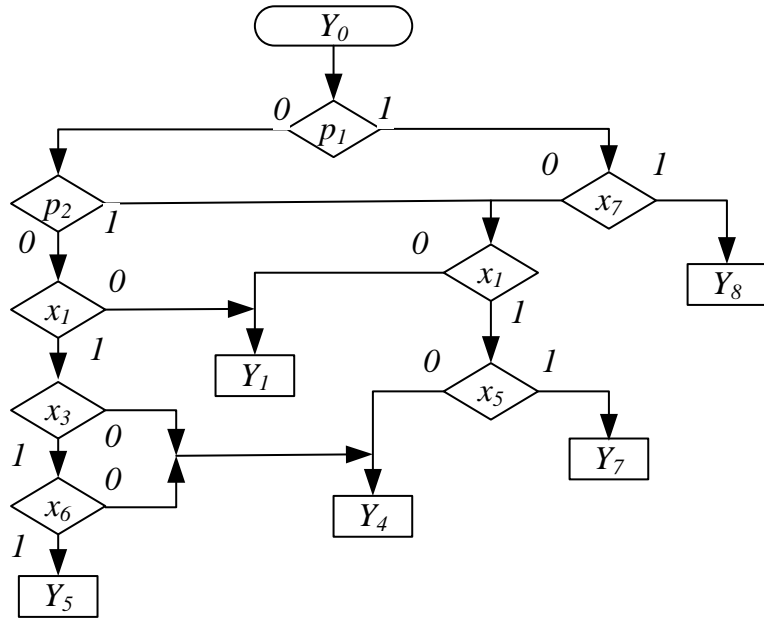
Построим объединенную МСА  $M$ , строки и столбцы которой отмечены всеми операторами, входящими в объединение множеств операторов МСА  $M_1, M_2$  и  $M_3$ .



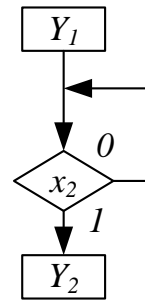
$M$	$Y_1$	$Y_2$	$Y_3$	$Y_4$	$Y_5$	$Y_6$	$Y_7$	$Y_8$	$Y_k$
$Y_0$	$\frac{\overline{P_1 P_2} \overline{x_1}}{P_1 P_2 \overline{x_7} \overline{x_1}}$ $\frac{\overline{P_1 P_2} \overline{x_1}}{P_1 P_2 \overline{x_1}}$			$\frac{\overline{P_1 P_2} x_1 \overline{x_3}}{P_1 P_2 x_1 x_3 \overline{x_6}}$ $\frac{P_1 P_2 \overline{x_7} x_1 \overline{x_5}}{P_1 P_2 x_1 x_5}$	$\overline{P_1 P_2} x_1 x_3 x_6$		$\frac{P_1 P_2 \overline{x_7} x_1 x_5}{P_1 P_2 x_1 x_5}$	$P_1 P_2 x_7$	
$Y_1$		$\frac{P_1 P_2 x_2}{P_1 P_2 x_2}$ $\frac{P_1 P_2 x_2}{P_1 P_2 x_2}$							
$Y_2$				$\frac{\overline{P_1 P_2} \overline{x_3}}{P_1 P_2 x_3 \overline{x_6}}$ $\frac{P_1 P_2 \overline{x_5}}{P_1 P_2 \overline{x_5}}$	$\overline{P_1 P_2} x_3 x_6$		$\frac{P_1 P_2 x_5}{P_1 P_2 x_5}$		
$Y_3$				$\frac{P_1 P_2 x_3}{P_1 P_2 x_3 \overline{x_6}}$ $\frac{P_1 P_2 \overline{x_5}}{P_1 P_2 \overline{x_5}}$	$\overline{P_1 P_2} x_3 x_6$		$\frac{P_1 P_2 x_5}{P_1 P_2 x_5}$		
$Y_4$			$\frac{\overline{P_1 P_2} x_4 \overline{x_3}}{P_1 P_2 x_4}$ $\frac{P_1 P_2 x_4}{P_1 P_2 x_4}$			$\overline{P_1 P_2} x_4 x_3$			
$Y_5$									$\overline{P_1 P_2} x_4$
$Y_6$									$\overline{P_1 P_2}$
$Y_7$									$\frac{P_1 P_2}{P_1 P_2}$
$Y_8$									$P_1 P_2$

Осуществим минимизацию объединенной МСА  $M$  с учетом распределения сдвигов. После этого запишем систему формул перехода и приведем их к скобочному виду.

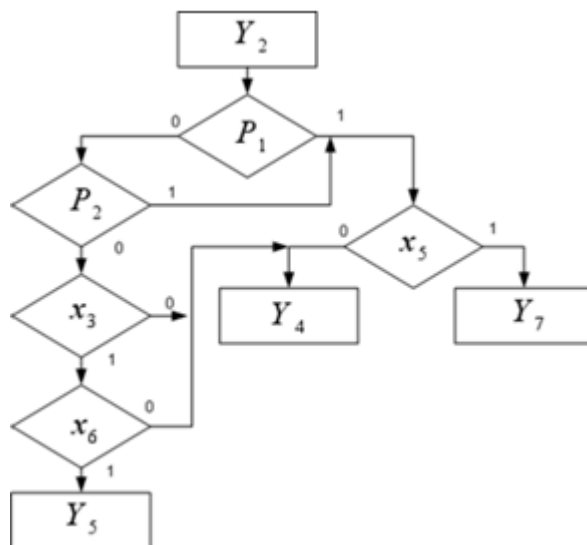
$$\begin{aligned}
Y_0 &= \overline{P_1} \overline{P_2} \overline{x_1} Y_1 \vee P_1 P_2 \overline{x_7} \overline{x_1} Y_1 \vee \overline{P_1} \overline{P_2} \overline{x_1} Y_1 \vee \overline{P_1} \overline{P_2} \overline{x_1} \overline{x_3} Y_4 \vee \overline{P_1} \overline{P_2} \overline{x_1} \overline{x_3} \overline{x_6} Y_4 \vee \\
&\vee P_1 P_2 \overline{x_7} \overline{x_1} \overline{x_5} Y_4 \vee \overline{P_1} \overline{P_2} \overline{x_1} \overline{x_5} Y_4 \vee \overline{P_1} \overline{P_2} \overline{x_1} \overline{x_3} \overline{x_6} Y_5 \vee P_1 P_2 \overline{x_7} \overline{x_1} \overline{x_5} Y_7 \vee \overline{P_1} \overline{P_2} \overline{x_1} \overline{x_5} Y_7 \vee \\
&\vee P_1 P_2 x_7 Y_8 = \overline{P_1} (\overline{P_2} \overline{x_1} Y_1 \vee P_2 \overline{x_1} Y_1 \vee \overline{P_2} \overline{x_1} \overline{x_3} Y_4 \vee \overline{P_2} \overline{x_1} \overline{x_3} \overline{x_6} Y_4 \vee P_2 \overline{x_1} \overline{x_5} Y_4 \vee \overline{P_2} \overline{x_1} \overline{x_3} \overline{x_6} Y_5 \vee \\
&\vee P_2 \overline{x_1} \overline{x_5} Y_7) \vee P_1 P_2 (\overline{x_7} \overline{x_1} Y_1 \vee \overline{x_7} \overline{x_1} \overline{x_5} Y_4 \vee \overline{x_7} \overline{x_1} \overline{x_5} Y_7 \vee x_7 Y_8) = \\
&= \overline{P_1} (\overline{P_2} (\overline{x_1} Y_1 \vee \overline{x_1} \overline{x_3} Y_4 \vee \overline{x_1} \overline{x_3} \overline{x_6} Y_4 \vee \overline{x_1} \overline{x_3} \overline{x_6} Y_5) \vee P_2 (\overline{x_1} Y_1 \vee \overline{x_1} \overline{x_5} Y_4 \vee \overline{x_1} \overline{x_5} Y_7)) \vee \\
&\vee P_1 \overline{P_2} (\overline{x_7} (\overline{x_1} Y_1 \vee \overline{x_1} \overline{x_5} Y_4 \vee \overline{x_1} \overline{x_5} Y_7) \vee x_7 Y_8) = \overline{P_1} (\overline{P_2} (\overline{x_1} Y_1 \vee \overline{x_1} (\overline{x_3} Y_4 \vee \\
&\vee \overline{x_3} \overline{x_6} Y_4 \vee \overline{x_3} \overline{x_6} Y_5) \vee P_2 (\overline{x_1} Y_1 \vee \overline{x_1} (\overline{x_5} Y_4 \vee \overline{x_5} Y_7))) \vee P_1 (\overline{x_7} (\overline{x_1} Y_1 \vee \overline{x_1} (\overline{x_5} Y_4 \vee \overline{x_5} Y_7)) \vee \\
&\vee x_7 Y_8) = \overline{P_1} (\overline{P_2} (\overline{x_1} Y_1 \vee \overline{x_1} (\overline{x_3} Y_4 \vee \overline{x_3} (\overline{x_6} Y_4 \vee \overline{x_6} Y_5)))) \vee P_2 (\overline{x_1} Y_1 \vee \\
&\vee \overline{x_1} (\overline{x_5} Y_4 \vee \overline{x_5} Y_7))) \vee P_1 (\overline{x_7} (\overline{x_1} Y_1 \vee \overline{x_1} (\overline{x_5} Y_4 \vee \overline{x_5} Y_7)) \vee x_7 Y_8)
\end{aligned}$$



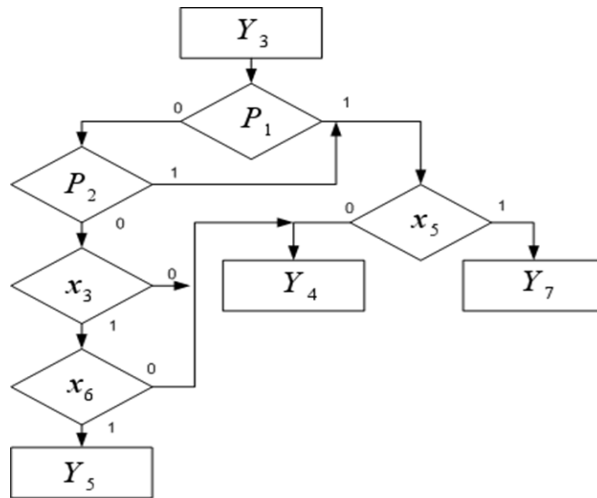
$$Y_1 = \bar{P}_1 \bar{P}_2 x_2 Y_2 \vee P_1 P_2 x_2 Y_2 \vee \bar{P}_1 P_2 x_2 Y_2 \vee (P_1 \bar{P}_2 x_2 Y_2) = x_2 Y_2$$



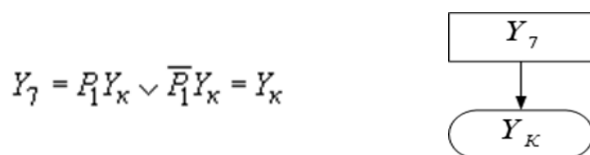
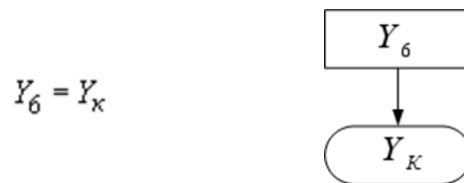
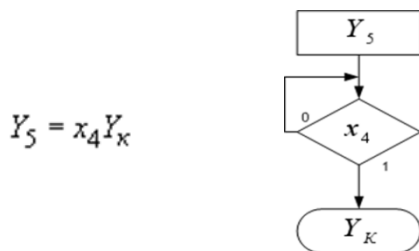
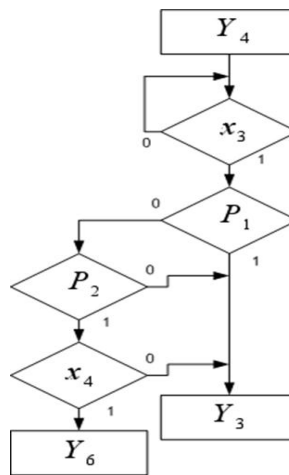
$$\begin{aligned}
 Y_2 &= \bar{P}_1 \bar{P}_2 \bar{x}_3 Y_4 \vee \bar{P}_1 \bar{P}_2 x_3 \bar{x}_6 Y_4 \vee \bar{P}_1 P_2 \bar{x}_5 Y_4 \vee \bar{P}_1 P_2 x_5 Y_4 \vee \bar{P}_1 \bar{P}_2 x_3 x_6 Y_5 \vee \bar{P}_1 P_2 x_5 Y_7 \vee \bar{P}_1 P_2 x_5 Y_7 = \\
 &= \bar{P}_1 (\bar{P}_2 \bar{x}_3 Y_4 \vee \bar{P}_2 x_3 \bar{x}_6 Y_4 \vee P_2 \bar{x}_5 Y_4 \vee P_2 x_5 Y_7 \vee \bar{P}_2 x_3 x_6 Y_5) \vee \\
 &\vee P_1 P_2 (\bar{x}_5 Y_4 \vee x_5 Y_7) = \bar{P}_1 (\bar{P}_2 (\bar{x}_3 Y_4 \vee x_3 \bar{x}_6 Y_4 \vee x_3 x_6 Y_5) \vee P_2 (\bar{x}_5 Y_4 \vee x_5 Y_7)) \vee P_1 (\bar{x}_5 Y_4 \vee x_5 Y_7) = \\
 &= \bar{P}_1 (\bar{P}_2 (\bar{x}_3 Y_4 \vee x_3 (\bar{x}_6 Y_4 \vee x_6 Y_5) \vee P_2 (\bar{x}_5 Y_4 \vee x_5 Y_7)) \vee P_1 (\bar{x}_5 Y_4 \vee x_5 Y_7))
 \end{aligned}$$



$$Y_3 = \overline{P_1} \overline{P_2} x_3 Y_4 \vee \overline{P_1} \overline{P_2} x_3 \overline{x_6} Y_4 \vee \overline{P_1} \overline{P_2} x_3 x_6 Y_5 \vee P_1 \overline{P_2} \overline{x_5} Y_4 \vee \overline{P_1} \overline{P_2} \overline{x_5} Y_4 \vee P_1 \overline{P_2} x_5 Y_7 \vee \overline{P_1} \overline{P_2} x_5 Y_7 = \overline{P_1} (\overline{P_2} \overline{x_3} Y_4 \vee \overline{P_2} x_3 \overline{x_6} Y_4 \vee \overline{P_2} x_3 x_6 Y_5 \vee P_2 x_5 Y_4 \vee P_2 x_5 Y_7) \vee P_1 \overline{P_2} (\overline{x_5} Y_4 \vee x_5 Y_7) = \overline{P_1} (\overline{P_2} (\overline{x_3} Y_4 \vee x_3 (\overline{x_6} Y_4 \vee x_6 Y_5)) \vee P_2 (\overline{x_5} Y_4 \vee x_5 Y_7)) \vee P_1 (\overline{x_5} Y_4 \vee x_5 Y_7)$$



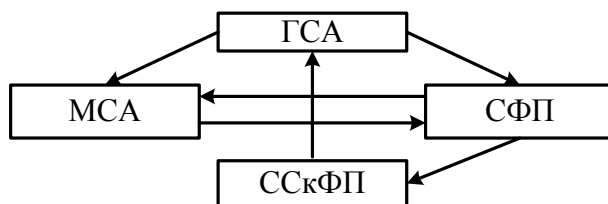
$$Y_4 = \overline{P_1} \overline{P_2} x_4 \overline{x_3} Y_3 \vee P_1 \overline{P_2} x_4 Y_3 \vee \overline{P_1} \overline{P_2} x_4 Y_3 \vee \overline{P_1} \overline{P_2} x_4 x_3 Y_6 = x_4 (\overline{P_1} (\overline{P_2} (\overline{x_3} Y_3 \vee x_3 Y_6) \vee P_2 Y_3) \vee P_1 Y_3) = x_4 (\overline{P_1} (\overline{P_2} (\overline{x_3} Y_3 \vee x_3 Y_6) \vee P_2 Y_3) \vee P_1 Y_3)$$



### 3.7. Взаимосвязь алгоритмов

Таким образом, микропрограмма может быть представлена в виде ГСА, СФП, ССкФП или МСА.

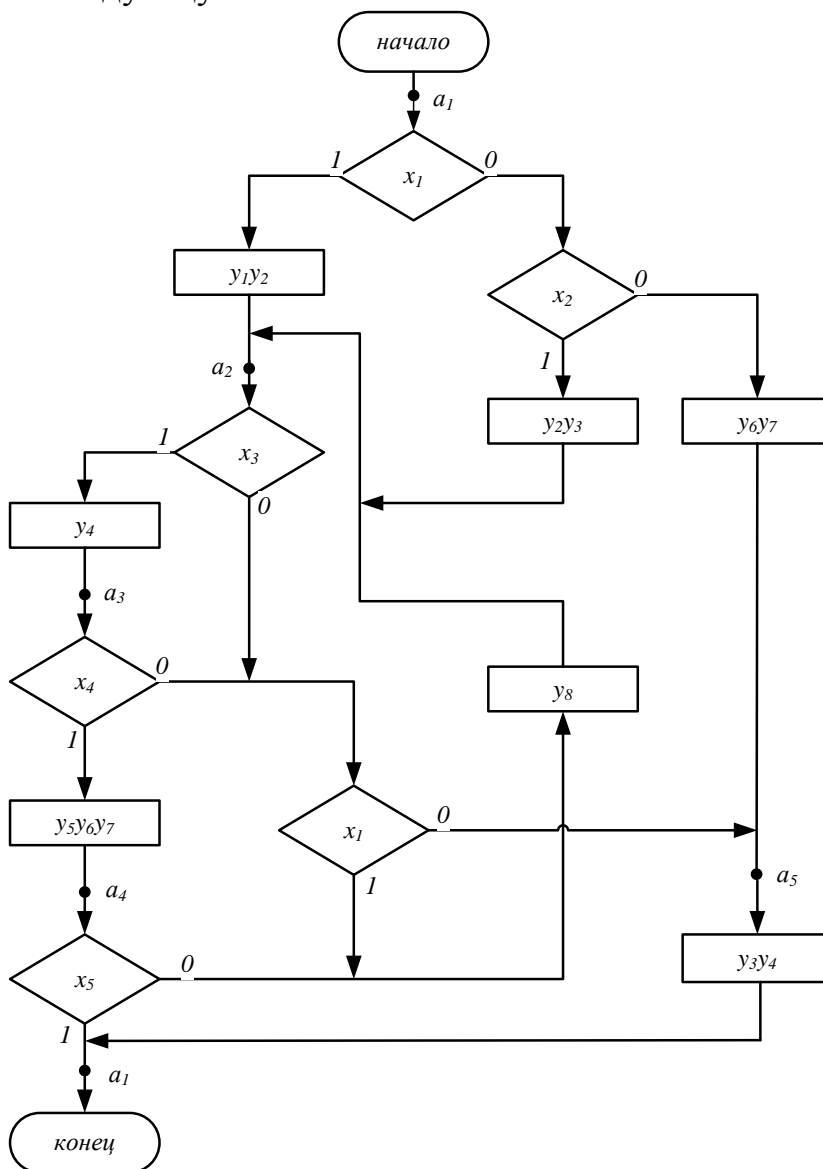
Их взаимосвязи и возможные преобразования, отражены на рисунке ниже.



#### 4. Синтез микропрограммного автомата по граф-схеме алгоритма (на примере автомата Мили)

Конечный автомат, реализующий микропрограмму работы дискретного устройства, называется микропрограммным автоматом (МПА).

Изобразим следующую ГСА.



Синтез МПА по ГСА осуществляется в два этапа.

А. Получение отмеченной ГСА.

1. Вход вершины, следующей за начальной, отмечаем символом  $a_1$ .
2. Вход конечной вершины также отмечается символом  $a_1$ .
3. Входы вершин (условных и операторных), следующих за операторными, отмечаются символами  $a_2, a_3$  и т.д.
4. Если вход вершины отмечается, то не более одного раза.

В. Составление путей перехода.

Рассмотрим пути следующих видов:

$$a_m x_{m1}^{e_{m1}} \dots x_{mR}^{e_{mR}} Y_t a_s, \quad (1)$$

где  $e_{mr} \in \{0,1\}; x_{mr}^0 = \bar{x}_{mr}, x_{mr}^1 = x_{mr}$ .

Это путь из отметки  $a_m$  в отметку  $a_s$ , проходящий через конечное множество условных вершин и операторную вершину  $Y_t$ . В путях перехода вида (1) не исключен случай  $R=0$ , т.е.  $a_m Y_t a_s$ .

$$a_m x_{m1}^{e_{m1}} \dots x_{mR}^{e_{mR}} a_1. \quad (2)$$

Это путь из отметки  $a_m$  в отметку  $a_1$ , проходящий только через конечное множество условных вершин.

Пути вида (1) и (2) называются путями переходов ГСА.

Для приведенной ГСА пути переходов будут выглядеть следующим образом.

$$\begin{array}{ll} a_1 x_1 (y_1 y_2) a_2 & a_3 x_4 (y_5 y_6 y_7) a_4 \\ a_1 \bar{x}_1 x_2 (y_1 y_3) a_2 & a_3 \bar{x}_4 x_1 (y_8) a_2 \\ a_1 \bar{x}_1 x_2 (y_1 y_3) a_5 & a_3 \bar{x}_4 \bar{x}_1 (y_3 y_4) a_1 \\ a_2 x_3 (y_4) a_3 & a_4 x_5 a_1 \\ a_2 \bar{x}_3 x_1 (y_3) a_2 & a_4 \bar{x}_5 (y_8) a_2 \\ a_2 \bar{x}_3 x_1 (y_3 y_4) a_1 & a_5 (y_3 y_4) a_1. \end{array}$$

#### 4.1. Синтез графа микропрограммного автомата

Отметкам  $a_1, a_2, \dots$  ГСА, полученным на этапе А, поставим в соответствие состояния МПА (на графе отметки соответствуют вершинам графа).

Каждому пути вида (1) поставим в соответствие переход МПА из состояния  $a_m$  в состояние  $a_s$  под воздействием входного набора

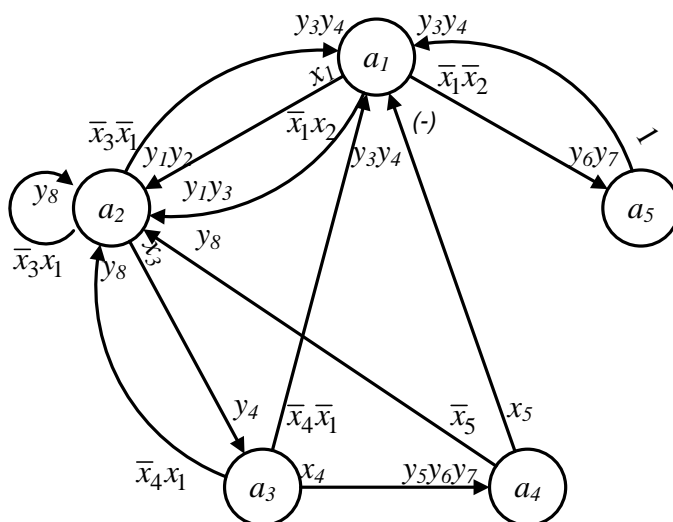
$$X(a_m, a_s) = \bigcap_{r=1}^R x_{mr}^{e_{mr}}$$

поступающего на вход автомата, с выдачей микрокоманды  $Y_t$ .

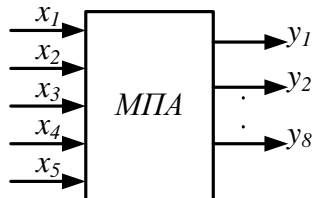
Каждому пути перехода вида (2) поставим в соответствие переход автомата из состояния  $a_m$  в состояние  $a_1$  под действием входного набора

$$X(a_m, a_1) = \bigcap_{r=1}^R x_{mr}^{e_{mr}}$$

с выдачей пустой микрокоманды  $Y_0$ . Пустая микрокоманда - это микрокоманда, у которой число микроопераций равно нулю.



Для примера, входными сигналами автомата являются пятикомпонентные наборы, состоящие из 0 и 1. Выходными сигналами являются восьмикомпонентные наборы, состоящие из 0 и 1.



Переход вида  $a_2\bar{x}_3\bar{x}_1(y_3y_4)a_1$  означает, что автомат должен перейти из состояния  $a_2$  в состояние  $a_1$  под воздействием всех наборов входных сигналов, которые покрываются кубом

$0$	$d$	$0$	$d$	$d$	$0$	$0$	$0$
$x_1$	$x_2$	$x_3$	$x_4$	$x_5$	$y_1$	$y_2$	$y_3$
с выдает на этом переходе выходной набор							
$0$	$0$	$1$	$1$	$0$	$0$	$0$	$0$
$y_1$	$y_2$	$y_3$	$y_4$	$y_5$	$y_6$	$y_7$	$y_8$

Переход из  $a_5$  в  $a_1$  осуществляется под воздействием всех наборов входных сигналов, которые покрываются кубом  $dddd$ , т.е. под воздействием любого входного набора. Пусть имеется следующая последовательность наборов

	$x_1$	$x_2$	$x_3$	$x_4$	$x_5$	
$a_1$	0	1	0	1	0	$y_1 y_3$
$a_2$	1	0	1	0	1	$y_4$
$a_3$	1	1	0	0	1	$y_8$
$a_2$	0	1	0	1	0	$y_3 y_4$
$a_1$	1	1	0	1	0	
	1	0	1	1	1	

Произведем «блуждание» по ГСА для данного набора. Получаем значение ГСА на этой последовательности наборов  $Y_0 (y_1 y_3) (y_4) (y_8) (y_3 y_4) Y_k$ .

Будем говорить, что МСА S реализует некоторую ГСА Г, если его реакции в состоянии  $a_i$  на всевозможных последовательностях наборов совпадают со значениями ГСА Г на тех же последовательностях (без учета начального  $Y_0$  и конечного  $Y_k$  операторов). Из рассмотренного способа построения МПА ясно, что он реализует исходную ГСА.

При большом числе состояний и большом числе переходов графический способ представления автомата теряет свою наглядность. При этом оказывается удобнее переходить к таблицам.

## 4.2. Таблицы переходов микропрограммного автомата

Различают следующие таблицы переходов МПА:

1. Структурные и не структурные.
2. Прямые и обратные.
3. С узлами и без узлов.

Для пояснения сути вопроса воспользуемся предыдущим примером. В таблице:

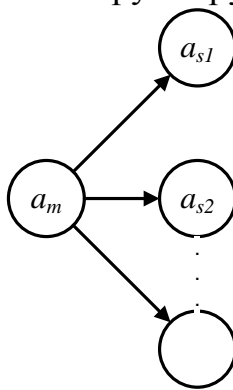
- $a_m$  - исходное состояние МПА;
- $K(a_m)$  - код исходного состояния;
- $a_s$  - состояние перехода;
- $K(a_s)$  - код состояния перехода;
- $X(a_m, a_s)$  - входной набор, под действием которого осуществляется переход из состояния  $a_m$  в состояние  $a_s$ ;
- $Y(a_m, a_s)$  - выходной набор, который должен выработаться на переходе МПА из состояния  $a_m$  в состояние  $a_s$ ;
- $F(a_m, a_s)$  - те сигналы функции возбуждения, которые необходимо выработать (с учетом типа триггера, на котором реализуется память автомата), чтобы перевести элементы памяти автомата в состояние, соответствующее  $K(a_s)$ ;
- $h$  - номер строки.

Таблица, содержащая столбцы 1, 3, 5 и 6, носит название таблицы переходов МПА.

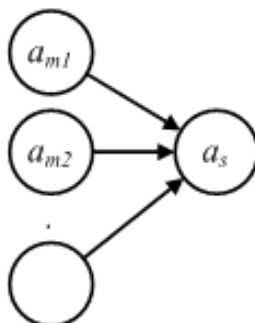
Таблица, содержащая все 7 столбцов, называется структурной таблицей переходов МПА.

$a_m$	$K(a_m)$	$a_s$	$K(a_s)$	$x_h$	$Y_h$	$F_h(D)$	$F_h(T)$	$F_h(JK)$	$F_h(RS)$	$h$
1	2	3	4	5	6	7	8	9	10	11
$a_1$	001	$a_2$	010	$x_1$	$y_1y_2$	$D_2$	$T_2T_3$	$J_2K_3$	$S_2R_3$	1
		$a_2$	010	$\bar{x}_1x_2$	$y_1y_3$	$D_2$	$T_2T_3$	$J_2K_3J_1$	$S_2R_3$	2
		$a_5$	101	$\bar{x}_1\bar{x}_2$	$y_6y_7$	$D_1D_3$	$T_1$	$J_2K_3J_1$	$S_1$	3
$a_2$	010	$a_3$	011	$x_3$	$y_4$	$D_2D_3$	$T_3$	$J_3$	$S_3$	4
		$a_2$	010	$\bar{x}_3x_1$	$y_8$	$D_2$	-	-	-	5
		$a_1$	001	$\bar{x}_3\bar{x}_1$	$y_3y_4$	$D_3$	$T_2T_3$	$K_2J_3$	$R_2S_3$	6
$a_3$	011	$a_4$	100	$x_4$	$y_6y_5y_7$	$D_1$	$T_2T_2T_3$	$J_1K_2K_3$	$S_1R_2R_3$	7
		$a_2$	010	$\bar{x}_4x_1$	$y_8$	$D_2$	$T_3$	$K_3$	$R_3$	8
		$a_1$	001	$\bar{x}_4\bar{x}_1$	$y_3y_4$	$D_3$	$T_2$	$K_2$	$R_2$	9
$a_4$	100	$a_1$	000	$x_5$	-	$D_3$	$T_1T_3$	$K_1J_3$	$R_1S_3$	10
		$a_2$	010	$\bar{x}_5$	$y_8$	$D_2$	$T_1T_2$	$K_1J_2$	$R_1S_2$	11
$a_5$	101	$a_1$	001	1	$y_3y_4$	$D_3$	$T_1$	$K_1$	$R_1$	12

В прямой таблице переходов МПА группируются переходы вида

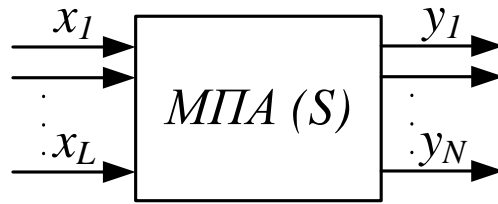


В обратной таблице переходов МПА выбирается состояние  $a_s$  и группируются переходы вида





### 4.3. Модель структурного автомата при построении его в виде таблицы переходов



В этом случае автомат также будет описываться шестеркой, но в отличие от абстрактного автомата, элементами множеств будут не абстрактные сигналы, а переменные:

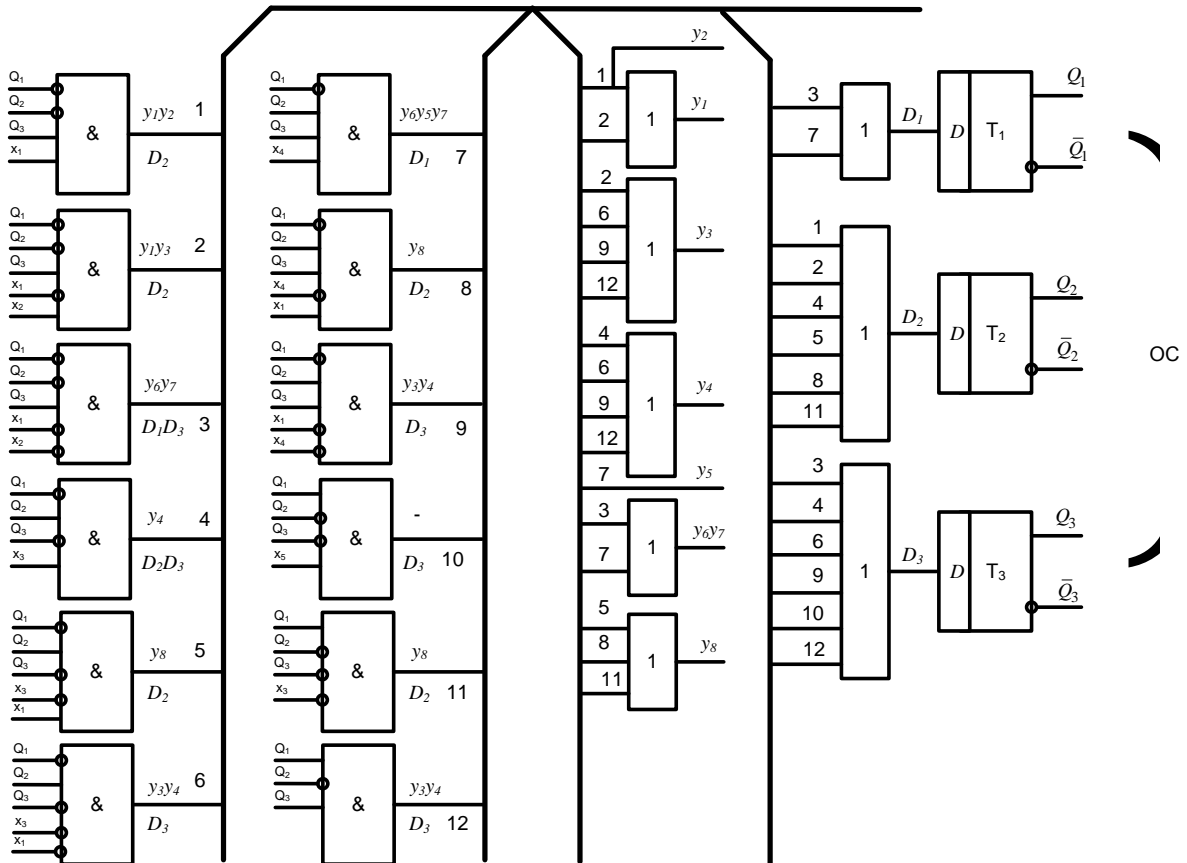
$$S = (A, X, Y, \delta, \lambda, a_1)$$

- $A = \{a_1, \dots, a_m\}$  - множество состояний,
- $X = \{x_1, \dots, x_L\}$  - множество входных переменных,
- $Y = \{y_1, \dots, y_N\}$  - множество выходных переменных,
- $\delta$  - функция переходов,
- $\lambda$  - функция выходов,
- $a_1$  - начальное состояние.

Для описания функций  $\delta$  и  $\lambda$  мы используем таблицу переходов МПА (столбцы 1, 3, 5, 6). Каждая строка этой таблицы имеет вид:  $| a_m / a_s | X_h / Y_h |$ .

Она содержит информацию о том, что автомат из состояния  $a_m$  переходит в состояние  $a_s$  под действием всех тех входных наборов, на которых конъюнкция  $X_h$  принимает значение, равное, т.е.  $X_h = 1$ . При этом на выходе автомата выдается один и тот же выходной набор, у которого компоненты, входящие в  $Y_h$ , равны 1, а остальные равны 0. Каждой строке структурной таблицы переходов МПА соответствует конъюнкция  $A_m X_h$ , где  $A_m$  – конъюнкция, соответствующая коду состояния  $a_m$ . Пример:  $A_1 X_1 = \bar{Q}_1 \bar{Q}_2 Q_3 x_1$ .

Ниже приведен пример построения функциональной схемы МПА сразу по прямой структурной таблице переходов (см. канонический метод структурного синтеза).



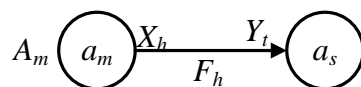
#### 4.4. Синтез автоматов с жесткой логикой

Предполагается, что задана функционально полная система логических элементов, в базе которых необходимо реализовать автомат. Будем считать, что цена логического элемента равна числу входов в этот элемент. Под ценой схемы будем понимать сумму цен логических элементов.

Минимизацию схем будем проводить по критерию цены. В отличие от матричной реализации МПА, где минимизируется площадь матрицы.

##### 4.4.1. Замечание о тактировании (синхронизации) автомата

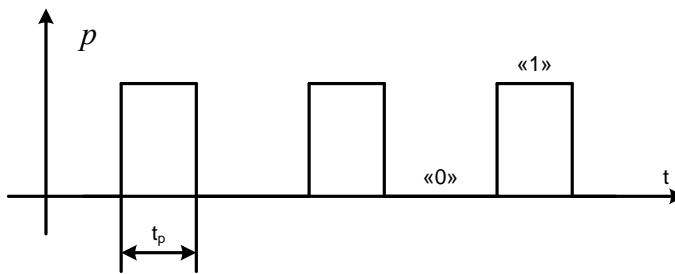
Переход автомата из состояния  $a_m$  в состояние  $a_s$  можно изобразить следующим подграфом



Такая запись является эквивалентной каждой строчке структурной таблицы переходов МПА.

В выражения для всех сигналов микроопераций и всех сигналов функций возбуждения входит конъюнкция  $A_m X_h$  и работа автомата происходит только тогда, когда эта конъюнкция  $A_m X_h = 1$ .

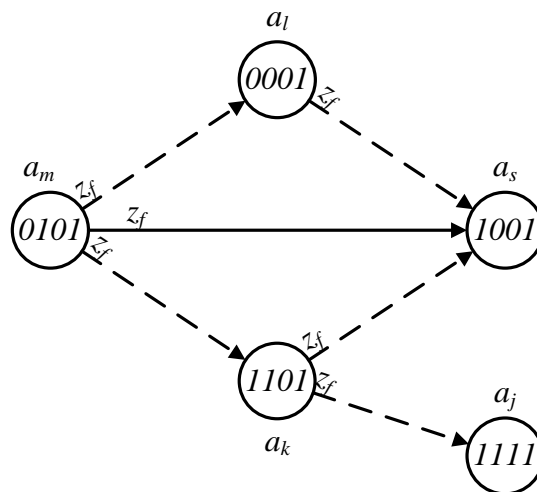
В эту конъюнкцию вводится тактирующая переменная  $p$ , таким образом, что  $pA_mX_h=1$



Если говорить об информационном значении сигналов, то автомат будет тактироваться серией сигналов. Тогда работа комбинационной схемы будет тактироваться следующей конъюнкцией  $pA_mX_h=1$ . Тактирующий сигнал  $p$  в структурную таблицу не записывается, но всегда подразумевается.

#### 4.4.2. Гонки в автомате

Для пояснения сути вопроса изобразим следующий рисунок.



Если при переходе автомата из состояния  $a_m$  в состояние  $a_s$  должны изменить свои состояния несколько (больше 2-х) элементов памяти, то между ними начинаются состязания. Это объясняется тем, что элементы памяти имеют различные времена переключения, а сигналы функций возбуждения имеют различную скорость распространения в комбинационной схеме. В результате этого при переходе автомата из состояния  $a_m$  в состояние  $a_s$  под действием входного сигнала  $z_f$  автомат может оказаться в одном из промежуточных состояний  $a_k$  или  $a_l$  (см. рисунок) в зависимости от того, какой из элементов памяти выиграет состязание.

Если при этом же входном сигнале  $z_f$  автомат из состояния  $a_k$  или состояния  $a_l$  перейдет в состояние  $a_s$ , то такие состязания называются допустимыми или некритичными.

Если же, например, из состояния  $a_k$ , под действием входного сигнала  $z_f$  автомат перейдет в состояние  $a_j$  (см. пример), то такие состязания называются критическими или гонками.

#### 4.4.3. Методы устранения гонок

1. Применение алгоритмов противогоночного кодирования.

Недостатки:

- кодирование заведомо избыточно,
- создание таких автоматов трудоемко.

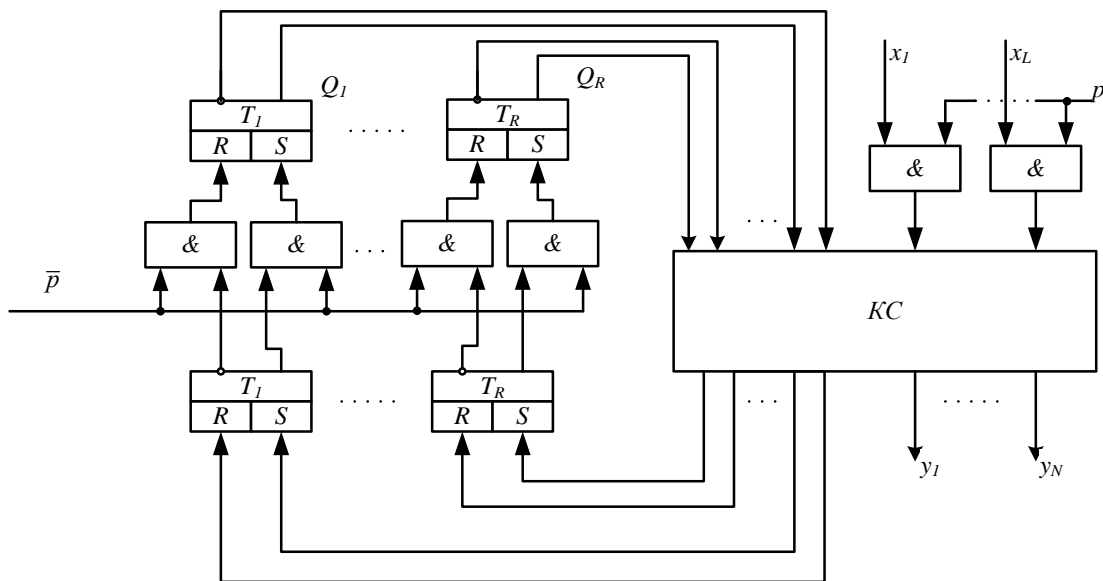
2. Тактирование входных сигналов.

Недостаток:

- длительность сигнала  $p$  ограничена как снизу, так и сверху.

Снизу - так как все триггеры должны переключаться, сверху - так как тактирующий сигнал должен быть короче самого быстрого сигнала обратной связи.

3. Применение двойной памяти.



#### 4.4.4. Преддешифратор обратной связи

Допустим, автомат имеет 4 элемента памяти. Тогда коды состояний могут быть отображены картой Карно на 4 переменные:

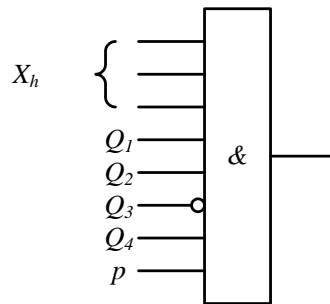
$Q_3Q_4$	$Q_1Q_2$	$\alpha_0$	$\alpha_1$	$\alpha_3$	$\alpha_2$
	00	00	01	11	10
$\beta_0'$	00				
$\beta_1'$	01			$A_M$	
$\beta_3'$	11				
$\beta_2'$	10				

Здесь

$$\begin{aligned} \alpha_0 &= \overline{Q_1Q_2} & \beta_0' &= \overline{Q_3Q_4} \\ \alpha_1 &= \overline{Q_1}Q_2 & \beta_1' &= \overline{Q_3}Q_4 \\ \alpha_2 &= Q_1\overline{Q_2} & \beta_2' &= Q_3\overline{Q_4} \\ \alpha_3 &= Q_1Q_2 & \beta_3' &= Q_3Q_4 \end{aligned}$$

Тогда  $A_m = Q_1Q_2\overline{Q_3}Q_4 = \alpha_3\beta_1'$ . Будем считать, что  $\beta = \beta'p$ , тогда  $pA_m = \alpha_m\beta_m'p = \alpha_m\beta_m$ .

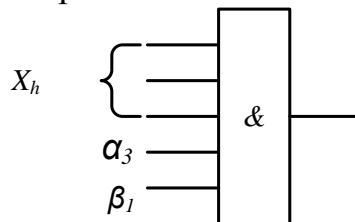
До применения преддешифратора конъюнкция  $pA_mX_h = pQ_1Q_2\overline{Q_3}Q_4X_h$  реализуется следующим образом



После применения преддешифратора эта же конъюнкция

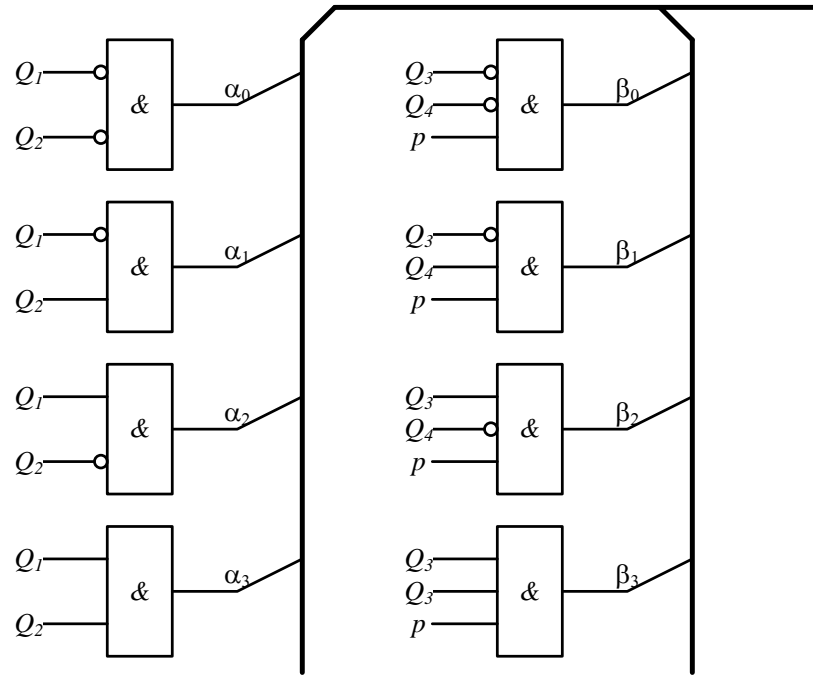
$$pA_mX_h = pQ_1Q_2\overline{Q_3}Q_4X_h = \alpha_3\beta_1X_h$$

реализуется следующим образом



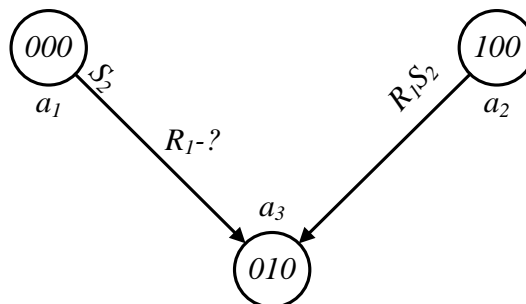
Полный преддешифратор для рассматриваемого примера будет выглядеть так, как показано на рисунке ниже.

Отсюда видно, что преддешифратор обратной связи позволяет сократить число сигналов обратной связи, а как следствие уменьшить цену схемы. Договоримся, что если число элементов памяти нечетное, то код делится таким образом, чтобы справа оставалась меньшая часть на 1.



#### 4.4.5. Доопределение сигналов функций возбуждения

Рассмотрим подграф графа автомата



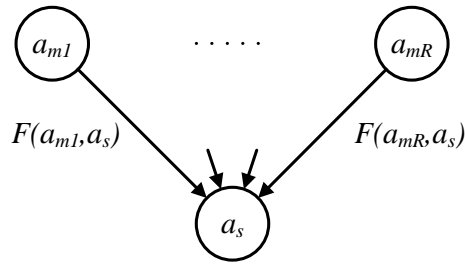
Пусть имеется триггер RS – типа. Из рисунка видно, что выработка сигнала функции возбуждения  $R_1$  на переходе  $a_1 \rightarrow a_3$  не нарушит нормальной работы автомата.

Обозначим через  $G(a_3)$  множество состояний, из которых есть переходы в состояние  $a_3$ :  $G(a_3) = \{a_1, a_2\}$ .

Под доопределением сигнала функции возбуждения на переходах  $(a_1, a_3)$  и  $(a_2, a_3)$  будем понимать выдачу на обоих переходах одного и того же множества сигналов функции возбуждения  $F(G(a_3), a_3)$ , т.е.

$$F(G(a_3), a_3) = F(a_1, a_3) \cup F(a_2, a_3) = \{S_2\} \cup \{R_1, S_2\} = \{R_1, S_2\}.$$

В общем случае, если есть состояния  $a_{m_1}, \dots, a_{m_R}$  и состояние  $a_s$ , то



$G(a_s) = \{a_{m_1}, \dots, a_{m_R}\}$ . Таким образом, для перехода в состояние  $a_s$  нужно

выдавать  $F(G(a_s), a_s) = \bigcup_{r=1}^R F(a_r, a_s)$ .

**Замечание:** иногда в общих рассуждениях нас не будет интересовать конкретный выход преддешифратора, соответствующий  $a_m$ , а нужно лишь подчеркнуть, что речь идет о выходах преддешифратора при состоянии  $a_m$ . В таком случае индекс  $m$  будем указывать не внизу, а наверху:

$$K(a_m) = \begin{matrix} 111 & 01 \\ \alpha_7 & \beta_1 \\ \alpha^m & \beta^m \end{matrix} \quad K(a_4) = \begin{matrix} 101 & 10 \\ \alpha_7 & \beta_2 \\ \alpha^4 & \beta^4 \end{matrix}$$

#### 4.4.6. Узел в ГСА

Запишем пути перехода из  $a_m$  в  $a_s$  и из  $a_n$  в  $a_s$  по рисункам представленным ниже.

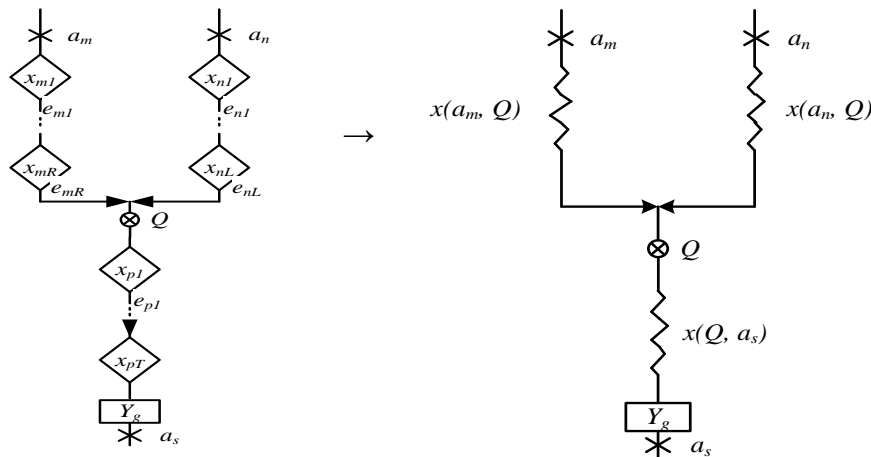
$$a_m x_{m_1}^{e_{m_1}} \dots x_{m_R}^{e_{m_R}} x_{p_1}^{e_{p_1}} \dots x_{p_T}^{e_{p_T}} Y_g a_s,$$

$$a_n x_{n_1}^{e_{n_1}} \dots x_{n_L}^{e_{n_L}} x_{p_1}^{e_{p_1}} \dots x_{p_T}^{e_{p_T}} Y_g a_s.$$

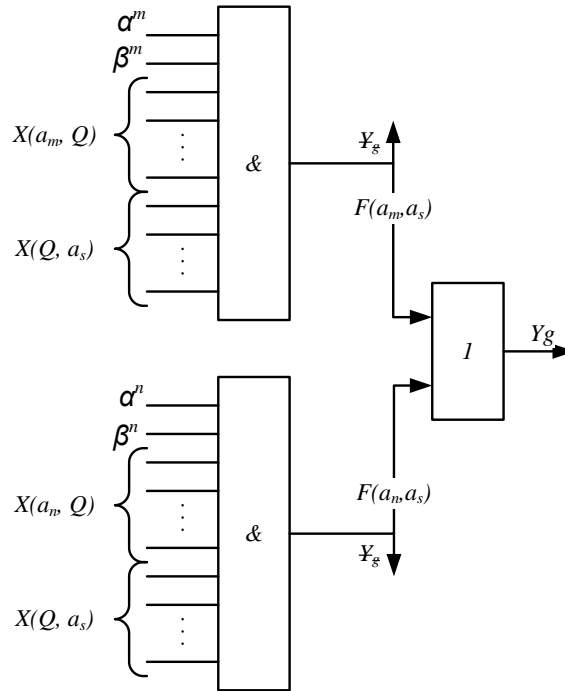
Выходной сигнал  $X(a_m, a_s)$  представим в виде  $X(a_m, Q) X(Q, a_s)$ , а  $X(a_n, a_s)$  в виде  $X(a_n, Q) X(Q, a_s)$ .

$$A_m = \alpha^m \beta^m. A_n = \alpha^n \beta^n.$$

Условные обозначения:



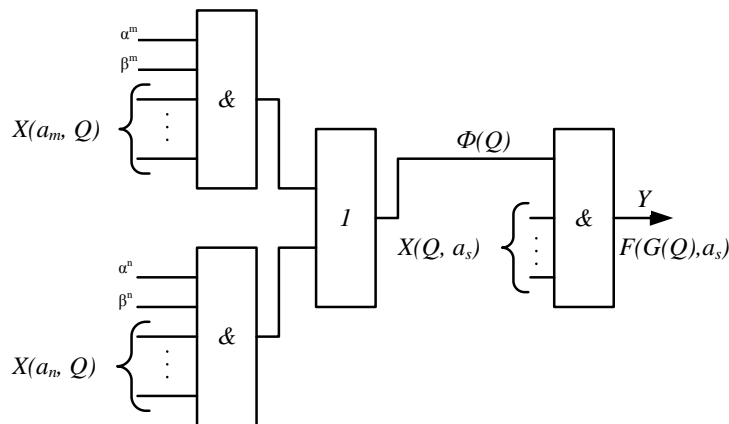
Если бы мы строили эту схему, то получили бы



Вынести за скобки  $X(Q, a_s)$  в данном случае нельзя, т.к. тогда сигналы функции возбуждения  $F(a_m, a_s)$  и  $F(a_n, a_s)$  оказываются независимыми от  $X(Q, a_s)$ , что в действительности неверно. Из этого положения можно выйти следующим образом: доопределим сигналы функции возбуждения на переходах  $(a_m, a_s)$  и  $(a_n, a_s)$ .

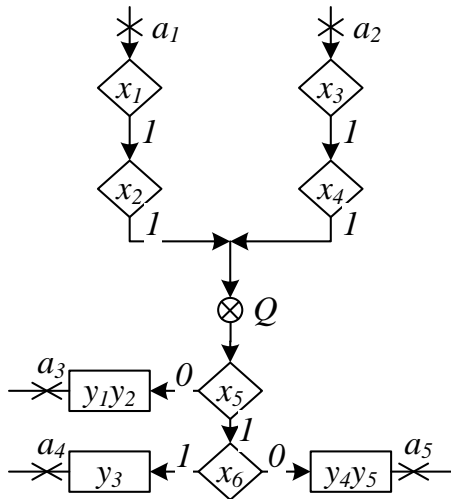
Множество состояний, из которых есть переход в точку  $Q$ , обозначим через  $G(Q) = \{a_m, a_n\}$ . Будем вырабатывать на обоих переходах один и тот же набор сигналов функции возбуждения:  $F(G(Q), a_s) = F(a_m, a_s) \cup F(a_n, a_s)$ .

После до определения получим



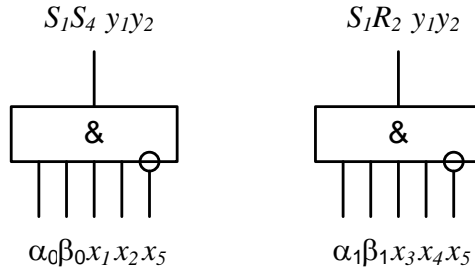
Пример:





Коды состояний  
 $K(a_1) = 0000$   
 $K(a_2) = 0101$   
 $K(a_3) = 1001$   
 $K(a_4) = 0011$   
 $K(a_5) = 0010$   
 $\alpha\beta$

Строим фрагменты схем для переходов  $(a_1, a_3)$  и  $(a_2, a_3)$ :



Доопределим сигналы функций возбуждения на этих переходах:

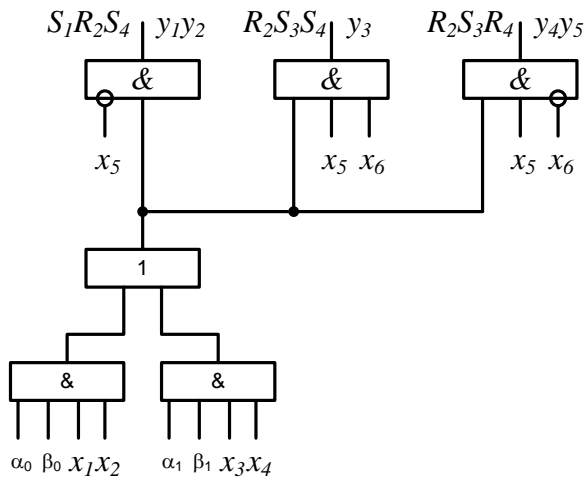
$$G(Q) = \{a_1, a_2\}.$$

$$F(G(Q), a_3) = F(a_1, a_3) \cup F(a_2, a_3) = \{S_1, S_4\} \cup \{S_1, R_1\} = \{S_1 R_2 S_4\}.$$

$$F(G(Q), a_4) = F(a_1, a_4) \cup F(a_2, a_4) = \{S_3, S_4\} \cup \{R_2, S_3\} = \{R_2 S_3 S_4\}.$$

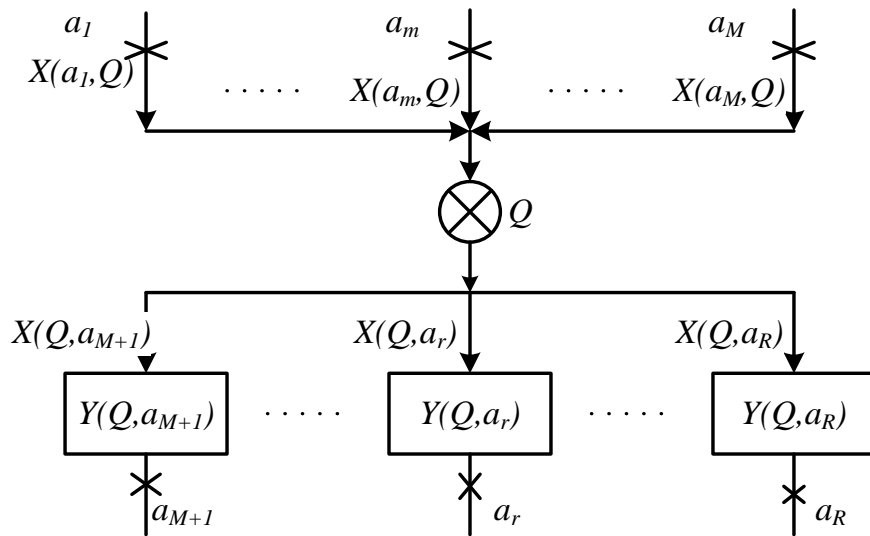
$$F(G(Q), a_5) = F(a_1, a_5) \cup F(a_2, a_5) = \{S_3\} \cup \{R_2, S_3 R_4\} = \{R_2 S_3 R_4\}.$$

После доопределения схема примет вид:

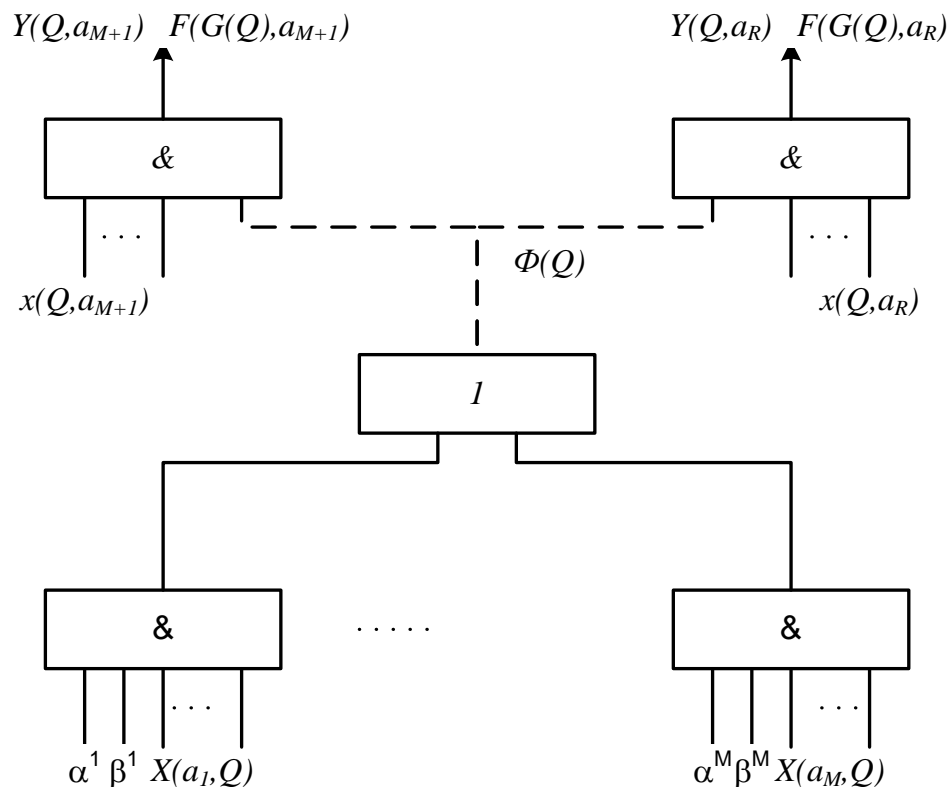


Общий случай

В общем случае могут быть пути, проходящие через точку  $Q$  из большого числа состояний в большое число состояний.



После до определения сигналов функций возбуждения из состояний  $G(Q)=\{a_1, \dots, a_M\}$  при переходе в состояние  $a_r$  ( $r = M+1, \dots, R$ ), как и в предыдущем примере можно построить следующую схему:



Вход условной вершины ГСА будем называть узлом и отмечать символом  $Q_k$ , если эта вершина соединена с выходами не менее 2-х других вершин, хотя бы одна из которых - условная.

На отмеченной схеме алгоритма с узлами можно выделить пути следующих видов.

Из состояния в состояние:

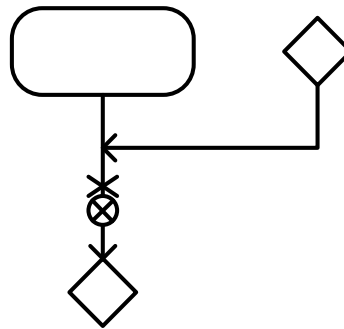
$$a_m x_{m_1}^{e_{m_1}} \dots x_{m_R}^{e_{m_R}} Y_t a_s;$$

$$a_m x_{m_1}^{e_{m_1}} \dots x_{m_R}^{e_{m_R}} a_1.$$

1. Из состояния в узел:

$$a_m x_{m_1}^{e_{m_1}} \dots x_{m_R}^{e_{m_R}} Q_k.$$

Здесь не исключен случай  $R=0$ , а именно  $a_s Q_k$ , т.е. когда вход одной и той же вершины отмечен и состоянием и узлом.



Замечание: если вход условной вершины отмечен и состоянием и узлом, то отметку узла необходимо располагать ближе к входу вершины, чтобы не пропустить путь из состояния в узел.

2. Из узла в состояние:

$$Q_p x_{p_1}^{e_{p_1}} \dots x_{p_T}^{e_{p_T}} Y_g a_s.$$

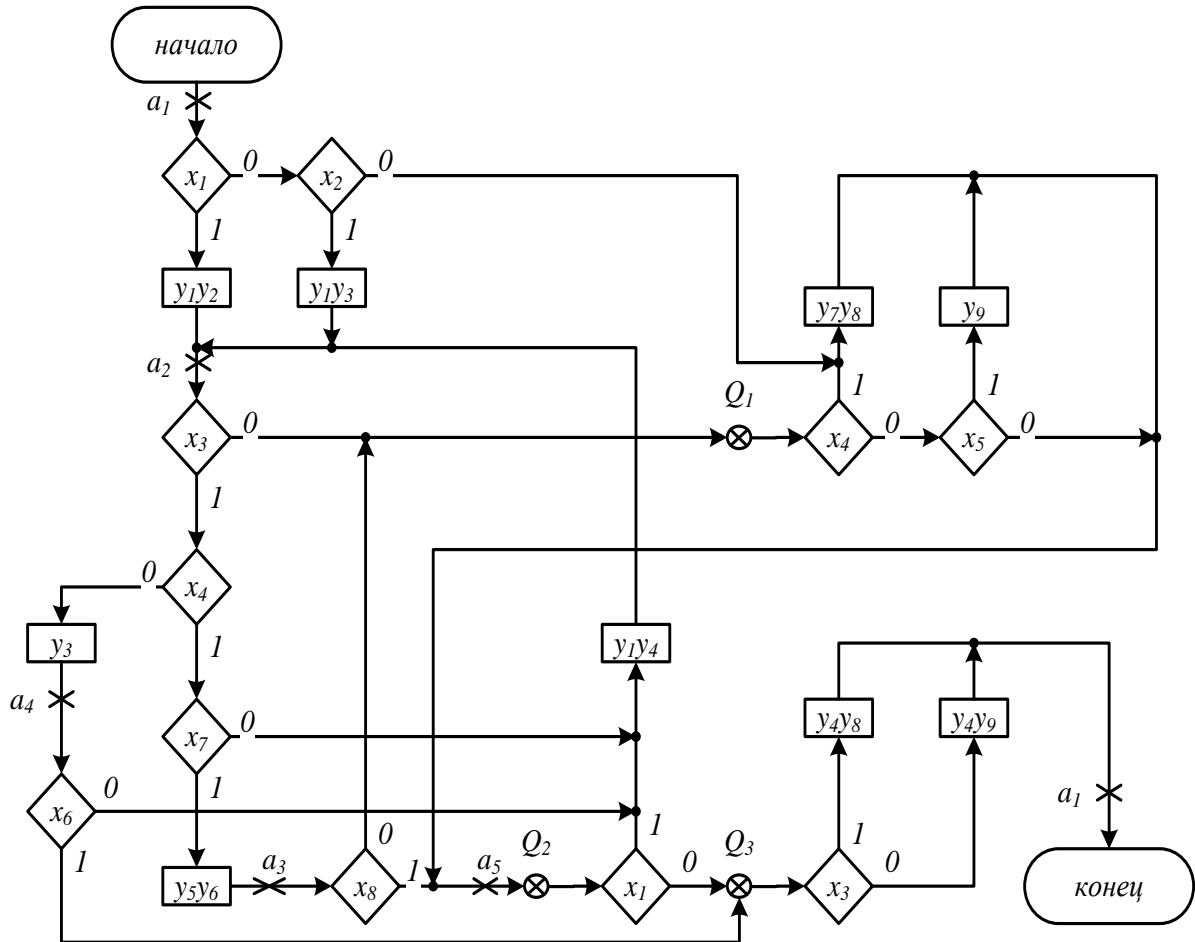
3. Из узла в узел:

$$Q_p x_{p_1}^{e_{p_1}} \dots x_{p_R}^{e_{p_R}} Q_k.$$

Сведем все вышеприведенное в таблицу:

$a_m Q_p$	$K(a_m)$	$a_s Q_k$	$K(a_1)$	$X_h$	$Y_t$	$F_h$
$a_m$	$K(a_m)$	$a_s$	$K(a_s)$	$X(a_m, a_s)$	$Y(a_m, a_s)$	$F(a_m, a_s)$
$a_m$	$K(a_m)$	$Q_k$	-	$X(a_m, Q_k)$	-	-
$Q_p$	-	$a_1$	$K(a_1)$	$X(Q_p, a_s)$	$Y(Q_p, a_s)$	$F(G(Q_p), a_s)$
$Q_p$	-	$Q_k$	-	$X(Q_p, Q_k)$	-	-

Пример построения по ГСА обратной структурной таблицы МПА с узлами.



Построение прямой таблицы переходов с узлами:

$a_m, Q_p$	$a_s, Q_k$	$X_h$	$Y_t$
$a_1$	$a_2$	$x_1$	$y_1y_2$
	$a_2$	$\overline{x_1}x_2$	$y_1y_3$
	$a_5$	$\overline{x_1}\overline{x_2}$	$y_7y_8$
$a_2$	$a_3$	$x_3x_4x_7$	$y_5y_6$
	$a_2$	$x_3x_4\overline{x_7}$	$y_1y_4$
	$a_4$	$x_3\overline{x_4}$	$y_3$
	$Q_1$	$\overline{x_3}$	-
$a_3$	$Q_2$	$x_8$	-
	$Q_1$	$\overline{x_8}$	-
$a_4$	$Q_3$	$x_6$	-
	$Q_1$	$\overline{x_6}$	$y_1y_4$
$a_5$	$Q_2$	$1$	-
$Q_1$	$a_5$	$x_4$	$y_7y_8$
$Q_1$	$a_5$	$\overline{x_4}x_5$	$y_9$
	$Q_2$	$\overline{x_4}\overline{x_5}$	-
$Q_2$	$a_2$	$x_1$	$y_1y_4$
	$Q_3$	$\overline{x_1}$	-
$Q_3$	$a_1$	$x_3$	$y_4y_8$
	$a_1$	$\overline{x_3}$	$y_4y_9$

$$G(Q_3) = \{a_4, Q_2\} = \{a_2, a_3, a_4, a_5\};$$

$$G(Q_2) = \{a_3, a_5, Q_1\};$$

$$G(Q_1) = \{a_2, a_3\};$$

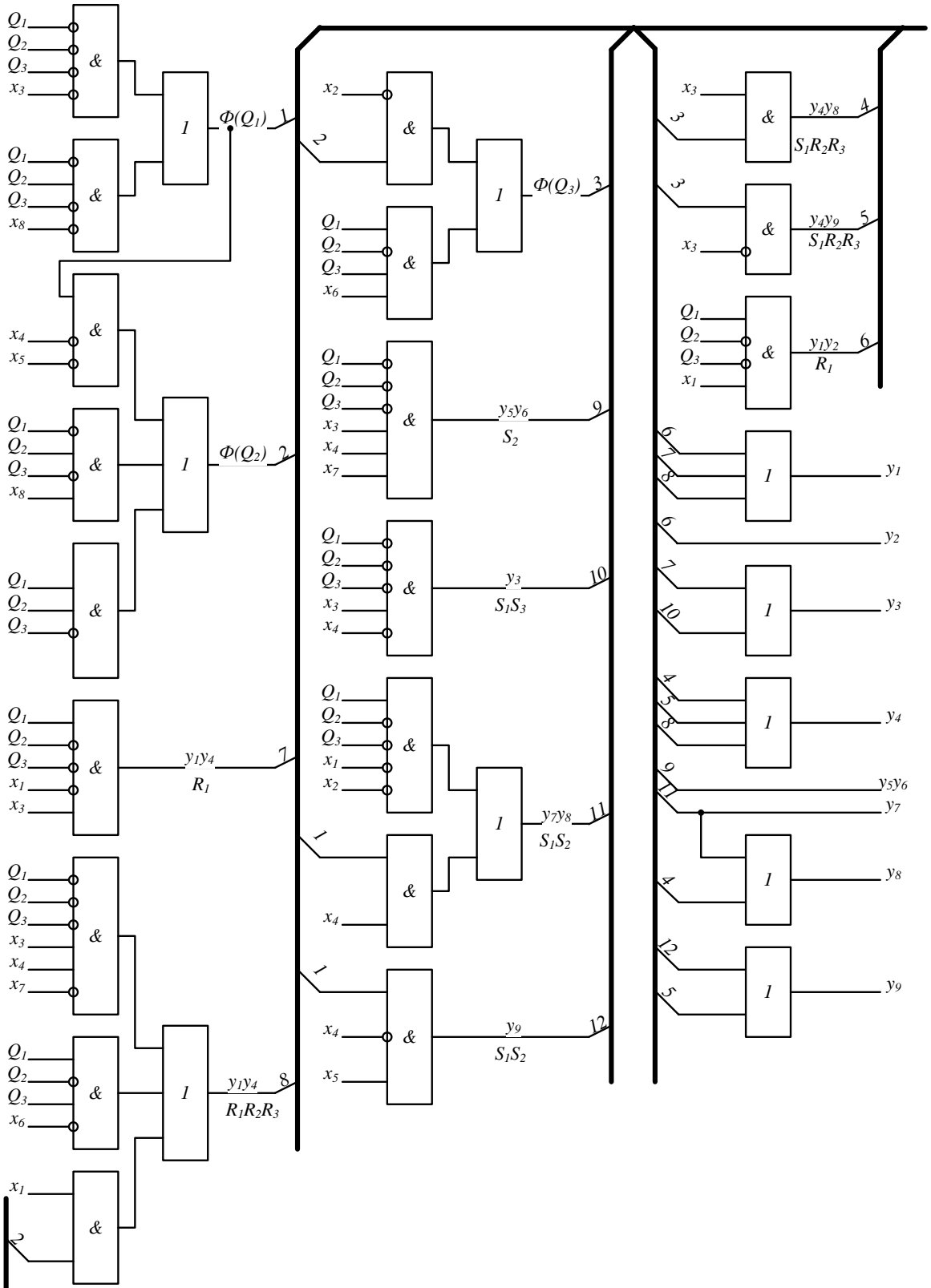
$$G(Q_3) = \{a_2, a_3, a_4, a_5\};$$

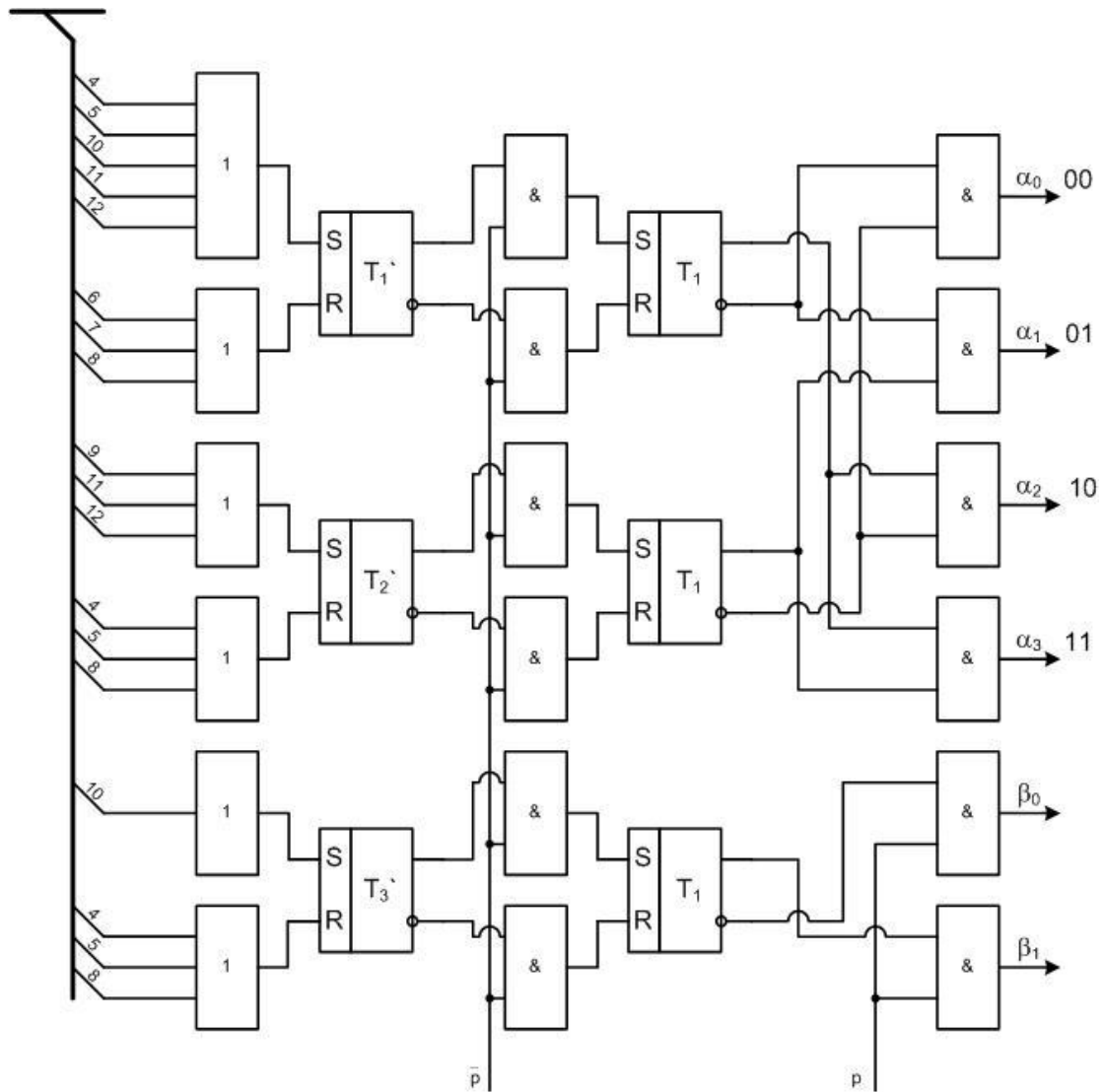
$$F(G(Q_3), a_1) = F(a_2, a_1) \cup F(a_3, a_1) \cup F(a_4, a_1) \cup F(a_5, a_1) = \\ = \{S_1\} \cup \{S_1R_2\} \cup \{R_3\} \cup \{R_2\} = \{S_1R_2R_3\}.$$

Построение обратной таблицы переходов с узлами:

$a_m Q_p$	$K(a_m)$	$a_s, Q_K$	$K(a_s)$	$X_h$	$Y_t$	$F_h$
$a_2$ $a_3$	000 010	$Q_1$	-	$\overline{x_3}$ $\overline{x_8}$	- -	- -
$a_3$ $a_5$ $Q_1$	010 110 -	$Q_2$	-	$x_8$ $1$ $\overline{x_4 x_5}$	- - -	- - -
$a_4$ $Q_2$	101 -	$Q_3$	-	$x_6$ $\overline{x_1}$	- -	- -
$Q_3$ $Q_3$	- -	$a_1$	100	$x_3$ $\overline{x_3}$	$y_4 y_8$ $y_4 y_9$	$S_1 R_2 R_3$ $S_1 R_2 R_3$
$a_1$ $a_1$ $a_2$ $a_4$ $Q_2$	100 100 000 101 -	$a_2$	000	$x_1$ $\overline{x_1} x_2$ $\overline{x_3} x_4 \overline{x_7}$ $\overline{x_6}$ $x_1$	$y_1 y_2$ $y_1 y_3$ $y_1 y_4$ $y_1 y_4$ $y_1 y_4$	$R_1$ $R_1$ - $R_1 R_3$ $R_1 R_2$
$a_2$	000	$a_3$	010	$x_3 x_4 x_7$	$y_5 y_6$	$S_2$
$a_2$	000	$a_4$	101	$x_3 \overline{x_4}$	$y_3$	$S_1 S_3$
$a_1$ $Q_1$ $Q_1$	100 - -	$a_5$	110	$\overline{x_1} x_2$ $x_4$ $\overline{x_4} x_5$	$y_7 y_8$ $y_7 y_8$ $y_9$	$S_2$ $S_1 S_2$ $S_1 S_2$

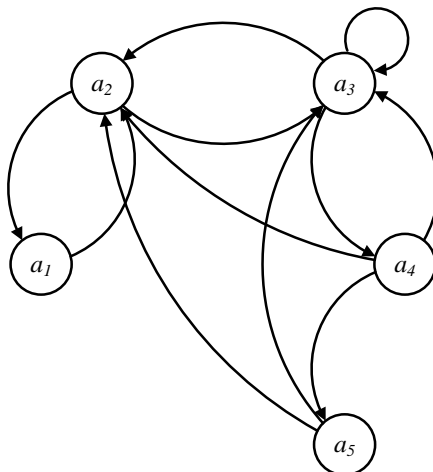
#### 4.4.7. Построение функциональной схемы МПА по обратной структурной таблице с узлами





#### 4.4.8. Кодирование состояний

Рассмотрим алгоритм, позволяющий минимизировать суммарное число переключений элементов памяти автомата. Пусть имеем следующий граф автомата:



Для кодирования пяти состояний необходимо три переменных  $Q_1Q_2Q_3$

$Q_1$	$Q_2 Q_3$	00	01	11	10
0		$a_2$	$a_3$	$a_4$	$a_5$
1		$a_1$			

Алгоритм состоит из следующих шагов:

1. Составление матрицы переходов  $T$ .

$$T = \begin{array}{|l} a_1a_2 \\ a_2a_1 \\ a_2a_3 \\ a_3a_2 \\ a_3a_3 \\ a_3a_4 \\ a_4a_3 \\ a_4a_2 \\ a_4a_5 \\ a_5a_2 \\ a_5a_3 \end{array}$$

При переходе  $a_3a_3$  ни один элемент памяти переключаться не будет, поэтому этот переход из матрицы  $T$  может быть исключен.

2. Подсчет весов состояний.

Под весом состояния понимается суммарное число переходов в это состояние и из этого состояния  $a_1 - 2$ ;  $a_2 - 6$ ;  $a_3 - 5$ ;  $a_4 - 4$ ;  $a_5 - 3$ .

3. Подсчет весов пар переходов.

Под весом пары понимается суммарный вес компонент (вес пары проставлен у матрицы  $T$  справа).

$$T = \begin{array}{|l|l} a_1a_2 & 8 \\ a_2a_1 & 8 \\ a_2a_3 & 11 \\ a_3a_2 & 11 \\ a_3a_3 & - \\ a_3a_4 & 9 \\ a_4a_3 & 9 \\ a_4a_2 & 10 \\ a_4a_5 & 7 \\ a_5a_2 & 9 \\ a_5a_3 & 8 \end{array}$$



4. Составление упорядоченной матрицы переходов  $M$ .

Матрица  $M$  упорядочивается по мере убывания весов пар переходов.

$$T = \begin{array}{l|l} a_2 a_3 & 11 \\ a_3 a_2 & 11 \\ a_4 a_2 & 10 \\ a_3 a_4 & 9 \\ a_4 a_3 & 9 \\ a_5 a_2 & 9 \\ a_1 a_2 & 8 \\ a_2 a_1 & 8 \\ a_5 a_3 & 8 \\ a_4 a_5 & 7 \end{array}$$

5. Составление упорядоченной сокращенной матрицы переходов  $M^*$ .

$$M^* = \begin{array}{l} a_2 a_3 \\ a_4 a_2 \\ a_3 a_4 \\ a_5 a_2 \\ a_1 a_2 \\ a_5 a_3 \\ a_4 a_5 \end{array}$$

## 6. Кодирование состояний

Поскольку состояние  $a_2$  и  $a_1$  оказались в нашем примере в первой строчке сокращенной упорядоченной матрицы  $M^*$ , то их необходимо кодировать соседними кодами.

$$K(a_2) = 000; K(a_3) = 001.$$

$Q_2 Q_3$	00	01	11	10
$Q_1$				
0	$a_2$	$a_3$		
1				

Вычеркнем эту строку ( $a_2 a_3$ ) из матрицы  $M^*$ .

Введем переменную  $j$  (это индекс состояния, которое кодируется на данном этапе) и построим матрицу  $M_j$ , выбрав из  $M^*$  пары состояний с индексом  $j$ . В нашем примере  $j = 4$ .

$$M_4 = \begin{array}{l} a_4 a_2 \\ a_3 a_4 \\ a_4 a_5 \end{array}$$

Далее формируется множество  $B_j$ , состоящее из состояний, которые уже закодированы и присутствуют в матрице  $M_j$ .

$$B_4 = \{a_3, a_2\}.$$

Формируются множества

$$C_3^1 = \{011, 101\}; C_2^1 = \{100, 011\}.$$

Это множества свободных кодов длины 1, относительно кодов состояний  $a_3$  и  $a_2$ .

Далее формируется множество  $D_j^1$ . Единица говорит о том, что это коды длины 1 относительно уже закодированных состояний (один из кодов этого множества должен быть присвоен состоянию  $a_4$ ).

$$D_4^1 = C_3^1 \cup C_2^1 = \{011, 101, 010, 100\}.$$

Затем строятся кодовые расстояния по Хеммингу:

$$W_{011} = |011 - 000|^2 + |011 - 001|^2 \times 2 = 2 + 1 \times 2 = 4;$$

$$W_{101} = |101 - 000|^2 + |101 - 001|^2 \times 2 = 2 + 1 \times 2 = 4;$$

$$W_{010} = |010 - 000|^2 + |010 - 001|^2 \times 2 = 1 + 2 \times 2 = 5;$$

$$W_{100} = |100 - 000|^2 + |100 - 001|^2 \times 2 = 1 + 2 \times 2 = 5.$$

Состоянию  $a_4$  присваиваем код с минимальным кодовым расстоянием по Хеммингу.

В примере это коды 011 и 101; выберем  $K(a_4) = 011$ .

	$Q_2 Q_3$	$00$	$01$	$11$	$10$
$Q_1$					
$0$		$a_2$	$a_3$	$a_4$	
$1$					

$$j = 5; \quad M = \begin{vmatrix} a_5 a_2 \\ a_5 a_3 \\ a_4 a_5 \end{vmatrix}. B_5 = \{a_2, a_3, a_4\}.$$

$$C_2^1 = \{010, 100\}; C_3^1 = \{101\}; C_4^1 = \{010, 111\}; D_5^1 = \{010, 100, 101, 111\}.$$

$$W_{010} = |010 - 000|^2 + |010 - 001|^2 + |010 - 011|^2 = 1 + 2 + 1 = 4;$$

$$W_{100} = |100 - 000|^2 + |100 - 001|^2 + |100 - 011|^2 = 1 + 2 + 3 = 6;$$

$$W_{101} = |101 - 000|^2 + |101 - 001|^2 + |101 - 011|^2 = 2 + 1 + 2 = 5;$$

$$W_{111} = |111 - 000|^2 + |111 - 001|^2 + |111 - 011|^2 = 3 + 2 + 1 = 6.$$

Состоянию  $a_5$  присваиваем код с минимальным кодовым расстоянием по Хеммингу.

В примере это только код 010; выберем  $K(a_5) = 010$ .

$Q_2Q_3$	00	01	11	10
$Q_1$				
0	$a_2$	$a_3$	$a_4$	$a_5$
1				

$j = 1, M_1 = |a_1a_2|$ . Очевидно, что для  $a_1$  подойдет  $K(a_1) = 100$ .

$Q_2Q_3$	00	01	11	10
$Q_1$				
0	$a_2$	$a_3$	$a_4$	$a_5$
1	$a_1$			

Кодирование завершено.

#### 7. Расчет коэффициента кодирования

$$k = \frac{\sum t_{ms}}{P},$$

где  $P$  - общее число переходов;  $t_{ms}$  - число переключений элементов памяти при переходе из состояния  $a_m$  в состояние  $a_s$ .

$$M^* = \begin{array}{l} \begin{array}{l} a_2a_3 \\ a_4a_2 \\ a_3a_4 \\ a_5a_2 \\ a_1a_2 \\ a_5a_3 \\ a_4a_5 \end{array} \left| \begin{array}{l} 2 \times 1 = 2 \\ 1 \times 2 = 2 \\ 2 \times 1 = 2 \\ 1 \times 1 = 1 \\ 2 \times 1 = 2 \\ 1 \times 2 = 2 \\ 1 \times 1 = 1 \end{array} \right. \\ \sum t_{ms} = 12 \end{array}$$

Кодирование считается удовлетворительным, если  $k \leq 1,5$ .  
Для нашего примера

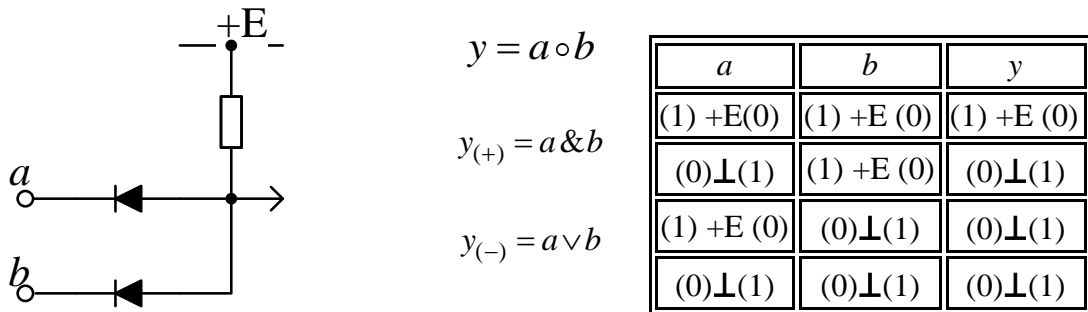
$$k = \frac{\sum t_{ms}}{P} = \frac{12}{10} = 1,2.$$

## 5. Матричная реализация МПА

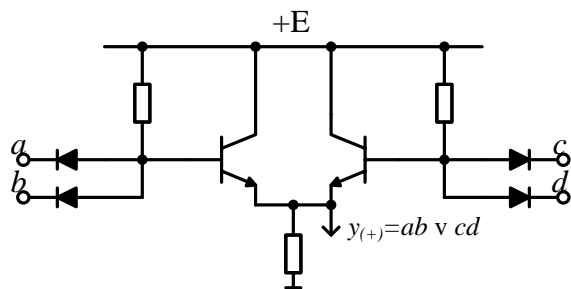
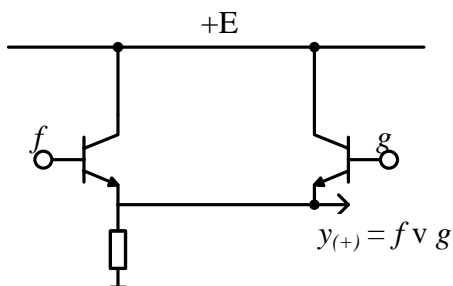
При синтезе МПА с жесткой логикой в качестве критерия минимизации выбирается цена схемы. Под ценой схемы понимается сумма цен логических элементов. Под ценой логического элемента понимается число входов в этот логический элемент.

### 5.1. Способы кодирования потенциальных двоичных сигналов

При позитивном способе кодирования за единицу информации всегда принимается высокий уровень напряжения. Для негативной – наоборот. Рассмотрим следующую схему.



Тип проводимости транзистора	( + ) Позитивная система кодирования	( - ) Негативная система кодирования
<i>n - p - n</i>		
<i>p - n - p</i>		



## 5.2. Матричная реализация комбинационных схем

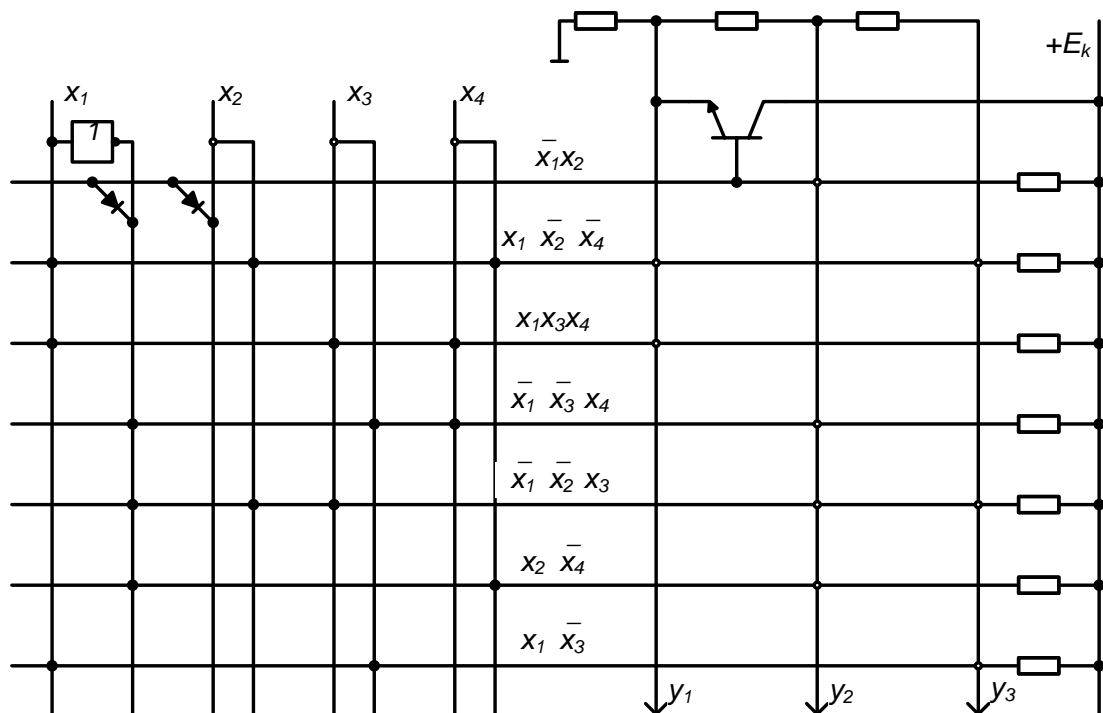
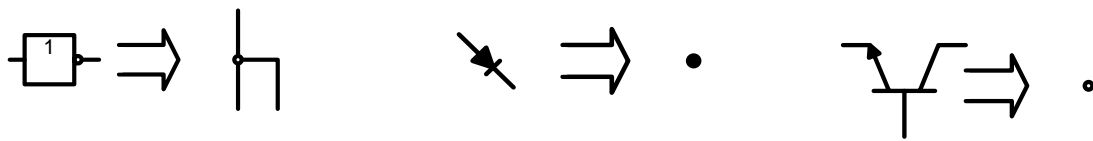
Допустим, задана некоторая система булевых функций

$$y_1 = \bar{x}_1 x_2 \vee x_1 \bar{x}_2 \bar{x}_4 \vee x_1 x_3 x_4;$$

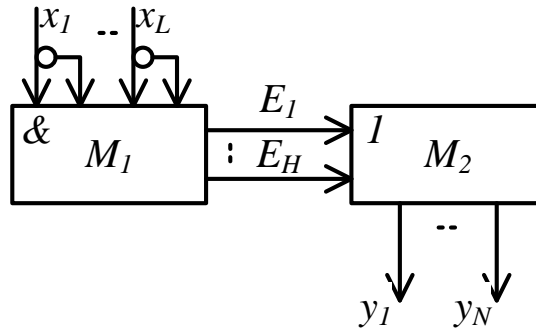
$$y_2 = \bar{x}_1 x_2 \vee \bar{x}_1 \bar{x}_3 x_4 \vee \bar{x}_1 \bar{x}_2 x_3 \vee x_2 \bar{x}_4;$$

$$y_3 = x_1 \bar{x}_2 \bar{x}_4 \vee x_1 \bar{x}_3 \vee \bar{x}_1 \bar{x}_2 x_3.$$

Реализуем данную систему булевых функций на двухматричной структуре. При этом будем использовать следующие обозначения.



Общий вид двухматричной структуры



**Особенности:**

Нет смысла минимизировать суммарное число входов.

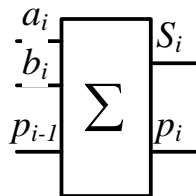
При матричной реализации комбинаторных схем минимизируется суммарная площадь матриц  $M_1$  и  $M_2$ , т.е.  $S(M_1)=2LH$  и  $S(M_2)=HN$ .

При этом систему булевых функций необходимо привести к минимальной форме. Минимальной формой называется форма, у которой минимальное число букв.

При приведении системы булевых функций к минимальной форме используются методы минимизации булевых функций. Минимизация площади матриц  $M_1$  и  $M_2$  может быть осуществлена также с помощью замены переменных.

**Пример.** Матричная реализация комбинационного сумматора.

Пусть задана система, описывающая работу сумматора

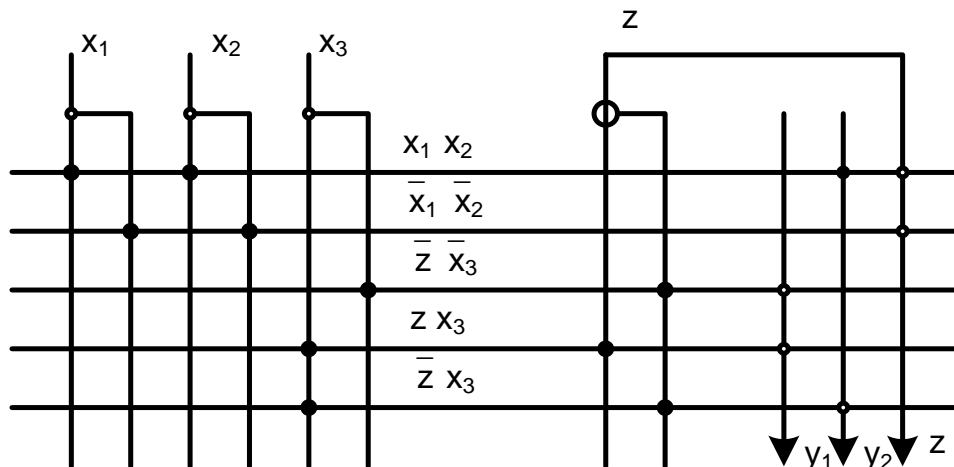


$$y_1 = \overline{(x_1 x_2 \vee \bar{x}_1 \bar{x}_2)} \bar{x}_3 \vee (x_1 x_2 \vee \bar{x}_1 \bar{x}_2) x_3 - \text{сумма};$$

$$y_2 = x_1 x_2 \vee \overline{(x_1 x_2 \vee \bar{x}_1 \bar{x}_2)} x_3 - \text{перенос}.$$

Введем следующую замену переменной  $z = x_1 x_2 \vee \bar{x}_1 \bar{x}_2$ , тогда

$$y_1 = \bar{z} \bar{x}_3 \vee z x_3; \quad y_2 = x_1 x_2 \vee \bar{z} x_3.$$



### 5.3. Тривиальная матричная реализация МПА

Пусть имеем прямую структурную таблиц МПА.

$a_m$	$K(a_m)$	$a_s$	$K(a_s)$	$X_h$	$Y_t$	$D_h$	$h$	
$a_1$	000	$a_2$	010	$x_1$	$y_1y_2y_3$	$Y_1$	$D_2$	1
		$a_2$	010	$\bar{x}_1 x_2$	$y_{10}y_{11}y_{12}$	$Y_5$	$D_2$	2
		$a_5$	100	$\bar{x}_1\bar{x}_2$	$y_{13}$	$Y_7$	$D_1$	3
$a_2$	010	$a_1$	000	$\bar{x}_1\bar{x}_3$	$y_2y_{10}y_{12}$	$Y_6$	-	4
		$a_2$	010	$\bar{x}_1 x_3$	$y_7y_8y_9$	$Y_4$	$D_2$	5
		$a_4$	011	$x_1$	$y_4$	$Y_2$	$D_2 D_3$	6
$a_3$	101	$a_1$	000	$x_5$	-	$Y_0$	-	7
		$a_2$	010	$\bar{x}_5$	$y_7y_8y_9$	$Y_4$	$D_2$	8
$a_4$	011	$a_1$	000	$\bar{x}_2\bar{x}_3$	$y_2y_{10}y_{11}$	$Y_6$	-	9
		$a_2$	010	$\bar{x}_2 x_3$	$y_7y_8y_9$	$Y_4$	$D_2$	10
		$a_3$	101	$x_2x_3$	$y_5y_6$	$Y_3$	$D_1 D_3$	11
		$a_3$	101	$x_2\bar{x}_3$	$y_7y_9y_{14}y_{15}$	$Y_8$	$D_1 D_3$	12
$a_5$	100	$a_1$	000	$x_4$	$y_2y_{10}y_{12}$	$Y_6$	-	13
		$a_5$	100	$\bar{x}_4$	-	$Y_0$	$D_1$	14

Как и ранее, каждой строке соответствует конъюнкция  $A_m X_h$ , если она равна 1, то надо вырабатывать сигнал, чтобы перевести автомат из одного состояния в другое.

Для минимизации суммарной площади матриц при матричной реализации используются триггеры  $D$  и  $T$  типов.

Из множества  $Y$  всех микроопераций выделим подмножество  $Y^*$  микроопераций, которые имеют только по одной конъюнкции. К ним относятся:

$$Y^* = \{y_1, y_3, y_4, y_5, y_6, y_{11}, y_{13}, y_{14}, y_{15}\}.$$

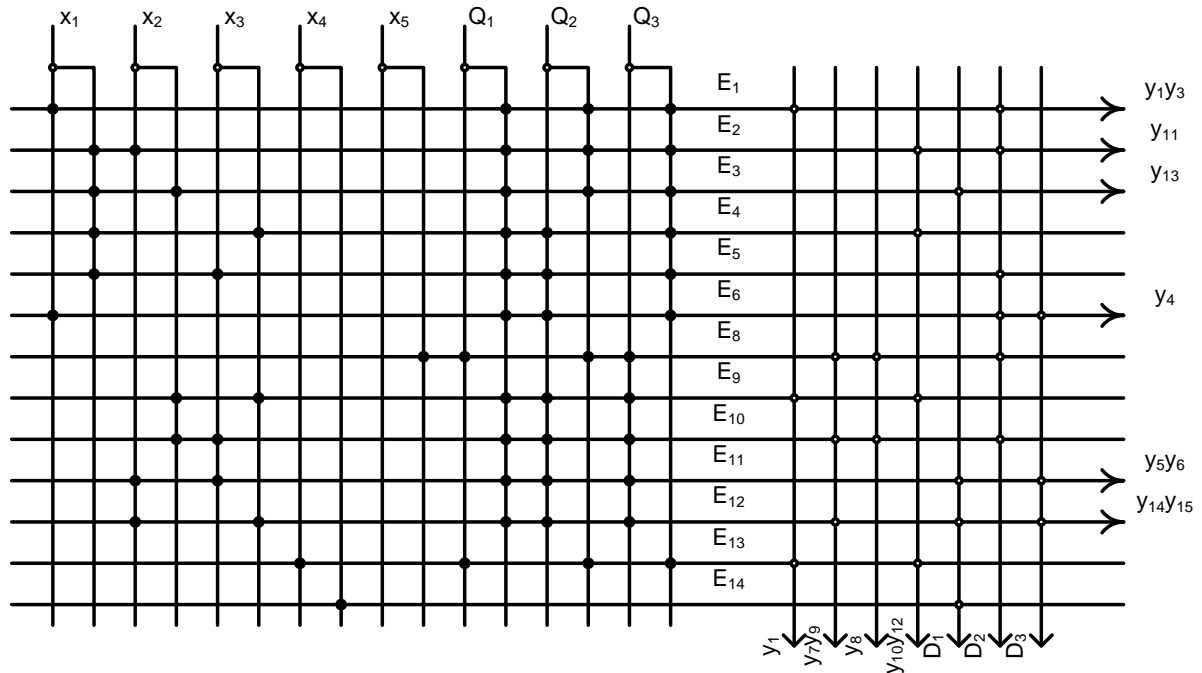
Далее находим

$$Y^{**} = Y \setminus Y^* = \{y_2, y_7, y_8, y_9, y_{10}, y_{12}\}.$$

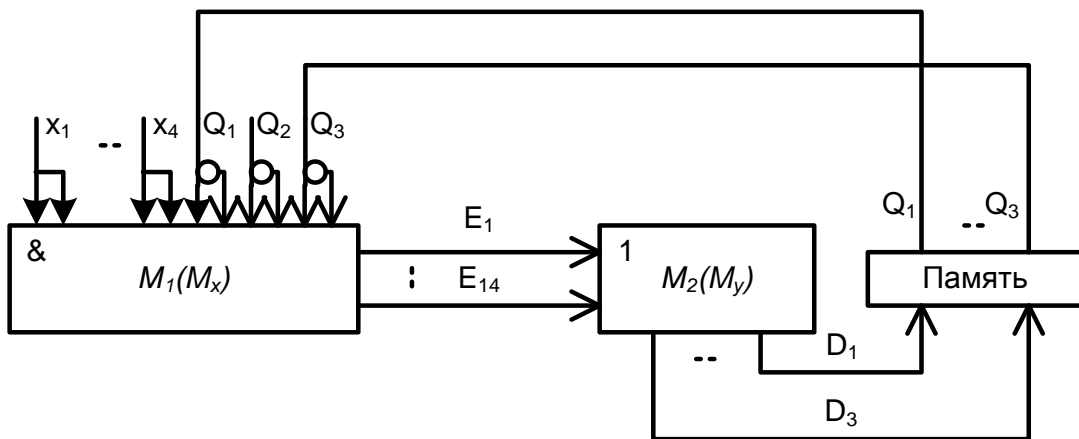
Затем, из множеств  $Y^*$  и  $Y^{**}$  выделяем те микрооперации, которые встречаются всегда вместе

$$\left. \begin{array}{l} \{y_1, y_3\} \\ \{y_5, y_6\} \\ \{y_{14}, y_{15}\} \end{array} \right\} = Y'; \quad \left. \begin{array}{l} \{y_7, y_8\} \\ \{y_{10}, y_{12}\} \end{array} \right\} = Y''$$

их будем вырабатывать на одной шине. Соответствующая матричная реализация МПА приведена ниже.



В общем виде тривиальная матричная реализация МПА будет выглядеть следующим образом.



#### 5.4. Кодирование логических условий (замена входных переменных)

При матричной реализации МПА суммарная площадь матриц  $M_1$  и  $M_2$  определяется выражением  $S=2H(L+R) + H(N+R)$ . Двойка в сумме для  $M_1$  объясняется тем, что нам необходимо иметь как прямые, так и инверсные значения.



В автоматах средней сложности обычно  $L \approx 30$ ,  $H \approx 200$ ,  $R \approx 6$ ,  $N \approx 50$ .  
 $S = 25,6 \times 10^3$  бит.

Обозначим через  $X(a_m)$  множество входных переменных, встречающихся на всех переходах из состояния  $a_m$ . Для примера

$$x(a_1) = \{x_1, x_2\}; x(a_2) = \{x_1, x_3\}; x(a_3) = \{x_5\}; x(a_4) = \{x_2, x_3\}; x(a_5) = \{x_4\}.$$

Введем следующее обозначение:  $G_m = |X(a_m)|$ . Вертикальные черточки обозначают число элементов множества

$$G = \max_m G_m = \max_m |X(a_m)|.$$

Для примера  $G_1=2$ ;  $G_2=2$ ;  $G_3=1$ ;  $G_4=2$ ;  $G_5=1$  и тогда  $G=2$ .

Введем вместо переменных  $X = \{x_1, x_2, \dots, x_L\}$  множество копирующих переменных  $P = \{p_1, p_2, \dots, p_G\}$ . Для примера  $X = \{x_1, x_2, x_3, x_4, x_5\}$ ,  $P = \{p_1, p_2\}$ .

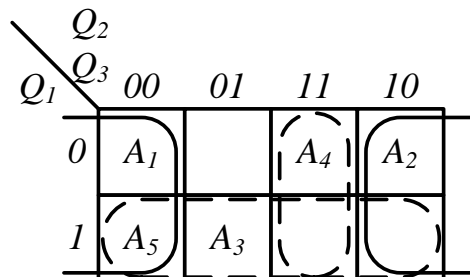
Допустим, что замена переменных уже произведена, и мы имеем следующую таблицу, построенную по столбцам  $a_m$  и  $X_h$

A	P	
	$p_1$	$p_2$
$a_1$	$x_1$	$x_2$
$a_2$	$x_1$	$x_3$
$a_3$	$x_5$	-
$a_4$	$x_2$	$x_3$
$a_5$	-	$x_4$

Если в состоянии  $a_m$  переменная  $p_g$  заменяет  $x_l$ , то, когда автомат находится в состоянии  $a_m$  должно выполняться условие  $p_g = x_l$ ;  $A_m = 1$ .

$$\begin{aligned} p_1 &= A_1 x_1 \vee A_2 x_1 \vee A_3 x_5 \vee A_4 x_2 \vee [A_5 x_1 \vee A_5 x_2 \vee A_5 x_5] = \\ &= (A_1 \vee A_2 \vee [A_5]) x_1 \vee (A_4 \vee [A_5]) x_2 \vee (A_3 \vee [A_5]) x_5 = \bar{Q}_3 x_1 \vee Q_2 Q_3 x_2 \vee Q_1 x_5 \end{aligned}$$

Когда автомат находится в состоянии  $a_1$ , то конъюнкция  $A_1 = 1$  и соответственно  $p_1 = x_1$ . Если автомат находится в состоянии  $a_2$ , то конъюнкция  $A_2 = 1$  и  $p_1 = x_1$ .  $a_3 \rightarrow A_3 = 1$ ;  $p_1 = x_5$ ;  $a_4 \rightarrow A_4 = 1$ ;  $p_1 = x_2$ .



$$p_2 = A_1x_2 \vee A_2x_3 \vee A_4x_3 \vee A_5x_4 \vee [A_3x_2 \vee A_3x_3 \vee A_3x_4] =$$

$$= (A_1 \vee [A_3])x_2 \vee (A_2 \vee A_4 \vee [A_3])x_3 \vee (A_5 \vee [A_3])x_4 = \bar{Q}_1\bar{Q}_2x_2 \vee Q_2x_3 \vee Q_1x_4$$

		$Q_2Q_3$			
		00	01	11	10
$Q_1$	0	$A_1$		$A_1$	$A_2$
	1	$A_5$	$A_3$		

При замене входных переменных в структурной таблице можно вписать столбец  $P_h$ .

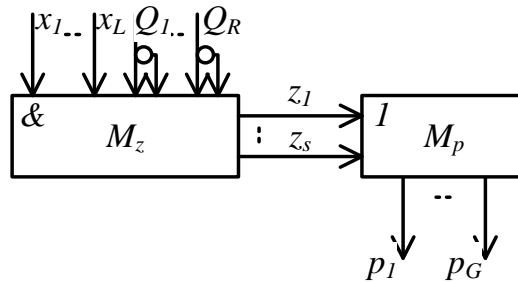
$$a_m \quad \dots \quad P_h$$

$$a_1 \quad \quad p_1$$

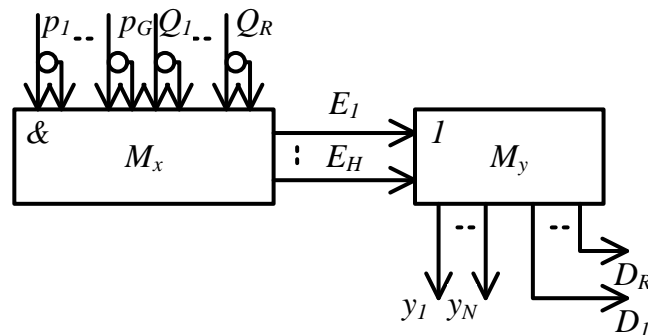
$$\quad \quad \bar{p}_1p_2$$

$$\quad \quad \bar{p}_1\bar{p}_2$$

Для выработки сигналов  $p_1, p_2, \dots, p_G$  строится двухматричная структура



Далее сигналы  $p_1, p_2, \dots, p_G$  подаются на матрицу  $M_x$ .



Таким образом, при замене входных переменных сокращается площадь матрицы  $M_x$  ( $M_y$  остается без изменений).

В среднем  $G \approx 5$ .

Без замены переменных  $S(M_x) = 2(L + R)H = (60 + 12) 200 = 14,4 \times 10^3$ .

С заменой переменных:

$$S(M_x) = 2(G + R)H = 4,4 \times 10^3;$$

$$S(M_z) = (L + 2R)S = 1,5 \times 10^3;$$

$$S(M_p) = S * G = 0,2 \times 10^3;$$

$$S_{\text{суммарная}} = 6 * 10^3.$$

### 5.5. Кодирование микроопераций

Напомним, что площадь матрицы  $M_y - S(M_y) = H(N + R)$ .

В общем случае МПА может реализовать  $Y_0, Y_1, \dots, Y_T$  микрокоманд. Закодируем каждую микрокоманду  $Y_t$  следующим вектором:

$$K(Y_t) = (e_{t1}, \dots, e_{tD}), \text{ где } e_{td} \in \{0, 1\}; D = \lceil \log_2 (T + 1) \rceil.$$

Для примера закодируем микрокоманды тривиальным образом, т.е. в соответствие с двоичным эквивалентом номера микрокоманды (можно закодировать и как - то по-другому).

$$\begin{array}{ll} K(Y_0) = 0000 & B_0 = \overline{g_1 g_2 g_3 g_4} \\ K(Y_1) = 0001 & B_1 = \overline{g_1 g_2 g_3} g_4 \\ \dots & \dots \\ K(Y_8) = 1000 & B_8 = g_1 \overline{g_2 g_3 g_4} \end{array}$$

Коду каждой микрокоманды  $Y_t$  ставим в соответствие конъюнкцию:

$$K(Y_t) \rightarrow B_t = g_1^{e_{t1}} \dots g_D^{e_{tD}}.$$

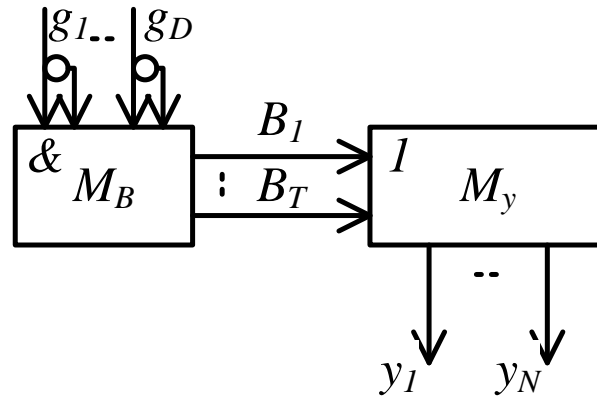
Из таблицы переходов МПА видно, что

$$\begin{array}{l} Y_0 = 0; \\ Y_1 = \{y_1, y_2, y_3\}; \\ Y_2 = \{y_4\}; \\ Y_3 = \{y_5, y_6\}; \\ \dots \\ Y_8 = \{y_7, y_{14}, y_{15}\}. \end{array}$$

После анализа микрокоманд можно увидеть, что, например, микрооперация  $y_2 \in Y_1$  и  $y_2 \in Y_6$ . Т.е.  $y_2 = 1$ , когда выполняется конъюнкция  $B_1 = 1$  и  $B_6 = 1$ . Другими словами, можно записать, что:  $y_2 = B_1 \vee B_6$ .

Для микрооперации  $y_7$ :

$$\begin{array}{l} y_7 \in Y_4 \text{ и } y_7 \in Y_8. y_7 = B_4 \vee B_8. \\ y_1 = B_1 = \overline{g_1 g_2 g_3 g_4}; \\ y_2 = B_1 \vee B_6 = \overline{g_1 g_2 g_3 g_4} \vee \overline{g_1 g_2} g_3 \overline{g_4}; \\ y_3 = B_1 = \overline{g_1 g_2 g_3 g_4}; \\ \dots \\ y_{15} = B_8 = g_1 \overline{g_2 g_3 g_4}. \end{array}$$



Кроме того, встречаются только один раз следующие микрооперации, причем некоторые из них образуют целые микрокоманды:

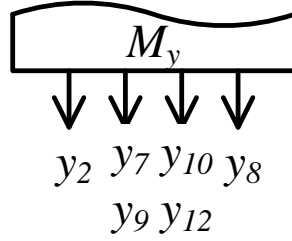
$$\left. \begin{array}{l} \{y_1, y_3\} \\ \{y_4\} = Y_2 \\ \{y_5, y_6\} = Y_3 \\ \{y_{11}\} \\ \{y_{13}\} = Y_7 \\ \{y_{14}, y_{15}\} \end{array} \right\} = Y'.$$

$Y^*$ - множество микроопераций, которые можно снять прямо с матрицы  $M_x$ . Тогда с матрицы  $M_y$  надо будет снимать оставшиеся микрооперации  $Y^{**} = Y \setminus Y^*$  и кроме того,  $Y_2, Y_3$  и  $Y_7$  не нужно кодировать. Т.о., остается 6 микрокоманд, которые нужно закодировать. Для кодирования 6 микрокоманд нам потребуется 3 двоичные переменные.

Допустим, микрокоманды закодированы следующим образом:

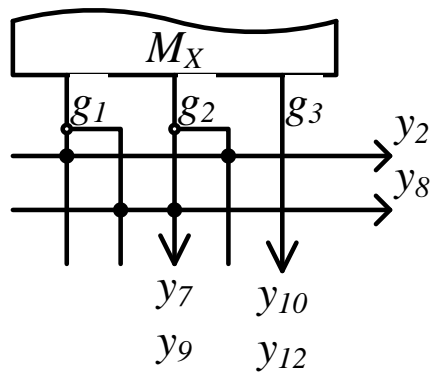
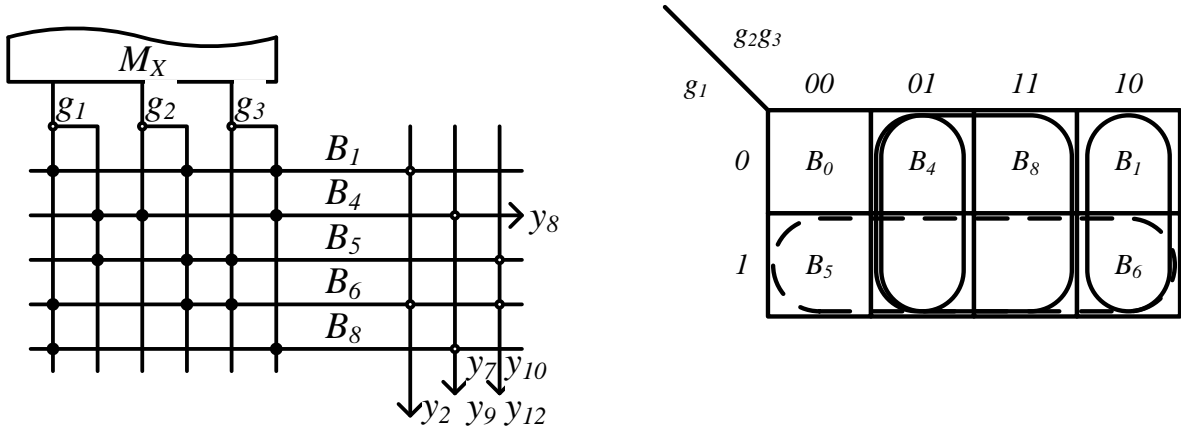
$Y_0 \rightarrow 000$   
 $Y_1 \rightarrow 100$   
 $Y_4 \rightarrow 010$   
 $Y_5 \rightarrow 001$   
 $Y_6 \rightarrow 001$   
 $Y_8 \rightarrow 110$

В оставшемся множестве микроопераций  $Y^{**}$  всегда встречаются микрооперации  $\{y_7, y_9\}; \{y_{10}, y_{12}\}$ . В результате получаем, что с выхода матрицы  $M_y$  надо снимать следующие микрооперации:

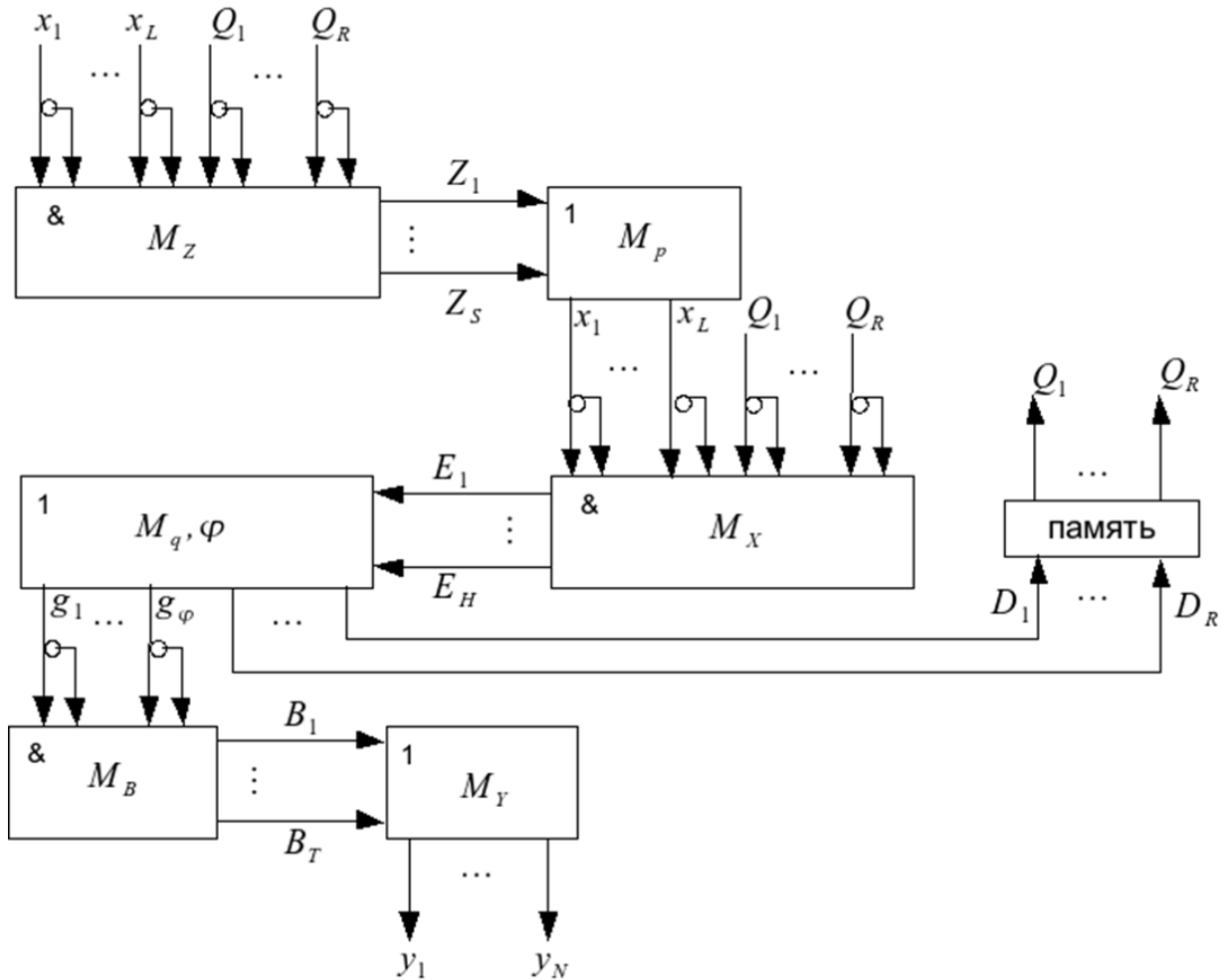


Тот факт, что  $y_2 \in Y_1$ ,  $y_2 \in Y_6$  запишем следующим образом:

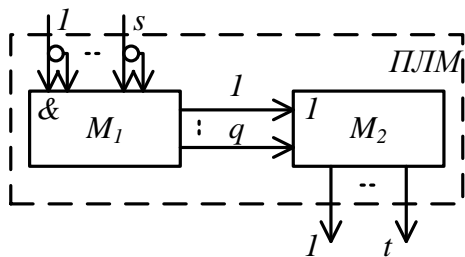
$$\begin{aligned}
 & y_2 \in Y_1, Y_6; y_2 \in B_1 \vee B_6 = \overline{g_1} g_2; \\
 & \{y_7, y_9\} \in Y_4, Y_8; \{y_7, y_9\} \in B_4 \vee B_8 = g_2; \\
 & y_8 \in Y_4; y_8 \in B_4 = g_1 g_2; \\
 & \{y_{10}, y_{12}\} \in Y_5, Y_6; \{y_{10}, y_{12}\} \in B_5 \vee B_6 = g_3.
 \end{aligned}
 \tag{*}$$



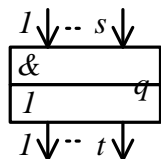
Если выражение типа (\*) склеиваются в одну конъюнкцию (см. пример), то матрица  $M_y$  исчезнет, а матрица  $M_B$ , как правило, упрощается. Склеивание зависит, в первую очередь, от кодирования. Следовательно, микрокоманды надо кодировать так, чтобы максимальное число выражений в системе (\*) склеивалось в одну конъюнкцию.



**6. Программируемые логические матрицы (ПЛИМ)**



Условное обозначение



ПЛИМ ( $s, t, q$ ).

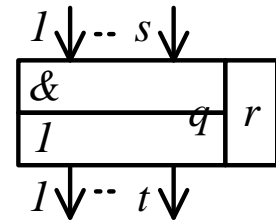
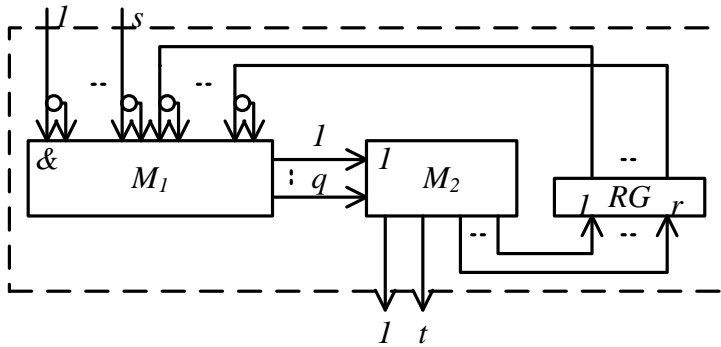
Различают ПЛИМ 2-х типов:  
 ПЛИМ, программируемые изготовителем;  
 ПЛИМ, программируемые пользователем.

Здесь  $s$ — число входов,  $t$ — число выходов, а  $q$ — число термов.

Обычно  
 $s$  - около 12,  
 $t$  - около 24,  
 $q$  - от 48 до 96.

Существуют ПЛМ с памятью

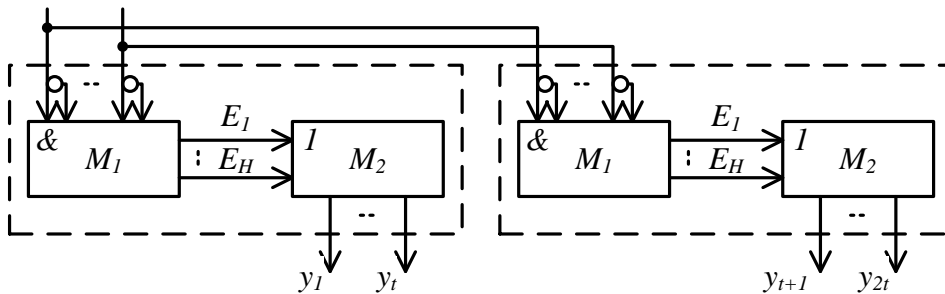
Условное обозначение



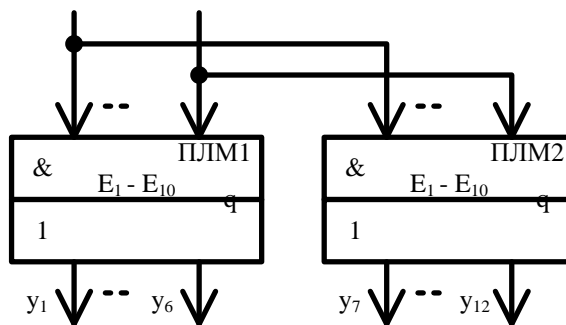
Допустим, задана система булевых функций, содержащая  $x_1, \dots, x_L$ .  
 $y_1, \dots, y_N$  - выходные переменные, термы этой системы:  $E_1, \dots, E_H$ .  
 Такая система может быть реализована на одной ПЛМ с параметрами  $s, t, q$ , если  $L \leq s, N \leq t, H \leq q$ .

### 6.1. Расширение ПЛМ по выходам

Такое расширение требуется, когда  $L \leq s, H \leq q, N > t$ . Выполняется оно так, как показано на рисунке ниже.

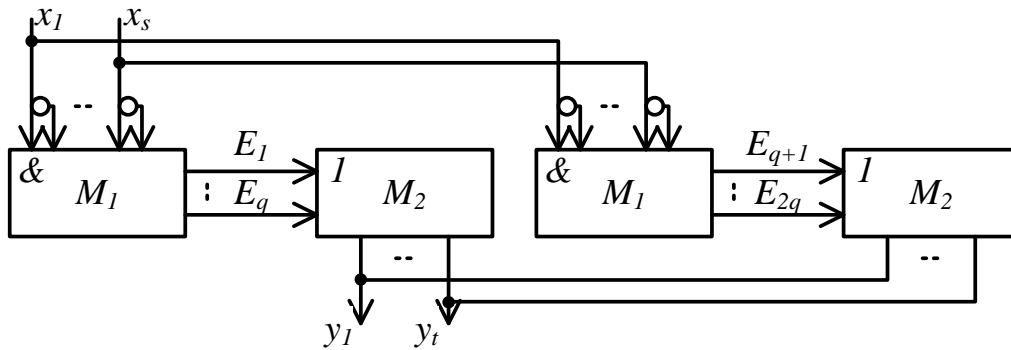


Пример использования ПЛМ ( $s = 6, t = 6, q = 10$ ) для расширения по выходам.

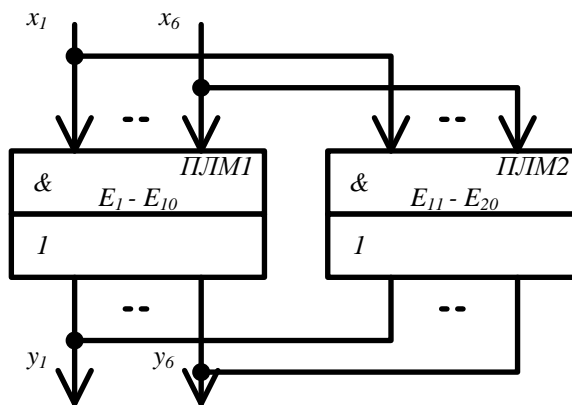


## 6.2. Расширение ПЛМ по термам

Такое расширение требуется, когда  $L \leq s$ ,  $N \leq t$ ,  $H > q$ . Выполняется оно так, как показано на рисунке ниже.

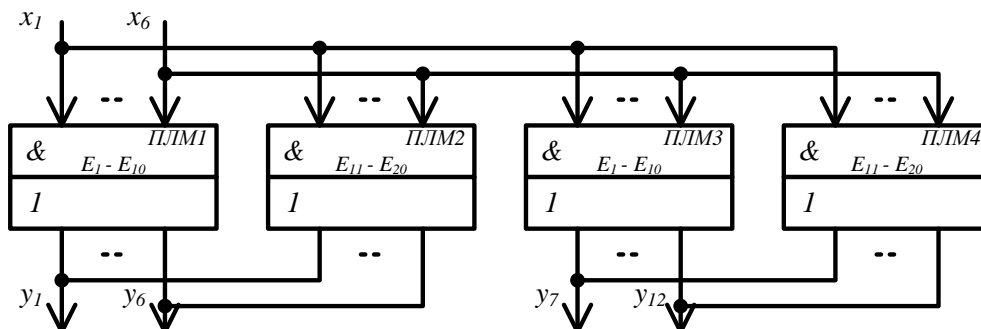


Пример использования ПЛМ ( $s = 6$ ,  $t = 6$ ,  $q = 10$ ) для расширения по термам.



## 6.3. Совместное расширение ПЛМ по выходам и по термам

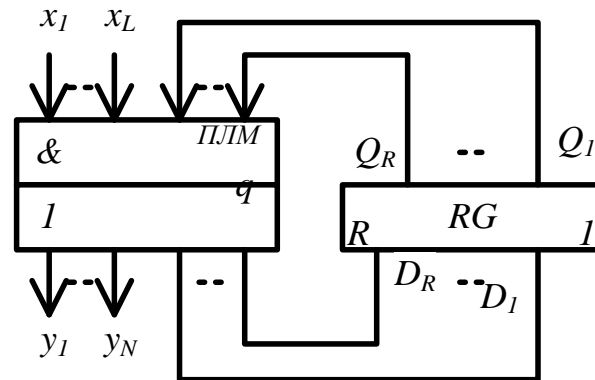
Если у ПЛМ не хватает ни выходов, ни термов, т.е.  $L \leq s$ ,  $N > t$ ,  $H > q$ , то сначала необходимо выполнить расширение по термам, а затем расширение по выходам.





### 6.4. Синтез МПА на ПЛМ

Синтез МПА будем производить на основе прямой структурной таблицы переходов. Укрупненная структура МПА в этом случае будет выглядеть следующим образом.



$a_m$	$K(a_m)$	$a_s$	$K(a_s)$	$X_h$	$Y_t$		$D_h$ $D_1D_2D_3$	$h$
$a_1$	001	$a_2$	011	$x_1 x_2$	$y_3 y_9$	$Y_2$	011	1
		$a_3$	000	$x_1 \bar{x}_2$	$y_1 y_4$	$Y_3$	000	2
		$a_5$	010	$\bar{x}_1$	$y_2$	$Y_6$	010	3
$a_2$	011	$a_2$	011	$x_1$	$y_8 y_9$	$Y_7$	011	4
		$a_5$	010	$\bar{x}_1$	$y_3 y_5 y_6$	$Y_1$	010	5
$a_3$	000	$a_6$	100	$x_2$	-	$Y_0$	100	6
		$a_3$	000	$\bar{x}_2 x_3$	$y_2$	$Y_6$	010	7
		$a_5$	010	$\bar{x}_2 \bar{x}_3$	$y_3 y_9$	$Y_2$		8
$a_4$	110	$a_6$	100	1	$y_4 y_7$	$Y_5$	100	9
$a_5$	010	$a_1$	001	$x_3 x_1$	-	$Y_0$	001	10
		$a_3$	000	$x_3 \bar{x}_1$	$y_5 y_6$	$Y_4$	110	11
		$a_4$	110	$\bar{x}_3$	$y_2$	$Y_6$		12
$a_6$	100	$a_6$	100	$x_2$	$y_4 y_7$	$Y_5$	100	13
		$a_1$	001	$\bar{x}_2$	$y_3 y_5 y_6$	$Y_1$		14

Для нашего примера входы ПЛМ будут загружаться входными сигналами:  $x_1, x_2, x_3, Q_1, Q_2, Q_3$ . То, что мы создадим должно вырабатывать входные сигналы:  $y_1, \dots, y_9, D_1, D_2, D_3$  - ограничение по входам не выполняются. Термы:  $E_1, \dots, E_{14}$  - ограничение по термам не выполняются.

Разобьем выходные переменные и сигналы функции возбуждения на 2 подмножества:

$$B_1 = \{y_1, y_2, y_3, y_4, y_5, y_6\}; B_2 = \{y_7, y_8, y_9, D_1, D_2, D_3\}.$$

Будем реализовывать эти две подсистемы отдельно следующим образом:

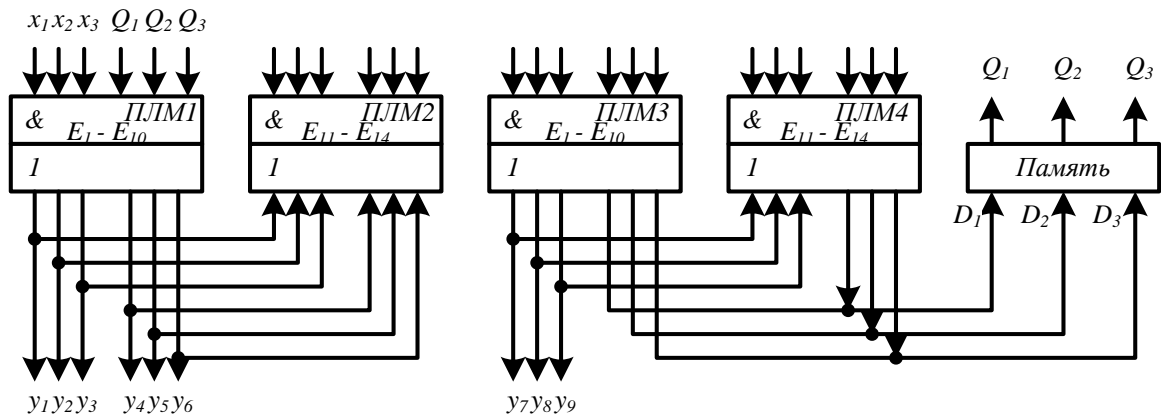


Таблица программирования ПЛМ 1; 2:

	$x_1 x_2 x_3 Q_1 Q_2 Q_3$	$y_1 y_2 y_3 y_4 y_5 y_6$
1	1 1 d 0 0 1	.. 1 ...
2	1 0 d 0 0 1	1 .. 1 ..
3	0 d d 0 0 1	. 1 .....
4	1 d d 0 1 1	.....
5	0 d d 0 1 1	.. 1 . 1 1
.	...	
.		
9	d d d 1 1 0	... 1 ..
10	1 d 1 0 1 0	.....
1	0 d 1 0 1 0	..... 1 1
2	d d 0 0 1 0	. 1 .....
3	d d d 1 0 0	... 1 ..
4	d 0 d 1 0 0	.. 1 . 1 1
.	...	
.		
10	d d d d d d	.....

Аналогичным образом строятся ПЛМ 3 и ПЛМ 4.

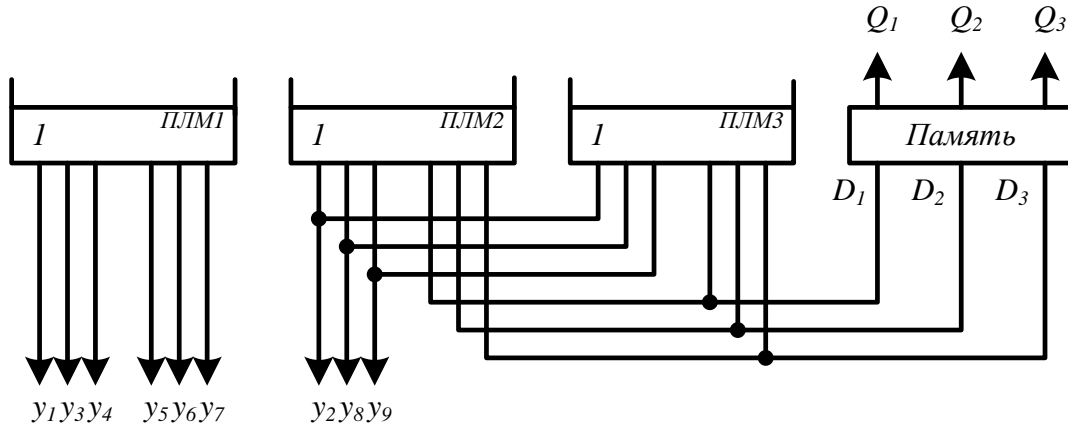
Разобьем выходные сигналы и сигналы функции возбуждения следующим образом:

$$B_1 = \{y_1, y_3, y_4, y_5, y_6, y_7\}; B_2 = \{y_2, y_8, y_9, D_1, D_2, D_3\}.$$

Такое разбиение привело к тому, что для реализации подмножества  $B_1$  потребовались следующие термы:

$$E_1, E_2, E_5, E_8, E_9, E_{11}, E_{13}, E_{14}.$$

Следовательно, здесь расширение по термам вводить не потребуется и множество  $B_1$  может быть реализовано на одной ПЛМ.



#### Рекомендованная литература

1. С. И. Баранов. Синтез микропрограммных автоматов. Л., Энергия, 1979, 232 с.
2. Джон Хопкрофт, Раджив Мотвани, Джеффри Ульман. Введение в теорию автоматов, языков, вычислений, 2-е изд.: Пер. с англ. М.: Издательский дом 'Вильямс', 2008. 528 с.
3. Ю. Г. Карпов. Теория автоматов. – СПб.: Питер, 2003. – 208.: ил.
4. Коган Д.И., Бабкина Т.С. Основы теории конечных автоматов и регулярных языков. Учебное пособие. Издательство ННГУ. 2002. 238 с.
5. В. Г. Лазарев, Е. И. Пийль. Синтез управляющих автоматов. М., Энергаториздат, 1989, 327 с.
6. В. Дж.Рейуод-Смит. Теория формальных языков. М., Радио и связь, 1988, 127 с.
7. Самофалов К. Г. И др. Прикладная теория цифровых автоматов. — К.: Вища школа. Головное издательство 1987 — 375 стр.
8. А. Я. Савельев. Прикладная теория цифровых автоматов. М., В. шк., 1987, 272с.
9. А. Ш. Блох. Граф-схемы и их применение. Изд. «Вышэйшая школа», 1975, 302 с.
- 10.3. В. Алферова. Теория алгоритмов. М., Статистика, 1973, 164 с.
- 11.3.О. Джалишвили, Л.В. Крылова, А.А. Ожиганов. Проектирование управляющих автоматов на программируемых логических матрицах. Методические указания к курсовому проектированию по дисциплине "Прикладная теория цифровых автоматов", Л.: ЛИТМО, 1991, 42 с.

В 2009 году Университет стал победителем многоэтапного конкурса, в результате которого определены 12 ведущих университетов России, которым присвоена категория «Национальный исследовательский университет». Министерством образования и науки Российской Федерации была утверждена программа его развития на 2009–2018 годы. В 2011 году Университет получил наименование «Санкт-Петербургский национальный исследовательский университет информационных технологий, механики и оптики»



## КАФЕДРА ВЫЧИСЛИТЕЛЬНОЙ ТЕХНИКИ

### О кафедре

Кафедра ВТ СПбГУ ИТМО создана в 1937 году и является одной из старейших и авторитетнейших научно-педагогических школ России.

Первоначально кафедра называлась кафедрой математических и счетно-решающих приборов и устройств и занималась разработкой электромеханических вычислительных устройств и приборов управления. Свое нынешнее название кафедра получила в 1963 году.

Кафедра вычислительной техники является одной из крупнейших в университете, на которой работают высококвалифицированные специалисты, в том числе 8 профессоров и 15 доцентов, обучающие около 500 студентов и 30 аспирантов.

Кафедра имеет 4 компьютерных класса, объединяющих более 70 компьютеров в локальную вычислительную сеть кафедры и обеспечивающих доступ студентов ко всем информационным ресурсам кафедры и выход в Интернет. Кроме того, на кафедре имеются учебные и научно-исследовательские лаборатории по вычислительной технике, в которых работают студенты кафедры.

### Чему мы учим

Традиционно на кафедре ВТ основной упор в подготовке специалистов делается на фундаментальную базовую подготовку в рамках общепрофессиональных и специальных дисциплин, охватывающих наиболее важные разделы вычислительной техники: функциональная схемотехника и микропроцессорная техника, алгоритмизация и программирование, информационные системы и базы данных, мультимедиа-технологии, вычислительные сети и средства телекоммуникации, защита информации и информационная безопасность. В то же время, кафедра предоставляет студентам старших курсов возможность специализироваться в более узких профессиональных областях в соответствии с их интересами.

### Специализации на выбор

Кафедра ВТ ИТМО предлагает в рамках инженерной и магистерской подготовки студентам на выбор по 3 специализации.

1. Специализация в области информационно-управляющих систем направлена на подготовку специалистов, умеющих проектировать и разрабатывать управляющие системы реального времени на основе средств микропроцессорной техники. При этом студентам, обучающимся по этой специализации, предоставляется уникальная возможность участвовать в конкретных разработках реального оборудования, изучая все этапы проектирования и производства, вплоть до получения конечного продукта. Для этого на кафедре организована специальная учебно-производственная лаборатория, оснащенная самым современным оборудованием. Следует отметить, что в последнее время, в связи с подъемом отечественной промышленности, специалисты в области разработки и проектирования информационно-управляющих систем становятся все более востребованными, причем не только в России, но и за рубежом.

2. Кафедра вычислительной техники - одна из первых, начавшая в свое время подготовку специалистов в области открытых информационно-вычислительных систем. Сегодня студентам, специализирующимся в этой области, предоставляется уникальная возможность изучать и осваивать одно из самых мощных средств создания больших информационных систем - систему управления базами данных Oracle. При этом повышенные требования, предъявляемые к вычислительным ресурсам, с помощью которых реализуются базы данных в среде Oracle, удовлетворяются за счет организации на кафедре специализированного компьютерного класса, оснащенного мощными компьютерами фирмы SUN, связанными в локальную сеть кафедры. В то же время, студенты, специализирующиеся в данной области, получают хорошую базовую подготовку в области информационных систем, что позволяет им по завершению обучения успешно разрабатывать базы данных и знаний не только в среде Oracle, но и на основе любых других систем управления базами данных.

3. И, конечно же, кафедра не могла остаться в стороне от бурного натиска вычислительных сетей и средств телекоммуникаций в сфере компьютерных технологий. Наличие высокопрофессиональных кадров в данной области и соответствующей технической базы на кафедре (две локальные вычислительные сети, объединяющие около 80 компьютеров и предоставляющие возможность работы в разных операционных средах - Windows, Unix, Solaris), позволило организовать подготовку специалистов по данному направлению, включая изучение вопросов компьютерной безопасности, администрирования, оптимизации и проектирования вычислительных сетей.

Александр Аркадьевич Ожиганов

**Теория автоматов**

**Учебное пособие**

В авторской редакции  
Редакционно-издательский отдел НИУ ИТМО  
Зав. РИО  
Лицензия ИД № 00408 от 05.11.99  
Подписано к печати  
Заказ №  
Тираж 150 экз.  
Отпечатано на ризографе

А.А. Ожиганов

Н.Ф. Гусарова

**Редакционно-издательский отдел**  
Санкт-Петербургского национального  
исследовательского университета  
информационных технологий, механики  
и оптики  
197101, Санкт-Петербург, Кронверкский пр., 49

